

**SKRIPSI**

**PERENCANAAN SALURAN DRAINASE DENGAN APLIKASI SIG  
DI KELURAHAN SUMBERSARI DAN KELURAHAN KARANGBESUKI  
KOTA MALANG**

**OLEH :**

**MARIA E.M GAMAPUTRI**

**03.26.026**



**PROGRAM STUDI TEKNIK LINGKUNGAN  
JURUSAN TEKNIK LINGKUNGAN  
FAKULTAS TEKNIK SIPIL DAN PERENCANAAN  
INSTITUT TEKNOLOGI NASIONAL MALANG**

**2011**

107

ИЗДАНИЕ ПОДГОТОВЛЕНО В РЕДАКЦИИ  
АВТОРСКОГО СОВЕТА ПОД РУКОВОДСТВОМ  
ПАВЛА ЕФИКА ПАСКАЛОВА  
ИСПОЛНИТЕЛЬСКОГО РЕДАКТОРА ТАЧКОВА

БОГДАН

МОСКОВСКАЯ ОБЛАСТЬ

СЕРГЕЙ

СЕДЫХ БОРИС

В КОЛЛЕКТИВНОМ ТРУДЕ ПОД РУКОВОДСТВОМ ИСКУССТВОДАКТИ  
СОВЕТА ПОДГОТОВЛЕНО В РЕДАКЦИИ ПАСКАЛОВА ПАВЛА ЕФИКА

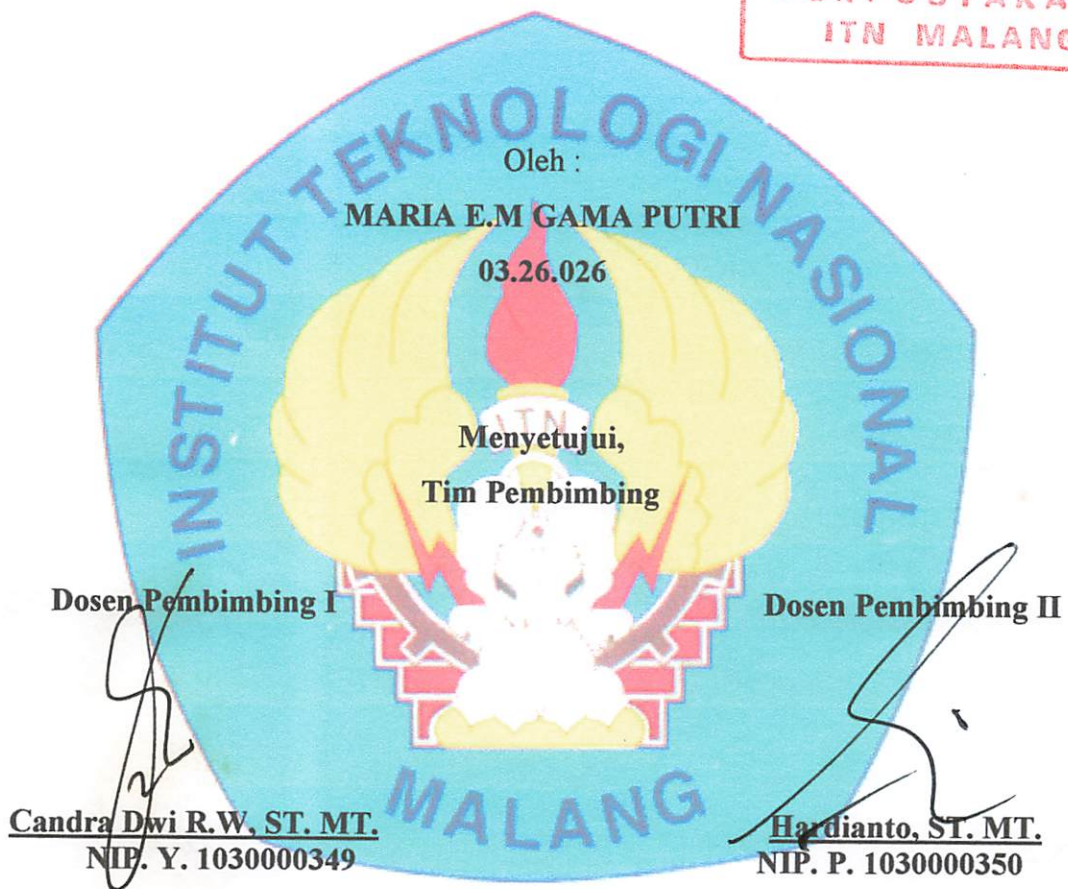
БОГДАН

LEMBAR PERSETUJUAN

SKRIPSI

PERENCANAAN SALURAN DRAINASE DENGAN APLIKASI SIG  
DI KELURAHAN SUMBERSARI DAN KELURAHAN KARANGBESUKI  
KOTA MALANG

MILIK  
PERPUSTAKAAN  
ITN MALANG



Mengetahui,





PERKUMPULAN PENGELOLA PENDIDIKAN UMUM DAN TEKNOLOGI NASIONAL MALANG  
**INSTITUT TEKNOLOGI NASIONAL MALANG**  
FAKULTAS TEKNOLOGI INDUSTRI  
FAKULTAS TEKNIK SIPIL DAN PERENCANAAN  
PROGRAM PASCASARJANA MAGISTER TEKNIK

PT. BNI (PERSERO) MALANG  
BANK NIAGA MALANG

Kampus I : Jl. Bendungan Sigura-gura No. 2 Telp. (0341) 551431 (Hunting), Fax. (0341) 553015 Malang 65145  
Kampus II : Jl. Raya Karanglo, Km 2 Telp. (0341) 417636 Fax. (0341) 417634 Malang

**BERITA ACARA UJIAN SKRIPSI**

**FAKULTAS TEKNIK SIPIL DAN PERENCANAAN**

NAMA : MARIA E.M GAMAPUTRI  
NIM : 03.26.026  
JURUSAN : TEKNIL LINGKUNGAN  
JUDUL : PERENCANAAN SALURAN DRAINASE DENGAN APLIKASI  
SIG DI KELURAHAN SUMBERSARI DAN KARANGBESUKI  
KOTA MALANG

Dipertahankan di hadapan Tim Penguji Ujian Skripsi jenjang Program Strata Satu (S-1)

Pada Hari : Kamis

Tanggal : 25 Agustus 2011

Dengan nilai : 73,21

**PANITIA UJIAN SKRIPSI**

**KETUA,**  
  
Candra Dwi R.W, ST. MT.  
NIP. Y. 1030000349

**SEKRETARIS,**  
  
Evi Hendriarianti, ST. MMT.  
NIP. P. 1030300382

**ANGGOTA PENGUJI**

**PENGUJI I**  
  
Dr. Ir. Hery Setyobudiarso, MSc.  
NIP. 196106201991031002

**PENGUJI II**  
  
Sudiro, ST. MT  
NIP. Y. 1039900327

---

Gamaputri, Maria., Dwiratna, Candra, Hardianto. 2011. *Perencanaan Saluran Drainase Dengan Aplikasi SIG Di Kelurahan Sumbersari Dan Kelurahan Karangbesuki Kota Malang*. Skripsi Jurusan Teknik Lingkungan Institut Teknologi Nasional Malang

---

## ABSTRAK

Masalah banjir pada khususnya berkaitan erat dengan peristiwa adanya genangan disekitar saluran drainase yang dikarenakan tersumbatnya saluran sehingga air akan meluap dan menyebabkan terjadinya genangan. Namun penyebab lain juga bisa dari kapasitas saluran kecil, atau kapasitas saluran tidak cukup untuk menampung volume air. Terjadinya luapan atau limpasan kadang tidak disertai dengan penanganan sistem drainase yang baik, begitu juga dengan penataan tata guna lahan yang tidak memperhatikan sistem drainase yang ada. Tujuan perencanaan ini adalah untuk mengetahui penyebab saluran drainase yang tidak dapat bekerja secara optimal dan merencanakan saluran drainase yang disesuaikan dengan debit yang mengalir.

Proses perencanaan ini meliputi analisis hidrologi, analisis kapasitas saluran, penentuan debit area genangan yaitu menghitung selisih antara debit rencana dengan kapasitas saluran, digitasi peta dan penentuan informasi daerah genangan dan dimensi saluran drainase.

Berdasarkan hasil evaluasi saluran drainase tidak berfungsi dengan baik dimana terdapat 59 titik genangan di Kelurahan Sumbersari dan 64 titik genangan di Kelurahan Karangbesuki maka dilakukan penanganan untuk daerah genangan dengan normalisasi saluran yaitu pembersihan sedimen dan sampah pada saluran dan memperbesar dimensi terhadap debit rencana sehingga kapasitas saluran dapat menampung genangan air.

---

**Kata Kunci :** Drainase, debit, hidrologi, SIG.

---

verwippe, waanerret. 1101. dieblii celid) amezi ci landi ciliqam) waanredis wæs bewaenit. waanredis is DIA. vanlig. wænredis verlidenheit nægredis. simpti. waanredis. gredis. oria. waanredis. gredis. hættonet. igolom. T

MARCH 1964

allegatorum genitivis sicuti auctoribus  
etiam ad ipsorum existentiam legem habentur. Invenimus tamen in manuscripto etiam  
sunt etiam ita quod sicut dicitur quod auctoribus utrumque significare possit sicut  
invenimus diversas etiammodum connotaciones sicut etiam significare significare.

## **KATA PENGANTAR**

Puji syukur kehadirat Tuhan yang telah melimpahkan berkat dan rahmat-Nya, sehingga penyusun dapat menyelesaikan penyusunan skripsi yang berjudul “Perencanaan Saluran Drainase Dengan Aplikasi SIG Di Kelurahan Sumbersari dan Kelurahan Karangbesuki Kota Malang”.

Skripsi ini disusun setelah melalui perhitungan, analisis dan pembahasan dari data dan survei yang telah dilakukan. Skripsi ini dapat terselesaikan berkat bantuan, kerja sama dan bimbingan dari semua pihak, karena itu dalam kesempatan ini penyusun mengucapkan terima kasih yang sebesar – besarnya kepada yang terhormat :

1. Ibu Candra Dwi Ratna, ST. MT., selaku dosen pembimbing dan Ketua Jurusan Teknik Lingkungan ITN Malang yang telah memberikan bimbingan, masukan dan saran demi kesempurnaan laporan skripsi ini.
2. Bapak Hardianto, ST. MT., selaku dosen pembimbing dan Kepala Laboratorium Teknik Lingkungan ITN Malang yang telah memberikan bimbingan, masukan dan saran demi kesempurnaan laporan skripsi ini.
3. Dosen pengajar dan staf Jurusan Teknik Lingkungan ITN Malang.
4. Teman – teman Teknik Lingkungan yang telah banyak membantu mulai dari awal sampai selesaiya laporan skripsi ini.
5. Semua pihak yang telah membantu dalam proses penyelesaian laporan skripsi ini.

Kesadaran akan masih banyaknya kekurangan atas laporan ini, membuat penyusun berharap akan adanya masukan dan saran yang bersifat konstruktif demi kesempurnaan skripsi yang saya susun.

Akhirnya penyusun berharap Laporan Skripsi ini dapat bermanfaat bagi almamater, khususnya para rekan-rekan mahasiswa Teknik Lingkungan ITN Malang dan masyarakat luas pada umumnya.

Malang, Juli 2011

Penyusun

## ANTIVIRAL ATTACHMENT

Die Karte zeigt die geographische Lage der verschiedenen UTM-Koordinaten auf einer Weltkarte. Die Punkte sind farblich markiert und folgen einer geschwungenen Linie, die von Westen nach Osten verläuft.

ini lajčkovičovou akademickou láska sice  
spolužákem VUT v Brně zůstal i dálku i následujícího ročníku. Tato svoboda výběru předmětů mimo  
řízené hodiny řídila jeho studium, které nejméně díky tomu bylo významnější – normální  
jeho kariéra však využila výběr studia vyučovaného profesorem J. J. Černým.

Alma-Ata Conference on Primary Health Care, Alma-Ata, Kazakhstan, 1978.

100% inkl. Agendabasis

## DAFTAR ISI

LEMBAR PERSETUJUAN .....	j
LEMBAR PENGESAHAN.....	ii
ABSTRAK.....	iii
KATA PENGANTAR.....	iv
DAFTAR ISI.....	v
DAFTAR TABEL.....	viii
DAFTAR GAMBAR.....	xi

### **BAB I PENDAHULUAN**

1.1 Latar Belakang .....	1
1.2 Rumusan Masalah .....	2
1.3 Tujuan Perencanaaan.....	3
1.4 Ruang Lingkup .....	3

### **BAB II TINJAUAN PUSTAKA**

2.1 Drainase.....	4
2.2 Analisis Hidrologi .....	4
2.2.1 Data curah hujan.....	4
2.2.2 Perhitungan curah hujan rencana .....	5
2.2.3 Periode ulang hujan .....	7
2.2.4 Limpasan air hujan.....	8
2.3 Proyeksi Penduduk.....	10
2.4 Air Buangan .....	13
2.4.1 Sistem Jaringan Penyaluran Air Buangan.....	13
2.4.2 Debit Air Buangan.....	16
2.5 Analisis Drainase.....	17
2.6 Debit Genangan.....	22
2.7 Sistem Informasi Geografis.....	22
2.7.1 Elemen ruang (spasial).....	23

2.7.2 Cara kerja SIG .....	24
2.7.3 Output SIG.....	24
<b>BAB III METODOLOGI PERENCANAAN</b>	
3.1 Kerangka Perencanaan .....	26
3.2 Rangkaian Kegiatan Perencanaan .....	27
3.2.1 Ide studi.....	27
3.2.2 Identifikasi masalah.....	27
3.2.3 Pengumpulan data.....	27
3.2.4 Analisis dan pembahasan.....	28
3.2.5 Kesimpulan dan saran.....	30
<b>BAB IV DATA WILAYAH PERENCANAAN</b>	
4.1 Gambaran Umum Kelurahan Sumbersari dan Kelurahan Karangbesuki.....	31
4.1.1 Batas wilayah Kelurahan Sumbersari dan Kelurahan Karangbesuki.....	31
4.1.2 Penggunaan lahan.....	29
4.1.3 Topografi .....	32
4.1.4 Daerah Pengaliran Sungai .....	33
4.1.5 Iklim .....	33
4.2 Data Hidrologi .....	33
4.2.1 Data curah hujan.....	33
4.2.2 Jumlah Penduduk.....	37
4.2.3 Data pemakaian air .....	38
4.3 Data Eksisting Drainase .....	39
4.4 Data Saluran Drainase.....	41
<b>BAB V ANALISIS DATA</b>	
5.1 Analisis Hidrologi .....	47

45.....  
46.....

新嘉坡總理司理處

223 82A

81	.....	պատմության սկզբանի 1.1.
82	.....	պատմության մեջ Առաջնահանձնության 2.2.
83	.....	ինչպես 1.1.2.
84	.....	մեջնա լազմի առևտության 2.2.2.
85	.....	այս ուժագույն 1.1.3.
86	.....	ուղարկության մեջ նշանակած պահանջման 2.2.3.
87	.....	ուղարկության մեջ նշանակած պահանջման 2.2.3.

MEANINGFUL LITERACY ACTIVITIES

三

47487-2028-5610-6

卷之三

15. *Constitutive and regulatory genes in the *lactose operon**

5.1.1 Curah hujan maksimum rata-rata .....	47
5.1.2 Perhitungan curah hujan rancangan .....	49
5.1.3 Uji kesesuaian distribusi.....	52
5.2 Perhitungan debit banjir rencana (Qr).....	55
5.2.1 Perhitungan waktu konsentrasi (Tc).....	55
5.2.2 Intensitas curah hujan.....	55
5.2.3 Perhitungan debit air hujan (Qa).....	56
5.3 Air limbah domestik.....	57
5.3.1 Pemilihan metode proyeksi .....	57
5.4 Proyeksi jumlah penduduk .....	63
5.5 Proyeksi Fasilitas.....	66
5.5.1 Debit air buangan .....	68
5.5.2 Debit banjir rencana saluran.....	70
5.6 Analisis saluran drainase.....	72
5.6.1 Dimensi saluran drainase eksisting.....	72
5.6.2 Kapasitas saluran eksisting.....	73

## **BAB VI EVALUASI DATA**

6.1 Evaluasi kapasitas saluran terhadap debit rancangan.....	75
6.2 Perencanaan variabel – variabel dalam perencanaan.....	77
6.3 Perencanaan Saluran .....	80

## **BAB VII PENUTUP**

7.1 Kesimpulan.....	89
7.2 Saran.....	89

**DAFTAR PUSTAKA .....** ..... **xii**

**LAMPIRAN**

## **DAFTAR TABEL**

Tabel 2.1 Kategori Tingkat Pelayanan Air Bersih.....	17
Tabel 2.2 Kekasaran Manning untuk berbagai material.....	21
Tabel 4.1 Luas tiap - tiap peruntukan lahan di Kelurahan Sumbersari.....	31
Tabel 4.2 Luas tiap - tiap peruntukan lahan di Kelurahan Karangbesuki.....	32
Tabel 4.3 Stasiun Universitas Brawijaya.....	34
Tabel 4.4 Stasiun Sukun.....	35
Tabel 4.5 Stasiun Ciliwung.....	36
Tabel 4.6 Jumlah penduduk Kelurahan Sumbersari tahun 2004 – 2008.....	37
Tabel 4.7 Jumlah penduduk Kelurahan Karangbesuki tahun 2004 – 2008.....	37
Tabel 4.8 Jumlah Fasilitas Kelurahan Sumbersari tahun 2008.....	38
Tabel 4.9 Jumlah Fasilitas Kelurahan Karangbesuki tahun 2008.....	38
Tabel 4.10 Penyebab terjadinya genangan air.....	39
Tabel 4.11 Nama, bentuk dan dimensi saluran drainase eksisting Sumbersari.....	41
Tabel 4.12 Nama, bentuk dan dimensi saluran drainase eksisting Karangbesuki....	43
Tabel 5.1 Curah Hujan maksimum Stasiun Universitas Brawijaya.....	47
Tabel 5.2 Curah Hujan maksimum Stasiun Ciliwung.....	48
Tabel 5.3 Curah Hujan maksimum Stasiun Sukun.....	48
Tabel 5.4 Hujan harian maksimum tahunan di tiga stasiun.....	49
Tabel 5.5 Perhitungan curah hujan rencana dengan distribusi log person type III...50	

## LIBAT TAVRAS

- 31.....Allegri /& manzini's budget / budget 1.5 budget  
12.....Minorem budget / budget 1.5 budget  
16.....Incentivis nederhof / ib model naturarresq qm - qm 2011 1.2 budget  
22.....Kampenka Kampspeleken / budget 0.8 budget  
18.....Agip / salterveld / budget 1.5 budget  
26.....Makro makro / budget 1.5 budget  
36.....Agip / salterveld / budget 1.5 budget  
32.....3002 - 4002 model inschrijven / budget 0.5 budget  
30.....3002 - 4002 model blauwgroen / budget 0.5 budget  
34.....3002 model blauwgroen / budget 0.5 budget  
38.....3002 model blauwgroen / budget 0.5 budget  
36.....3002 model blauwgroen / budget 0.5 budget  
34.....3002 model blauwgroen / budget 0.5 budget  
10.....Bewindm. għidha sej̊i kien / budget 1.5 budget  
24.....Allegri /& manzini's budget / budget 1.5 budget  
18.....Agip / salterveld / budget 1.5 budget  
31.....Agip / salterveld / budget 1.5 budget  
23.....Makro makro / budget 1.5 budget  
39.....Makro makro / budget 1.5 budget  
36.....Agip / salterveld / budget 1.5 budget

Tabel 5.6 Tahapan plotting data probabilitas log person type III.....	52
Tabel 5.7 Perhitungan uji chi square (metode log person type III).....	54
Tabel 5.8 Contoh perhitungan nilai C pada saluran 1A.....	57
Tabel 5.9 Jumlah penduduk Kelurahan Sumbersari tahun 2004 – 2008.....	58
Tabel 5.10 Jumlah penduduk Kelurahan Karangbesuki tahun 2004 – 2008.....	58
Tabel 5.11 Perhitungan menggunakan Metode Aritmatik di Sumbersari.....	59
Tabel 5.12 Perhitungan menggunakan Metode Geometrik di Sumbersari.....	60
Tabel 5.13 Perhitungan menggunakan Metode Last Square di Sumbersari.....	60
Tabel 5.14 Perhitungan menggunakan Metode Aritmatik di Karangbesuki.....	61
Tabel 5.15 Perhitungan menggunakan Metode Geometrik di Karangbesuki.....	61
Tabel 5.16 Perhitungan menggunakan Metode Last Square di Karangbesuki.....	62
Tabel 5.17 Hasil Proyeksi Fasilitas di Kelurahan Sumbersari.....	67
Tabel 5.18 Hasil Proyeksi Fasilitas di Kelurahan Karangbesuki.....	67
Tabel 5.19 Perhitungan prakiraan pemakaian air bersih untuk fasilitas tahun 2033 di Kelurahan Sumbersari.....	68
Tabel 5.20 Perhitungan prakiraan pemakaian air bersih untuk fasilitas tahun 2033 di Kelurahan Karangbesuki.....	68
Tabel 5.21 Hasil perhitungan I, Tc, Qa, Qd <sub>saluran</sub> dan Qr di Sumbersari.....	71
Tabel 5.22 Hasil perhitungan I, Tc, Qa, Qd <sub>saluran</sub> dan Qr di Karangbesuki.....	71



<b>Tabel 5.23 Perhitungan kapasitas saluran drainase eksisting tiap area pengaliran di Sumbersari.....</b>	<b>74</b>
<b>Tabel 5.24 Perhitungan kapasitas saluran drainase eksisting tiap area pengaliran di Karangbesuki.....</b>	<b>74</b>
<b>Tabel 6.1 Perbandingan debit rencana dengan kapasitas saluran tiap area pengaliran di Sumbersari.....</b>	<b>76</b>
<b>Tabel 6.2 Perbandingan debit rencana dengan kapasitas saluran tiap area pengaliran di Karangbesuki.....</b>	<b>76</b>
<b>Tabel 6.3 Skor pada setiap variabel data perencanaan drainase.....</b>	<b>77</b>
<b>Tabel 6.4 Perhitungan kapasitas saluran maksimum setelah memperbesar dimensi terhadap debit rencana di Sumbersari.....</b>	<b>81</b>
<b>Tabel 6.5 Perhitungan kapasitas saluran maksimum setelah pembersihan sedimen terhadap debit rencana di Sumbersari.....</b>	<b>82</b>
<b>Tabel 6.6 Perhitungan kapasitas saluran maksimum setelah memperbesar dimensi terhadap debit rencana di Karangbesuki.....</b>	<b>85</b>
<b>Tabel 6.7 Perhitungan kapasitas saluran maksimum setelah pembersihan sedimen terhadap debit rencana di Karangbesuki.....</b>	<b>86</b>

## **DAFTAR GAMBAR**

Gambar 2.1 Penampang saluran berbentuk trapesium.....	18
Gambar 2.2 Penampang saluran berbentuk segiempat.....	19
Gambar 2.3 Penampang saluran berbentuk lingkaran.....	20
Gambar 5.1 Contoh Kapasitas saluran drainase eksisting untuk saluran 1A berbentuk segiempat.....	72
Gambar 6.1 Sistem Informasi titik genangan.....	78
Gambar 6.2 Tampilan data base titik genangan aliran drainase.....	79

## **BAB I**

### **PENDAHULUAN**

#### **1.1 Latar belakang**

Kelurahan Sumbersari Kecamatan Lowokwaru terletak sekitar 6 km dari pusat pemerintahan Kota Malang. Penduduk Kelurahan Sumbersari Kecamatan Lowokwaru sekitar 14.146 jiwa yang berada pada areal seluas 142,8 ha dengan kepadatan penduduk 99,062 jiwa/km<sup>2</sup> (*Monografi Kelurahan Sumbersari Semester II 2008*). Kelurahan Karangbesuki Kecamatan Sukun terletak sekitar 5 km dari pusat pemerintahan Kota Malang. Penduduk Kelurahan Karangbesuki Kecamatan Sukun Kota Malang sekitar 17.893 jiwa yang berada pada areal seluas 503,985 ha dengan kepadatan penduduk 35,503 jiwa/km<sup>2</sup> (*Monografi Kelurahan Karangbesuki Semester II 2008*). Dengan adanya peningkatan kepadatan penduduk yang ada di Kelurahan Sumbersari dan Kelurahan Karangbesuki yang merupakan sebagian dari para mahasiswa pendatang dari daerah lain yang menempuh pendidikan yang diikuti dengan peningkatan jumlah bangunan, maka dengan sendirinya akan mempengaruhi jumlah air yang akan dibuang ke dalam saluran drainase.

Biasanya di daerah perkotaan, banjir yang terjadi adalah banjir kiriman atau dikarenakan tersumbatnya saluran sehingga air akan meluap dan menyebabkan terjadinya genangan. Namun penyebab lain juga bisa dari kapasitas saluran kecil, atau kapasitas saluran tidak cukup untuk menampung volume air. Terjadinya luapan atau limpasan kadang tidak disertai dengan penanganan sistem drainase yang baik, begitu juga dengan penataan tata guna lahan yang tidak memperhatikan sistem drainase yang ada. Hal inilah yang selama ini menjadi penyebab utama terjadinya banjir atau genangan di daerah perkotaan atau kawasan yang sedang berkembang. Begitu juga dengan di Jln. Bendungan Sutami dan Jln. Sumbersari, Jln. Gombong, Jln. Bendungan Sigura-gura, Jln. Surabaya di Kelurahan Sumbersari Kecamatan Lowokwaru, sering terjadinya genangan yang disebabkan oleh banyaknya sedimentasi dan sampah pada saluran (seperti; plastik bekas, tanaman liar dan sisa makanan) sehingga saluran tidak dapat bekerja secara optimal untuk mengalirkan air

# TEAM MANAGEMENT

Digitized by srujanika@gmail.com

как и в случае с трансформатором. Важно отметить, что в этом случае не требуется дополнительных измерений, так как все параметры определяются измерением тока и напряжения на зажимах трансформатора. Для этого необходимо измерить ток и напряжение на зажимах трансформатора и рассчитать коэффициент трансформации  $K = \frac{U_2}{U_1} = \frac{I_1}{I_2}$ . Затем можно вычислить значение тока  $I_1$  по формуле  $I_1 = K I_2$ .

buangan dan juga saluran drainasenya lebih tinggi dari jalan sehingga air limpasan hujan tidak dapat mengalir ke saluran drainase sehingga terjadi banjir. Sedangkan Di Kelurahan Karangbesuki terdapat di Jln. Candi IIA, Jln Candi IIIC, Jln. Raya tidar, Jln. Tidar, Jln. Tinambola, Jln. Simpang tinambola, sering terjadinya genangan yang disebabkan oleh banyaknya sedimentasi dan sampah pada saluran (seperti; plastik bekas, tanaman liar dan sisa makanan) sehingga saluran tidak dapat bekerja secara optimal untuk mengalirkan air buangan.

Oleh karena itu saluran drainase sangat diperlukan dalam menyalurkan limpasan air hujan dan air buangan lainnya dari drainase sekitar secara cepat menuju badan-badan air penerima (ke sungai terdekat). Dengan adanya sistem drainase terkontrol ini, diharapkan genangan air maupun banjir yang berasal dari air hujan dan air buangan dapat dihindari sedini mungkin seperti halnya yang terjadi.

Sistem Informasi Geografi merupakan sistem berbasis komputer yang memiliki kemampuan dalam menangani data bereferensi geografi yaitu pemasukan data, manajemen data (penyimpanan dan pemanggilan kembali), memanipulasi dan analisis data, serta keluaran sebagai hasil akhir (*output*). Dengan penggunaan data spasial berupa peta administrasi, peta tata guna lahan, peta jenis tanah, peta saluran drainase dan peta genangan yang akan ditumpang susun (*overlay*) dan data non spasial berupa data kapasitas saluran, data curah hujan, dan debit limpasan maka dapat dilakukan analisis perbaikan dan perencanaan saluran drainase baru untuk mengurangi genangan.

## 1.2 Rumusan Masalah

Rumusan masalah dari perencanaan ini yaitu:

1. Apakah penyebab saluran drainase tidak dapat bekerja secara optimal untuk mengalirkan air buangan?
2. Apakah kondisi dimensi saluran mampu menampung air hujan?

*Journal für sozialpolitische Arbeit und Sozialtag*

the tetraploid variety had higher seedling survival than the wild tetraploid, which had lower seedling survival. This pattern of differential seedling survival was especially pronounced among the *Artemesia* species, where the tetraploid had significantly higher seedling survival than the diploid.

Digitized by srujanika@gmail.com

Любимые места включают пляж с белым песком, скалы, водопады и  
самые чистые пресные источники в регионе.

### **1.3 Tujuan Perencanaan**

Tujuan dari perencanaan ini adalah

1. Mengetahui penyebab saluran drainase di Kelurahan Sumbersari dan Karangbesuki yang tidak dapat bekerja secara optimal untuk mengalirkan air buangan.
- 2.. Merencanakan saluran drainase dengan memperhitungkan kondisi dimensi saluran drainase yang disesuaikan dengan debit buangan yang mengalir.

### **1.4 Ruang lingkup**

Ruang lingkup dari perencanaan ini adalah:

1. Wilayah perencanaan adalah Kelurahan Sumbersari Kecamatan Lowokwaru dan Kelurahan Karangbesuki Kecamatan Sukun Kota Malang.
2. Debit saluran yang diperhitungkan adalah debit limpasan hujan dan debit air buangan.
3. Simulasi data primer drainase diterapkan pada pengolahan data intensitas hujan, sedangkan simulasi data primer air buangan diterapkan pada jumlah penduduk dan pemakaian air.
4. Fluktuasi debit air buangan setiap hari berubah – ubah tergantung dari populasi penduduk
5. Periode perencanaan adalah selama 25 tahun.
6. Pembuatan peta digital dengan metode digitasi peta menggunakan software autocad map 2004.
7. Software SIG yang digunakan adalah Arcview 3.3.

## **BAB II**

### **TINJAUAN PUSTAKA**

#### **2.1 Drainase**

Drainase dapat didefinisikan sebagai serangkaian bangunan air yang berfungsi untuk mengurangi dan atau membuang kelebihan air dari suatu kawasan atau lahan, sehingga lahan dapat difungsikan secara optimal.

*(Suripin, 2004)*

#### **2.2 Analisis Hidrologi**

##### **2.2.1 Data curah hujan**

Data curah hujan yang diperlukan untuk perencanaan adalah curah hujan rata-rata di seluruh daerah yang bersangkutan, bukan curah hujan pada suatu titik tertentu. Curah hujan ini disebut hujan wilayah/daerah dan dinyatakan dalam mm. Curah hujan daerah diperkirakan dari beberapa titik pengamatan curah hujan. Ada beberapa metode pendekatan yang dianggap dapat digunakan untuk menentukan curah hujan wilayah (*Sosrodarsono, 2006*) yaitu:

###### **a. Metode rata-rata Aljabar**

Cara rata-rata aljabar digunakan untuk daerah datar dengan titik pengamatan yang tersebar merata. Dengan rumus :

$$\bar{R} = \frac{1}{n} (R_1 + R_2 + R_3 + \dots + R_n)$$

Dimana:  $\bar{R}$  = curah hujan rata-rata daerah aliran

$R_1, R_2, R_3, \dots R_n$  = curah hujan pos 1, 2, 3, ... sampai pos n

###### **b. Metode Poligon Thiessen**

Jika titik pengamatan didalam daerah titik tidak tersebar merata dengan rumus :

$$\bar{R} = \frac{1}{A} (A_1 \cdot R_1 + A_2 \cdot R_2 + A_3 \cdot R_3 + \dots + A_n \cdot R_n)$$

Dimana:  $\bar{R}$  = curah hujan rata-rata daerah aliran  
 $R_1, R_2, R_3, \dots, R_n$  = curah hujan pos 1, 2, 3, ... sampai pos n  
 $A_1, A_2, A_3, \dots, A_n$  = luas daerah pengaruh /polygon stasiun 1, 2, 3...  
 sampai stasiun n  
 $A$  = luas seluruh daerah aliran

### c. Metode Isohyet

Cara ini digunakan untuk menentukan curah hujan rata – rata pada daerah bergunung. Dengan rumus :

$$\bar{R} = \frac{1}{A} (A_{1,2} \cdot R_{1,2} + A_{2,3} \cdot R_{2,3} + A_{3,4} \cdot R_{3,4} + \dots + A_{n,n+1} \cdot R_{n,n+1})$$

Dimana:  $\bar{R}$  = curah hujan rata-rata daerah aliran  
 $R_1, R_2, R_3, \dots, R_n$  = curah hujan isohyet 1, 2, 3, ... sampai isohyet n  
 $A_{1,2}, A_{2,3}, A_{3,4}, \dots, A_{n,n+1}$  = luas daerah hujan yang dibatasi oleh dua garis yang membagi jarak yang sama diantara dua isohiet.  
 $A$  = luas seluruh daerah aliran

#### 2.2.2 Perhitungan curah hujan rencana

Pada perhitungan hujan rencana digunakan untuk memperkirakan curah hujan pada periode ulang tertentu (curah hujan pada tahun tertentu). Kebutuhan yang diperlukan untuk curah hujan rencana adalah data curah hujan pada beberapa tahun sebelumnya disuatu penangkar curah hujan tertentu. Perhitungan curah hujan rencana dapat menggunakan dua metode yaitu metode gumbel dan metode log pearson tipe III. (*Suripin, 2004*)

## A. Metode Gumbel

Rumus metode Gumbel adalah sebagai berikut :

$$R_1 = \bar{R} + \frac{\sigma R}{\sigma n} (Y_1 - Y_n)$$

Dimana:

$R_1$  = Hujan harian maksimum (HHM) rencana sesuai dengan PUH

$\bar{R}$  = Presipitasi rata-rata dalam data HHM (mm/24 jam)

$\sigma R$  = Standart deviasi (diperoleh dari perhitungan)

$\sigma n$  = Expected standart deviasi (diperoleh dari tabel)

$Y_1$  = Reduced variate untuk periode ulang hujan (PUH) tertentu (dari tabel)

$Y_n$  = Expected mean reduced variate

Nilai  $\sigma n$ ,  $Y_1$ ,  $Y_n$  diperoleh dari tabel pada lampiran A

Untuk mendapatkan nilai standart deviasi menggunakan persamaan :

$$\sigma R = \left[ \frac{\sum (R_i - \bar{R})^2}{n-1} \right]^{\frac{1}{2}}$$

Dimana:  $n$  = jumlah tahun

$R_i$  = curah hujan tiap tahun

(Suripin, 2004)

## B. Metode Log Pearson Tipe III

Langkah perhitungan menggunakan metode Log Pearson adalah sebagai berikut:

1. Menyusun data curah hujan ( $R$ ) dari nilai yang terbesar sampai terkecil
2. Merubah data curah hujan yang disusun dari nilai terbesar ke dalam bentuk logaritma yang selanjutnya dinotasikan dengan  $X_i$
3. Menghitung nilai rata-rata  $X_i$ , dengan rumus :

$$\bar{X} = \frac{\sum X_i}{N}$$

Dimana: N = jumlah data curah hujan

4. Menghitung nilai deviasi rata-rata dari besaran nilai logaritma, dengan rumus:

$$\sigma_X = \sqrt{\frac{\sum(X_i - \bar{X})^2}{N - 1}}$$

5. Menghitung nilai koefisien asimetri dari besaran logaritma, dengan rumus:

$$C_s = \frac{N \sum(X_i - \bar{X})^3}{(N - 1)(N - 2)(\sigma_X)^3}$$

6. Berdasarkan nilai Cs yang diperoleh dan PUH(T) yang ditentukan, nilai Kx dapat diketahui dari tabel. Nilai Cs bisa positif atau negatif. Untuk nilai Cs positif nilai Kx menggunakan tabel positif skew coefficient sedangkan untuk nilai Cs negatif nilai Kx menggunakan table negative skew coefficient
7. Menghitung nilai logaritma dari masing-masing data curah hujan dengan rumus:

$$X_T = \bar{X} + Kx \cdot \sigma_X$$

Dimana: Kx = faktor frekuensi

8. Perkiraan harga HHM untuk PUH tertentu adalah:

$$R_T = \text{antilog } X_T \text{ atau } R_T = 10^{X_T}$$

(*Suripin, 2004*)

### 2.2.3 Periode ulang hujan

Periode ulang hujan adalah periode dalam tahun dimana suatu hujan dengan tinggi intensitas yang sama, kemungkinan dapat berulang kembali kejadianya dalam periode waktu tertentu. Misal 2, 5, 10, 25 atau 50 tahun sekali. Penetapan ini dipakai untuk menentukan besarnya kapasitas saluran air terhadap limpasan air hujan. (*Subarkah dalam Chintia, 2005*)

## 2.2.4 Limpasan Air Hujan

Limpasan air hujan dihitung dengan menggunakan metode rasional. Metode ini banyak dipakai khususnya dalam perencanaan drainase jalan maupun drainase kota karena mudah penggunaannya. Metode ini menggunakan parameter daerah pengaliran, koefisien pengaliran dan intensitas hujan. Rumus rasional tersebut adalah sebagai berikut:

$$Q = 0,278 \cdot C \cdot I \cdot A$$

Dimana:  $Q$  = debit rencana ( $\text{l/dt}$ )

$C$  = koefisien pengaliran

$I$  = intensitas hujan untuk waktu yang sesuai dengan waktu konsentrasi ( $\text{mm/jam}$ )

$A$  = luas daerah pengaliran

(Suripin, 2004)

Parameter yang menentukan dalam perhitungan debit rancangan dengan metode rasional ini adalah:

### A. Koefisien pengaliran (C)

Koefisien pengaliran (C) sebenarnya merupakan perbandingan antara jumlah hujan yang jatuh dengan jumlah hujan limpasan dan tertangkap di titik yang ditinjau. Nilai koefisien pengaliran ini pada umumnya ditetapkan berdasarkan pada pola tata guna lahan serta topografi. Untuk daerah pengaliran yang terdiri dari beberapa jenis tata guna lahan, maka nilai C diambil harga rata-ratanya sesuai dengan bobot luasnya dengan rumus:

$$C_{\text{gab}} = \frac{C_1 \cdot A_1 + C_2 \cdot A_2 + \dots + C_n \cdot A_n}{A_1 + A_2 + \dots + A_n}$$

### B. Daerah Pengaliran

Daerah pengaliran merupakan daerah tempat kejadian hujan sehingga seluruh air hujan yang jatuh di daerah tersebut tertangkap

disuatu titik tinjau tertentu. Umumnya semakin luas daerah pengaliran dan semakin landai topografinya maka akan semakin lama waktu terjadinya banjir puncak.

### C. Intensitas Hujan

Intensitas hujan merupakan tinggi hujan yang terjadi per satuan waktu, dilokasi hujan tersebut terkonsentrasi. Besarnya intensitas hujan dengan periode ulang tertentu dan lama waktu hujan tertentu ditentukan dengan menggunakan rumus intensitas yang didapat dari metode kuardrat terkecil.

### D. Waktu Konsentrasi

Waktu konsentrasi merupakan waktu yang diperlukan air untuk mengalir dari titik terjauh hingga titik yang ditinjau pada suatu saluran drainase. Waktu konsentrasi ( $t_c$ ) adalah penjumlahan dari waktu yang diperlukan oleh air hujan untuk mengalir pada permukaan tanah menuju saluran terdekat ( $t_o$ ) dan waktu untuk mengalir di dalam saluran ke suatu tempat yang ditinjau ( $t_d$ ).

Jadi,  $t_c = t_o + t_d$

Waktu yang diperlukan air hujan untuk mengalir pada permukaan tanah menuju saluran ( $t_o$ ) dapat dihitung dengan rumus sebagai berikut:

$$t_o = \frac{3.26(1.1 - C)L_o^{1/2}}{S_o^{1/3}}$$

dimana :  $t_o$  = waktu limpasan ( menit )

$C$  = angka pengaliran / *runoff coefficient*

$L_o$  = panjang limpasan ( m )

$S_o$  = kemiringan medan limpasan ( % )

Untuk luas daerah aliran yang lebih besar dari 80 hektar maka perhitungan dapat dilakukan dengan menggunakan rumus Rasional yang dimodifikasi yang dapat dipergunakan sampai luas daerah pengaliran sebesar 5.000 ha. Adapun



rumus rasional yang dimodifikasi adalah sebagai berikut :

$$Q = 0,278 \cdot C_s \cdot I \cdot A$$

dimana :

$C_s$  = koefisien penampungan, sedangkan semua komponen sama dengan metode Rasional

$$C_s \text{ dihitung dengan rumus : } C_s = \frac{2tc}{2tc + td}$$

dimana :

$td$  = waktu aliran di dalam saluran ( menit )

Dengan perhitungan  $td$  adalah :

$$td = \frac{L}{V}$$

dimana :

$L$  = panjang saluran ( m )

$V$  = kecepatan aliran ( m/det )

(Suripin, 2004 )

### 2.3 Proyeksi Penduduk

Untuk menentukan proyeksi penduduk yang akan digunakan maka perlu dicari terlebih dahulu angka koefisien dari setiap metode proyeksi penduduk yang ada. Metode proyeksi yang biasa digunakan terdiri dari (*Soemarto dalam Yuliono, 2001*) :

- 1.1. Metode aritmatik
- 1.2. Metode geometrik
- 1.3. Metode last square

Metode yang memiliki angka koefisien korelasi mendekati atau sama dengan satu itulah yang akan digunakan untuk menghitung jumlah penduduk pada tahun perencanaan. Adapun rumus yang digunakan untuk menghitung proyeksi

penduduk dan fasilitas pada perencanaan ini adalah dengan menggunakan metode – metode tersebut sebagai berikut :

### 1. Metode aritmatik

Metode ini digunakan jika pertumbuhan penduduk tahun sebelumnya mempunyai kecenderungan aritmatik (selalu konstan).

$$\text{Rumus I} \quad Ka = \frac{P_n - P_{n-1}}{t_n - t_{n-1}}$$

dimana :

$P_n$  : Jumlah penduduk tahun sekarang

$P_{n-1}$  : Jumlah penduduk tahun sebelumnya

$t_n$  : Tahun sekarang

$t_{n-1}$  : Tahun sebelumnya

$$P_n = Po + Ka(t_n - t_o)$$

dimana :

$P_n$  : Jumlah penduduk pada tahun proyeksi

$P_o$  : Jumlah penduduk tahun awal proyeksi

$t_n$  : Tahun proyeksi

$t_o$  : Tahun awal proyeksi

$Ka$  : Konstanta aritmatik

### Rumus II

$$P_n = P_o + (N - 1)b$$

dimana :

$P_n$  : Jumlah penduduk setelah n tahun

$P_o$  : Jumlah penduduk saat ini

$N$  : Jumlah tahun yang direncanakan

$b$  : Kenaikan rata-rata penduduk per tahun

### 2. Metode geometris

Metode ini dipakai jika pertumbuhan penduduk tahun sebelumnya mempunyai kecenderungan geometrik (cekung).

### Rumus I

$$Kg = \frac{\ln(P_n / P_{n-1})}{t_n - t_{n-1}}$$

dimana :

$P_n$  : Jumlah penduduk tahun sekarang

$P_{n-1}$  : Jumlah penduduk tahun sebelumnya

$t_n$  : Tahun sekarang

$t_{n-1}$  : Tahun sebelumnya

$$\ln P_n = \ln P_o + Kg(t_n - t_o)$$

dimana :

$P_n$  : Jumlah penduduk pada tahun proyeksi

$P_o$  : Jumlah penduduk tahun awal untuk proyeksi

$t_n$  : Tahun proyeksi

$t_0$  : Tahun awal untuk proyeksi

$Kg$  : Konstanta geometrik

### Rumus II

$$P_n = P_o(1 + P\%)^N$$

dimana :

$P_n$  : Jumlah penduduk setelah  $n$  tahun

$P_o$  : Jumlah penduduk saat ini

$N$  : Jumlah tahun yang direncanakan

$P$  : Prosentase kenaikan rata-rata penduduk per tahun (%)

### 3. Metode last square

Metode ini dipakai jika pertumbuhan penduduk tahun sebelumnya mempunyai kecenderungan garis linier.

Rumus :  $P_n = a + (b \times t)$

Dimana :

- Pn : jumlah penduduk pada akhir tahun periode (tahun ke n)
- a dan b : konstanta
- t : tambahan tahun terhitung dari tahun dasar

## 2.4 Air Buangan

Air buangan yaitu air dari hasil kegiatan proses yang dibuang kedalam lingkungan. Untuk memperkirakan debit air kotor, harus diketahui jumlah penduduk air rata – rata setiap orang dalam satu hari. Sebelum kita melakukan perhitungan debit air buangan, terlebih dahulu kita melakukan proyeksi penduduk.

### 2.4.1 Sistem jaringan penyaluran air buangan

Beberapa hal yang perlu diperhatikan atau yang perlu dipenuhi dalam perencanaan jaringan air buangan antara lain (*Metcalf and Edy, 1981 dalam Maria*):

1. Jaringan induk harus dapat melayani seluruh daerah pelayanan.
2. Pengaliran air buangan cepat dan kontinyu dalam waktu yang relatif singkat.
3. Keamanan saluran harus terjamin, dengan tingkat kebocoran seminim mungkin sehingga tidak terjadi pencemaran lingkungan.
4. Jaringan penyaluran direncanakan berdasarkan jumlah air buangan dengan memperhitungkan segi ekonomi.

Dalam hal penanganan air buangan, ditinjau dari sistem yang berhubungan dengan pengolahannya, maka terbagi menjadi :

#### 1. *Sistem On Site*

Adalah jaringan penyaluran air buangan yang pengolahannya dilakukan setempat, tidak memerlukan pengorganisasian terpusat dalam pengoperasikannya dan pemeliharaannya menjadi lebih sederhana karena pengolahan air buangan dilakukan di tempat. Contohnya: penggunaan tangki septic dan peresapannya.

## *2. Sistem Of Site*

Adalah sistem jaringan penyaluran yang pengolahannya memerlukan pengoperasian terpusat baik dalam pengolahan maupun dalam pemeliharaannya. Sistem ini merupakan alternatif apabila suatu sistem tidak dapat diterapkan karena suatu keterbatasan tempat dan tingginya muka air tanah. Sistem ini juga cocok untuk daerah yang mempunyai kepadatan penduduk tinggi dan kemampuan ekonomi penduduk cukup memenuhi. Pada sistem ini, dalam pengalirannya menuju bangunan pengolahan air buangan dibedakan menjadi 2 yaitu:

- *Full Sewerage*

Pada sistem ini air buangan langsung dialirkan tanpa proses pengendapan terlebih dahulu. Saluran full sewerage bisa digunakan pada pemakaian air yang besar guna mengurangi efek pengendapan dalam pipa. Sehingga diameter yang digunakan harus cukup besar dan bahan pipa harus tahan terhadap kemungkinan terjadinya penggerusan oleh air buangan. Sistem ini memerlukan biaya yang cukup mahal, tetapi kelebihan sistem ini tidak perlu membangun tangki septic pada setiap rumah.

- *Small Bower Sewer*

Pada sistem ini air buangan sebelum masuk ke jaringan penyaringan air buangan terlebih dahulu mengalami proses pengendapan di tangki septic dan sistem ini lebih murah di banding sistem full sewerage, karena lebih sedikit jumlah manhole yang dibutuhkan serta diameter pipa yang digunakan juga tidak terlalu besar. Kemiringan jalur pipa dapat lebih kecil karena kecepatan peggerusan tidak perlu dipertimbangkan dalam pengaliran air buangan yang sudah tidak mengandung solid sebagai akibatnya pipa tidak perlu di tanam terlalu dalam.

Pembagian sistem of site berdasarkan sistem pengaliran dalam hal ini penyaluran dapat dibagi menjadi:

### a) Sistem terpisah

Suatu sistem penyaluran air buangan dimana air hujan dari air buangan disalurkan secara terpisah melalui dua saluran yang berbeda. Air hujan dapat disalurkan pada saluran terbuka maupun tertutup.

Dasar pertimbangan pemilihan sistem ini adalah :

- Periode musim hujan dengan musim kemarau cukup lama dan fluktuasi curah hujan yang cukup tinggi.
- Kuantitas air buangan dengan hujan jauh berbeda
- Air buangan diolah terlebih dahulu, sedangkan air hujan secepatnya dibuang ke sungai.

Keuntungan dari sistem terpisah adalah:

- Sistem saluran punya dimensi kecil
- Mengurangi bahaya kesehatan
- Instalasi pengolahan air buangan tidak ada tambahan beban kapasitas, karena penambahan air hujan.

Kerugian dari sistem terpisah ini adalah: harus ada dua sistem saluran

### b) Sistem tercampur

Merupakan sistem penyaluran air buangan yang di pergunakan untuk mengalirkan air limbah, baik yang berasal dari rumah tangga maupun yang berasal dari daerah industri, dari air hujan dan dari air permukaan.

Dasar pertimbangan pemilihan dari sistem ini adalah:

- Debit air buangan antara musim hujan dengan musim kemarau relatif kecil
- Kuantitas air buangan dengan air hujan berbeda
- Kemiringan daerah yang cukup, penempatan saluran tidak terlalu dalam dan tidak perlu pemompaan.

Keuntungan dari sistem tercampur adalah:

- Beban instalasi pengolahan tidak terlalu besar
- Air hujan sewaktu-waktu dapat digunakan sebagai penggelontor

Kerugian dari sistem tercampur ini adalah:

Diperlukan adanya perubahan konstruksi yang akan menambah biaya pembuatan.

### c) Sistem kombinasi

Sistem ini merupakan penyaluran air buangan pada musim hujan dilakukan secara terpisah, sedangkan pada awal musim kemarau dilakukan secara tercampur.

Keuntungan dari sistem ini adalah:

- Beban instalasi pengolahan tidak terlalu besar
- Air hujan dapat digunakan sebagai penggelontor.

Kerugian sistem ini adalah:

Diperlukan biaya konstruksi yang khusus dan yang pasti akan menambah biaya pembuatan dan perawatan.

## 2.4.2 Debit Air Buangan

Perhitungan air buangan disuatu daerah sangat bervariasi. Hal ini sesuai dengan ketersediaan air, kebiasaan hidup, tingkat hidup, ketersediaan fasilitas penyediaan air dan sosial ekonomi. Fluktuasi debit air buangan dalam saluran bervariasi jamnya dalam sehari. Pada waktu pemakaian air bersih memuncak maka besarnya perbandingan antara debit maksimum dengan debit rata-rata tergantung dari jumlah penduduk atau bangunan yang akan dilayani dengan segala aktifitasnya. Air buangan yang masuk kedalam saluran dapat dihitung dengan rumus (*Marsono, 2000*) sebagai berikut :

### 1. Debit rata-rata air buangan (Q<sub>r</sub>)

Q<sub>r</sub> adalah debit rata-rata satu hari dalam satu tahun

Rumus :  $Q_r = (60-80)\% \times Q$  air bersih

### 2. Debit minimum (Q<sub>min</sub>)

Q<sub>min</sub> adalah debit minimum satu hari dalam satu tahun

Rumus :  $Q_{min} = 1/5 \cdot p^{7/6} \cdot Q_r$

### 3. Debit maksimum harian (Q<sub>maks</sub>)

$Q_{maks}$  adalah debit air buangan hari maksimum sama dengan dua kali debit rata-rata air buangan

Rumus : faktor harian puncak  $\times Q_r$

#### 4. Debit Puncak (Qpeak)

Adalah debit air buangan saat puncak

Rumus :  $Q_{peak} = 5p^{0.5} \cdot Q_{md} + C_r \cdot p \cdot Q_r + Q_{inf} (L/1000)$

Tabel 2.1 Kategori Tingkat Pelayanan Air Bersih

No	Kategori	Jumlah Penduduk (jiwa)	Standar Sistem	Tingkat Pemakaian Air
I	Kota Metropolitan	>1.0 Juta	Non Standar	190 liter/orang/hari
II	Kota Besar	500.000 - 1.0 Juta	Non Standar	170 liter/orang/hari
III	Kota Sedang	100.000 – 500.000	Non Standar	150 liter/orang/hari
IV	Kota Kecil	20.000 – 100.000	BNA	130 liter/orang/hari
V	Kota Kecamatan	>20.000	IKK	100 liter/orang/hari

(Dirjen Cipta Karya, 2002)

Jumlah penduduk Kota Malang tahun 2008 sebesar 816.637 jiwa ([Http://www.Malangkota.go.id](http://www.Malangkota.go.id).) Berdasarkan kriteria pada Tabel 2.1 Kategori tingkat Pelayanan air bersih, Kota Malang termasuk Kota besar, maka asumsi kebutuhan airnya adalah 170 liter/orang/hari (Dirjen Cipta Karya, 2002).

## 2.5 Analisis Drainase

Saluran drainase umumnya merupakan bagian penting dalam sistem drainase. Bentuk penampang dan kemiringan dari saluran harus ditentukan secara seksama untuk menghindar terjadinya luapan, banjir, erosi dan pengendapan. Dalam hubungannya dengan saluran dibawah permukaan, saluran terbuka diasumsikan sebagai aliran seragam dan persamaan manning dapat diterapkan pada saluran ini. Pada aliran seragam, keseimbangan yang ada didapatkan dari kehilangan energi akibat gesekan diimbangi dengan peningkatan energi akibat kemiringan saluran. Bentuk – bentuk saluran drainase yang sering dijumpai dilapangan terdiri dari :

22 YOUNG DIALECTS

1995-1996 学年第二学期期中考试高二年级物理试题

	कोड संख्या	प्राप्ति	प्रयोग	प्रतिशत प्रयोग
A	कोड एसीए	150,000	100	100 प्रतिशत प्रयोग
B	कोड बी	50,000 - 100,000	300	75 प्रतिशत प्रयोग
C	कोड डी	100,000 - 200,000	400	100 प्रतिशत प्रयोग
D	कोड वी	200,000 - 300,000	1000	100 प्रतिशत प्रयोग
E	कोड व्हाइटेंडेज	10,000	500	100 प्रतिशत प्रयोग
		(प्राप्ति)		(प्रयोग)
गण	गणना	प्राप्ति के दरमाने	प्रयोग के दरमाने	प्रतिशत प्रयोग

Leveraging Big Data for Efficient Resource Allocation in Manufacturing

Worms : *Obesogaster* (Gmelin) + *Cyathostoma* (Leuckart).

Учебник для 7-х классов по математике

### 4.1 Deposit Insurance (*elbasit*)

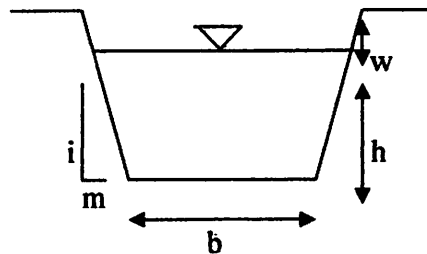
#### **GRANDE : PERTURBATION D'UN SYSTÈME A 2 G**

DEPT OF STATE-1918 THE PERSPECTIVE

Quando separamos os corpos que compõem uma substância, não podemos dizer que

### 1. Bentuk trapesium

Saluran drainase bentuk trapesium membutuhkan ruang yang cukup dan berfungsi untuk pengaliran air hujan, air rumah tangga maupun air irigasi.



Gambar 2.1 Penampang saluran berbentuk trapesium

Kapasitas saluran drainase berbentuk trapesium dapat dihitung dengan rumus sebagai berikut :

- Luas penampang basah saluran trapesium

$$A = (b+m.h)h$$

- Keliling penampang basah saluran trapezium

$$P = b + 2h\sqrt{1+m^2}$$

- Jari jari hidrolis

$$R = \frac{A}{P}$$

- Kecepatan aliran

$$V = \frac{1}{n} R^{2/3} S^{1/2}$$

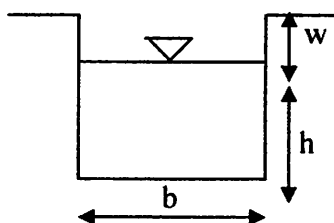
- Debit yang mengalir pada saluran

$$Q = V.A$$

( Suripin, 2004 )

## 2. Bentuk segi empat

Saluran drainase berbentuk segi empat tidak banyak membutuhkan ruang. Sebagai konsekuensi saluran ini harus dari pasangan atau beton. Bentuk saluran tersebut berfungsi untuk pengaliran air hujan, air rumah tangga maupun air irigasi.



Gambar 2.2 Penampang saluran berbentuk segi empat

Kapasitas saluran saluran drainase bebentuk segi empat dapat dihitung dengan rumus sebagai berikut :

- Luas penampang basah saluran segi empat

$$A = bx(h+w)$$

- Keliling penampang basah saluran segi empat

$$P = b + 2h$$

- Jari jari hidrolis

$$R = \frac{A}{P}$$

- Kecepatan aliran

$$V = \frac{1}{n} R^{2/3} S^{1/2}$$

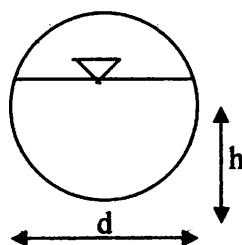
- Debit yang mengalir pada saluran

$$Q = V.A$$

(Suripin, 2004)

### 3. Bentuk Lingkaran

Saluran drainase bentuk tersebut biasanya terbuat dari pipa beton walaupun dibeberapa tempat menggunakan pasangan. Dengan bentuk dasar saluran yang bulat memudahkan pengangkutan bahan endapan/limbah. Bentuk saluran demikian berfungsi sebagai saluran air hujan, air buangan maupun air irigasi.



Gambar 2.3 Penampang saluran berbentuk lingkaran

Kapasitas saluran saluran drainase berbentuk lingkaran dapat dihitung dengan rumus sebagai berikut :

- Luas penampang basah saluran berbentuk lingkaran

$$A = \frac{1}{4} \pi d^2$$

- Keliling penampang basah saluran berbentuk lingkaran

$$P = \pi d$$

- Jari-jari hidrolik

$$R = \frac{d}{4}$$

- Kecepatan aliran

$$V = (0,397/n) \times d^{2/3} \times S^{1/2}$$

- Debit yang mengalir pada saluran

$$Q = V.A$$

dimana :

b = Lebar dasar saluran (m)

- h = Kedalaman air didalam saluran (m)  
 m = Kemiringan dinding saluran (m)  
 A = Luas penampang basah saluran ( $m^2$ )  
 P = Keliling penampang basah saluran (m)  
 R = Jari jari hidrolis (m)  
 d = diameter saluran (m)  
 n = Koefisien Kekasaran Manning  
 S = Kemiringan dasar saluran (m)  
 V = Kecepatan aliran air dalam saluran (m/dt)  
 Q = Debit drainase ( $m^3/dt$ )

Harga koefisien kekasaran manning (n) ditentukan berdasarkan bahan yang membentuk saluran dapat dilihat pada tabel 2.2

Tabel 2.2 Kekasaran manning untuk berbagai material

No	Tipe saluran dan jenis bahan	Harga n		
		Minimum	Normal	Maksimum
1	Beton			
	- Gorong – gorong lurus dan bebas dari kotoran	0,010	0,011	0,013
	- Gorong – gorong dengan lengkungan dan sedikit kotoran	0,011	0,013	0,014
	- Beton dipoles	0,011	0,012	0,014
	- Saluran pembuang dengan baka kontrol	0,013	0,015	0,017
2	Tanah lurus dan seragam			
	- Bersih baru	0,016	0,018	0,020
	- Bersih telah melapuk	0,018	0,022	0,025
	- Berkerikil	0,022	0,025	0,030
	- Berumput pendek, sedikit tanaman pengganggu	0,022	0,027	0,030
3	Saluran alam			
	- Bersih lurus	0,025	0,030	0,033
	- Bersih berbelok – belok	0,033	0,040	0,045
	- Banyak tanaman pengganggu	0,050	0,070	0,080
	- Dataran banjir berumput pendek-tinggi	0,025	0,030	0,035
	- Saluran belukar	0,035	0,050	0,070

(Suripin 2004)

## 2.6 Debit Genangan

Debit genangan yang dimaksud adalah selisih antara besarnya debit drainase yang terdiri dari debit yang berasal dari air hujan dan air limbah penduduk dengan kapasitas saluran drainase yang ada. Area (saluran) yang mempunyai nilai debit limpasan ditambah dengan debit air buangan lebih besar dari kapasitas saluran drainase merupakan area genangan atau saluran tersebut tidak mampu menampung air. Debit genangan dapat menggunakan rumus sebagai berikut :

$$Q_g = (Q_l + Q_d) - Q_s$$

dimana :

$Q_g$  = debit genangan ( $m^3/dtk$ )

$Q_l$  = debit air hujan ( $m^3/dtk$ )

$Q_d$  = debit air buangan domestik ( $m^3/dtk$ )

$Q_s$  = debit kapasitas saluran drainase ( $m^3/dtk$ )

## 2.7 Sistem Informasi Geografis

Sistem Informasi Geografi (SIG) atau *Geography Information System* (GIS) adalah suatu sistem informasi yang dirancang untuk bekerja dengan data yang berefrensi spasial atau berkoordinat geografi atau dengan kata lain suatu SIG adalah suatu sistem basis data dengan kemampuan khusus untuk menangani data yang berefrensi keruangan (spasial) bersamaan dengan seperangkat operasi kerja (Barus dan Wiradisastra, 2000). Sedangkan menurut Anon (2001) Sistem Informasi geografi adalah suatu sistem Informasi yang dapat memadukan antara data grafis (spasial) dengan data teks (atribut) objek yang dihubungkan secara geografis di bumi (*georeference*). Disamping itu, SIG juga dapat menggabungkan data, mengatur data dan melakukan analisis data yang akhirnya akan menghasilkan keluaran yang dapat dijadikan acuan dalam pengambilan keputusan pada masalah yang berhubungan dengan geografi. (<http://id.wordpress.com/tag/sistem-informasi-geografi>) Komponen utama Sistem Informasi Geografis dapat dibagi kedalam 4 komponen utama yaitu:

«*Любовь (романтизм)» (подпись Грибоедова) были выставлены в музее.*

- ④ = զորք աշխատության առաջնահամար (ալլոց)
  - ⑤ = զորք առ բարեկան պահանջ (օլլոց)
  - ⑥ = բարք առ բարեկան (ալլոց)
  - ⑦ = զորք նեղանման (օլլոց)

2024 RELEASE UNDER E.O. 14176

$$Q^{\mu} = (Q + Q^{\prime }) - \mathrm{i}\epsilon$$

కుట్టారు సిద్ధానథీం కృష్ణ వాసిల్ రమేశ్ బాబు ఎంపిక ప్రారంభించాడు.

Причинами, по которым виноградные листья становятся зелеными, являются недостаток солнечного света и избыток влаги.

ପ୍ରକାଶ ନିମ୍ନଲିଖିତ ହେଉ ପ୍ରକାଶକଙ୍କ ଦ୍ୱାରା ଉପରେ ଦିଆଯାଇଛି ।

perangkat keras (*digitizer*, *scanner*, *Central Processing Unit (CPU)*, *hard-disk*, dan lain-lain), perangkat lunak (*ArcView*, *Idrisi*, *ARC/INFO*, *ILWIS*, *Autocad MapInfo*, dan lain-lain), organisasi (manajemen) dan pemakai (*user*). Keempat komponen tersebut adalah sesuatu yang tidak dapat dipisahkan. Apabila salah satu komponen dari SIG tersebut hilang, maka terjadi ketidakutuhan dalam pengembangan program SIG tersebut.

### 2.7.1 Elemen ruang (spasial)

Obyek spasial dimuka bumi dapat dikelompokkan kedalam empat bentuk yang mudah diidentifikasi, yaitu : titik (*point*), garis (*line*), area (*area*), dan permukaan (*surface*). Point, line dan area dapat dinyatakan dengan elevasi titik maupun struktur komponen yang lain. Yang terpenting dalam SIG adalah bahwa semua data secara eksplisit spasial. Fenomena – fenomena tidak spasial (misalnya parameter sosial, ideologi politik, wilayah kerja, dll) tidak dapat langsung dinyatakan dalam SIG, kecuali ada cara – cara tertentu untuk memberikan karakter ruang yang dapat mewakilinya.

Obyek point merupakan fenomena spasial, yang setiap individualnya hanya mempunyai 1 lokasi dalam ruang, tidak mempunyai dimensi ruang, tidak mempunyai panjang dan lebar meskipun masing – masing dapat direferensikan oleh sebuah koordinat lokasi, oleh karena itu point dikatakan mempunyai dimensi nol (0). Contoh dari obyek point misalnya pohon, rumah dan kantor. Obyek line pada konsepnya hanya mempunyai satu ( 1 ) dimensi dalam ruang. Obyek satu dimensi ini bisa berupa jalan, sungai, perbatasan regional, dan sebagainya yang secara fundamental panjang dan sangat kurus ( mempunyai perbandingan panjang dan lebar yang sangat besar ). Obyek yang mempunyai panjang dan lebar disebut sebagai area, contoh dari area atau berdimensi dua (2) adalah sebuah lapangan, wilayah perkotaan, benua dan sebagainya. Sebagai tambahan dari susunan area dapat diketahui luas area yang dicakup. Penambahan dimensi ketingian pada area membawa pada pengamatan keberadaaan obyek surface, yang dimana obyek ini dikatakan berdimensi tiga ( 3 ). Obyek surface ada disekeliling kita misalnya gunung, lembah, dan lain sebagainya

deren SIC ist sehr gut für die Produktion von chemischen Produkten geeignet. Die chemische Industrie ist ein wichtiger Wirtschaftszweig in Südkorea und beschäftigt eine hohe Anzahl von Arbeitnehmern. Die chemische Industrie ist eine der wichtigsten Branche in Südkorea und beschäftigt eine hohe Anzahl von Arbeitnehmern.

Autodesk® 3ds Max

Digitized by srujan kaumudi, IIT-B

Однакоже він засвідчив, що він не був залучений до цієї злочинності. Він сказав, що він був у відпустці в Ізраїль та відвідав свій батька, який жив в Ізраїлі. Він сказав, що він був у відпустці в Ізраїль та відвідав свій батька, який жив в Ізраїлі. Він сказав, що він був у відпустці в Ізраїль та відвідав свій батька, який жив в Ізраїлі. Він сказав, що він був у відпустці в Ізраїль та відвідав свій батька, який жив в Ізраїлі. Він сказав, що він був у відпустці в Ізраїль та відвідав свій батька, який жив в Ізраїлі.

yang dapat dinyatakan tidak saja dengan luas area yang dicakup tetapi juga dengan penambahan dimensi ketiga yaitu ketinggian.

### **2.7.2 Cara kerja SIG**

SIG dapat merespresentasikan dunia nyata pada monitor komputer sebagaimana lembaran peta dapat mengimplementasikan dunia nyata diatas kertas. Tetapi SIG memiliki kekuatan lebih dan fleksibilitas dari pada lembaran peta kertas. SIG menyimpan semua informasi deskriptif unsur – unsurnya sebagai atribut – atribut didalam database. Kemudian SIG membentuk dan menyimpannya didalam tabel – tabel rasional. Setelah itu SIG menghubungkan unsur – unsur diatas dengan tabel yang bersangkutan. Dengan demikian atribut ini dapat diakses melalui lokasi – lokasi unsur peta dan sebaliknya, unsur – unsur peta juga dapat diakses melalui atribut – atributnya. Karena itu unsur – unsur tersebut dapat dicari dan ditemukan berdasarkan atribut – atributnya.

SIG menghubungkan sekumpulan unsur – unsur peta dengan atributnya didalam satuan – satuan yang disebut layer. Sungai, bangunan, jalan, laut, batas – batas administrasi, perkebunan dan hutan merupakan contoh – contoh layer. Kumpulan layer – layer itu akan membentuk database SIG. Dengan demikian perancangan data base merupakan hal yang essensial dalam SIG. Rancangan database akan menentukan efektifitas dan efisiensi proses – proses masukan, pengelolaan, dan keluaran SIG. Sebelum data di input ke SIG, datanya disesuaikan dengan kriteria perencanaan, setelah itu diberi skoring (*Metode Penelitian Kuantitatif, Kualitatif dan R & D. 2008*)

### **2.7.3 Output SIG**

Tujuan pembuatan peta adalah mendapatkan respon dari pengamat sehingga mereka mengerti informasi lingkungan yang dipetakan tersebut. Karena kebanyakan peta output SIG bukan merupakan peta bertipe referensi umum, yang menampilkan sejumlah fenomene geografis dalam sebuah peta, maka pengertian peta dalam

bahasan ini dibatasi hanya untuk peta tematik. Peta – peta tematik lebih difokuskan pada representasi hubungan struktural subyek atau tema tertentu.

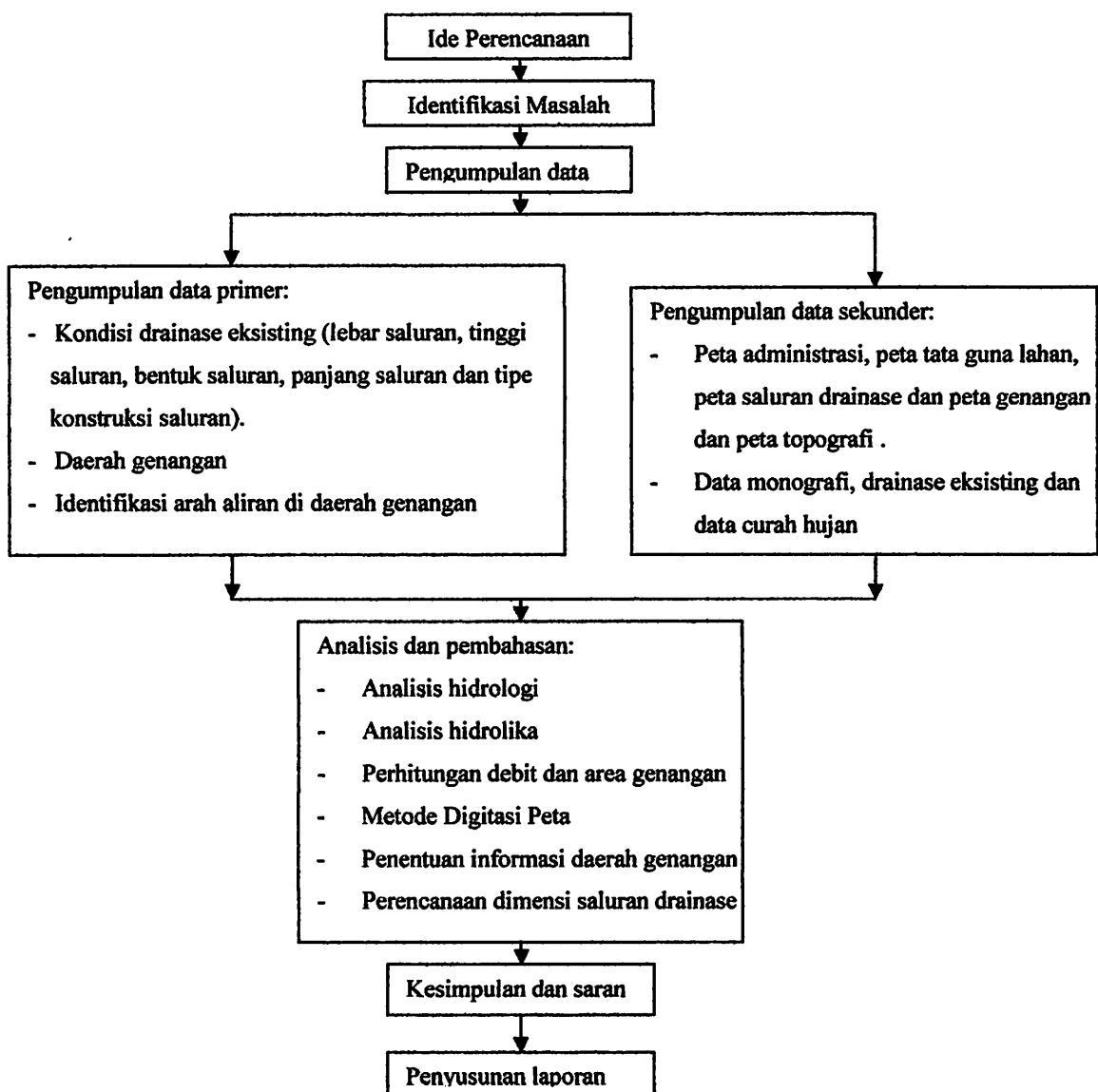
Proses desain peta tematik secara umum meliputi pemilihan, pembuatan dan penempatan simbol – simbol yang tepat beserta obyek grafis untuk secara emplisit menunjukkan fitur – fitur penting dan hubungan spasial obyek – obyek yang dipelajari. Selain itu peta tematik sering kali juga membutuhkan sebuah sistem referensi sebagai kerangka kerja banding untuk menempatkan obyek – obyek tematik tersebut dalam ruang geografis. Peta didesain sedemikian rupa sehingga pengguna dapat dengan mudah memahami peta tersebut. Oleh karena itu kadang – kadang diperlukan pertimbangan aspek ilmiah, logika, seni, dan pengaruh yang rumit serta keragaman asumsi.

## BAB III

### METODOLOGI PERENCANAAN

#### 3.1 Kerangka Perencanaan

Secara garis besar, metode perencanaan saluran drainase dengan aplikasi SIG di Kelurahan Sumbersari Kecamatan Lowokwaru dan Kelurahan Karangbesuki Kecamatan Sukun Kota Malang adalah sebagai berikut:



### **3.2 Kegiatan perencanaan**

Rangkaian kegiatan yang dilakukan dalam perencanaan ini adalah sebagai berikut:

#### **3.2.1 Ide**

Ide studi perencanaan jaringan saluran drainase dengan menggunakan SIG diperoleh dari permasalahan tentang adanya banjir atau genangan di Kelurahan Sumbersari Kecamatan Lowokwaru dan Kelurahan Karangbesuki Kecamatan Sukun Kota Malang dan literatur-literatur tentang penggunaan SIG dalam sistem pengelolaan air buangan

#### **3.2.2 Identifikasi Masalah**

Dengan adanya genangan air yang diakibatkan oleh kurangnya kapasitas penampungan air di Kelurahan Sumbersari dan Kelurahan Karangbesuki maka diperlukan sistem informasi yang bertujuan untuk perencanaan saluran drainase yang dapat menggabungkan data-data spasial dan data-data nonspasial dengan efisiensi dan akurat, sehingga memudahkan dalam pengerjaannya.

#### **3.2.3 Pengumpulan data**

Jenis data yang dikumpulkan sebagai bahan analisa terdiri dari dua pengelompokan yaitu data primer dan data sekunder.

##### **1. Pengumpulan data primer**

- Kondisi drainase eksisting diperoleh dari survei dengan menggunakan peta dan melakukan inventarisasi diantaranya adalah lebar saluran, tinggi saluran, bentuk saluran, tipe konstruksi saluran, debit eksisting dan foto saluran drainase.
- Identifikasi di daerah genangan dan mengumpulkan informasi di sekitar daerah genangan, misalnya untuk mengetahui perubahan – perubahan fungsi, dimensi, tata guna lahan, kondisi ekstrim genangan di daerah tersebut.
- Identifikasi arah aliran di daerah genangan yaitu untuk mengetahui arah aliran air yang mengalir dari saluran drainase ke badan air terdekat.

Digitized by srujanika@gmail.com

delectu int' recessuorum multis nichil nisi quod nunc et postea

### Unfilled loadcell

卷之三

szolgáltatásaihoz köthetően, melyekre megírva, összefoglalva Rende old  
számos másik megoldást ismertet az adott gyakorlat mindenkorral függő részleteiből. Ez a  
szövegben két részre osztjuk a könyvet: először a gyakorlatokat, majd utóször a könyv  
szövegét, amelyben a gyakorlatokat leíró részhez kapcsolódóan mindenféle előzetes  
szöveges előirányt, előírást, előírásot, előírásokat, előírásokat, előírásokat, előírásokat,

designed by architect E.S.C.

и упомянутым для различных групп изображений схема описана.  
Возможность подсчета числа изображений каждого из до опубликованных изданий  
записей описана в разделе, данном выше, и поэтому здесь будем указывать  
только количество изображений, каких изображений в каждом из  
изданий.

Digitized by srujanika@gmail.com

sub-karb bilinen sevdanın en büyük kaynakları şunlardır: genc, cinsel, sosyal ve ekonomik sorunlar.

Additional risk factors for obesity include genetic factors.

young and adolescent. 1

az aki hosszú ideig negatív környezetben élt, nem tudja megérteni a pozitív, örömteli élményeket. Ezért az emlékek nemrég elhalászhatók, mivel a személyi emlékekkel kapcsolatos emlékeket a gyakorlatban nem lehet megtalálni. A negatív emlékekkel kapcsolatos emlékekkel szemben viszont a gyakorlatban több lehetőség van, mint a pozitív emlékekkel szemben. Az emlékekkel kapcsolatos emlékekkel szemben a gyakorlatban több lehetőség van, mint a pozitív emlékekkel szemben.

## 2. Pengumpulan data sekunder

- Jumlah penduduk Kota Malang tahun 2008 sebesar 816.637 jiwa ([Http://www.Malangkota.go.id](http://www.Malangkota.go.id)). Berdasarkan kriteria pada tabel 2.1 Kategori tingkat pelayanan air bersih, Kota Malang termasuk Kota besar maka asumsi kebutuhan air bersih rata-rata adalah sebesar 170 lt/org/hr (*Dirjen Cipta Karya, 2002*).
- Data monografi yang diperoleh berupa data jumlah penduduk selama 5 tahun dan fasilitas penduduk selama 5 tahun yaitu dari tahun 2004 – 2008 yang akan diproyeksikan selama 25 tahun menjadi 2033.
- Data drainase eksisting yang diperoleh dari Dinas Kimpraswil berupa lebar saluran, tinggi saluran, bentuk saluran, panjang saluran, arah aliran air dan debit eksisting .
- Data curah hujan, digunakan untuk mengetahui hujan harian maksimum dan intensitas hujan sehingga dapat diketahui debit air hujan yang ada di daerah perencanaan.
- Peta administrasi, digunakan untuk mengetahui batas wilayah perencanaan.
- Peta tata guna lahan, digunakan untuk mengetahui segala kondisi penggunaan lahan di daerah perencanaan seperti pemukiman, jalan, persawahan ataupun lahan kosong. Hal ini merupakan salah satu syarat untuk perencanaan saluran drainase.
- Peta saluran drainase, digunakan untuk mengetahui saluran drainase eksisting di daerah perencanaan.
- Peta genangan, digunakan untuk mengetahui daerah genangan eksisting di daerah perencanaan.
- Peta topografi, digunakan untuk mengetahui berapa kemiringan tanah pada area genangan.

JOURNAL OF CLIMATE

Dicas de programação para iniciantes em Python - Parte 1: Estruturas de dados e operadores

2005 ibidem mhd. 22. mājās pārbaudēja  
īstāk apdzīvotā vieta Dziru Kalnā. Kārtējā pārbaudēja  
īstāk apdzīvotā vieta Dziru Kalnā. Pārbaudēja īstāk  
apdzīvotā vieta Dziru Kalnā. Pārbaudēja īstāk  
apdzīvotā vieta Dziru Kalnā.

188/2000/30

*Journal of Clinical Endocrinology and Metabolism* 1999, 142: 299–306. © 1999 Blackwell Science Ltd  
doi: 10.1046/j.1365-2796.1999.01322.x

principale aziende, mentre i dipendenti delle grandi multinazionali, soprattutto quelle strate

www.nature.com/scientificreports/

Revista Brasileira de Sistemas e Software - ISSN 1516-103X - Rio Claro, São Paulo, Brasil - Volume 13, Número 1, Janeiro 2009

www.scholarlyone.com

After about 10 minutes of intense labor, the cervix was fully dilated. The baby was born.

### **3.2.4 Analisis dan Pembahasan**

Pada perencanaan ini dilakukan tahap - tahap pengelolaan data sebagai berikut :

#### **1. Analisis hidrologi**

Dalam analisis hidrologi menggunakan data curah hujan yang digunakan untuk perhitungan hujan maksimum harian rata-rata tiap tahun, curah hujan rencana dan periode ulang hujan sehingga dapat diketahui debit limpahan air hujan. Perhitungan debit air buangan juga dilakukan untuk mengetahui berapa besar debit yang dialirkan kesaluran drainase. Debit air yang berasal dari limpahan air hujan dan air buangan yang dijumlahkan merupakan debit rencana.

#### **2. Analisis hidroliko**

Dalam analisis hidroliko menggunakan data bentuk ataupun dimensi setiap saluran drainase. Biasanya saluran drainase berbentuk persegi, berbentuk trapesium maupun berbentuk segitiga. Data tersebut digunakan untuk mengetahui kapasitas saluran drainase.

#### **3. Penentuan debit dan area genangan**

Dengan menghitung selisih antara debit rencana dengan kapasitas eksisting dapat diketahui debit genangan. Perhitungan tersebut juga dapat mengetahui area genangan.

#### **4. Digitasi peta**

Data spatial (peta) yang masih berupa hardcopy dirubah dalam bentuk digital dengan cara menggunakan Metode digitasi dilakukan dengan memanfaatkan sofware autocad yang dalam studi ini penyusun menggunakan sofware autocad map 2004, software ini digunakan karena dapat membangun topologi dan mengirim (export) data agar dapat ditampilkan kedalam sofware arcview.

UNIVERSITY OF TORONTO LIBRARIES

ingyenes statisztikai szolgálat - címkék megtalálásához, ami nemrémorébbet adhat.

: *judicial*

gelehrte etablieren

anteriorly gray faded down with melanophores becoming yellowish yellow  
anteriorly yellow down with some scattered melanophores which are  
scattered in the mesopeltis which appear yellowish yellow posteriorly  
which appear brownish yellow down with scattered melanophores which  
are scattered in the mesopeltis which appear yellowish yellow posteriorly

californicus stellata

quae licet nihil impetrare datur etiam nullorum generum nulliusque regulae parvoq[ue] motusque domesticis ligatis; actinodros canticis sonibus regimur; secundum annua et bienniaq[ue] indutisq[ue] latus nascitur et in usq[ue] adhuc non quatenus

responding stimuli not fitted maintains it. 2

Other readings 4

## **5 Penentuan informasi daerah genangan**

Proses tumpang susun menggunakan software arcview 3.3. Dalam proses ini peta yang telah memiliki koordinat yang sama akan ditumpang susun ( overlay ). Peta tersebut meliputi peta administrasi, peta tata guna lahan, peta saluran drainase dan peta genangan sehingga dapat diperoleh informasi daerah genangan.

## **6. Perencanaan dimensi saluran drainase**

Perencanaan dimensi daerah genangan berdasarkan dari informasi daerah genangan yang ada. sehingga dapat dilakukan perbaikan dimensi saluran drainase.

### **3.2.5 Kesimpulan dan saran**

kesimpulan dan saran akan diketahui area genangan air sehingga dapat direncanakan perbaikan saluran drainase dengan menggunakan aplikasi SIG. Hal ini dapat dijadikan sebagai rekomendasi terhadap perencanaan saluran drainase di Kelurahan Sumbersari Kecamatan Lowokwaru dan Kelurahan Karangbesuki Kecamatan Sukun Kota Malang.

asgörning datorb lärordet i samband med

esponentiell författningsform (E.E) vid en matematisk modellering

(Ljubljana) medan den första delen gäller tillämpningar i teknik och den andra delen är om att utveckla matematiskt modellering. Den första delen handlar om att utveckla matematiskt modellering för att lösa tekniska problem. Den andra delen handlar om att utveckla matematiskt modellering för att lösa tekniska problem.

## **BAB IV**

### **DATA WILAYAH PERENCANAAN**

#### **4.1 Gambaran Umum Kelurahan Sumbersari dan Kelurahan Karangbesuki**

##### **4.1.1 Batas Wilayah Kelurahan Sumbersari dan Kelurahan Karangbesuki**

Kelurahan Sumbersari dan Kelurahan Karangbesuki merupakan dua kelurahan yang bersebelahan dari Kecamatan yang berbeda di wilayah Kota Malang yang terletak di sebelah barat daya Kota Malang. Secara administratif bagian wilayah Kelurahan Sumbersari dan Kelurahan Karangbesuki mempunyai batas – batas administratif sebagai berikut :

- Sebelah Utara : Kelurahan Ketawanggede
- Sebelah Timur : Kelurahan Gadingkasri dan Kelurahan Oro-oro dowo/  
Kelurahan Penanggungan
- Sebelah Selatan : Kelurahan Pisangcandi dan Kelurahan Gadingkasri
- Sebelah Barat : Desa Karangwidoro

*(Gambar 4.1 Peta Administrasi di lampiran)*

##### **4.1.2 Penggunaan Lahan**

###### **4.1.2.1 Kelurahan Sumbersari**

Kelurahan Sumbersari mempunyai luas wilayah 142,8 Ha. Luas Tata guna lahan di kelurahan Sumbersari dapat diketahui antara lain :

Tabel 4.1 Luas tiap-tiap peruntukan lahan di Kelurahan Sumbersari

No.	Peruntukan Lahan	Luas (Ha)
1.	Tanah Sawah	1
2.	Perkarangan/bangunan/emplesement	8,24
3.	Lapangan olahraga	25,59
4.	Pemakaman	49,59
5.	Masjid/Mushola/Langgar	8,081
6.	Sarana Pendidikan	50
7.	Sarana Kesehatan	0,3
	Jumlah	142,8

*(Sumber : Monografi Kelurahan Sumbersari 2008)*

## VI. 例題

(n)	Sample number	Sample name
1		
15,4	15,4	Amorphous carbon, carbonyl groups
25,25	25,25	Graphite, oxygenated
27,21	27,21	Graphite
180,8	180,8	Graphite, hydroxylated
0,8	0,8	Graphite, mineral
1,0	1,0	Graphite, potassium
3,044	3,044	Graphite, natural

#### **4.1.2.2 Kelurahan Karangbesuki**

Kelurahan Karangbesuki mempunyai luas willyah 503,985 Ha. Luas Tata guna lahan di kelurahan Karangbesuki dapat diketahui antara lain :

Tabel 4.2 Luas tiap-tiap peruntukan lahan di Kelurahan Karangbesuki

No.	Peruntukan Lahan	Luas (Ha)
1.	Tegal/kebun	175,394
2.	Perkarangan/bangunan/emplesement	8,24
3.	Pemakaman	164,301
4.	Masjid/Mushola/Langgar	106,27
5.	Gereja	48,23
6.	Balai RT/RW	0,2
7	Sarana Pendidikan	0,3
8.	Sarana Kesehatan	0,4
9.	Sarana Sosial	0,65
	Jumlah	503,985

(Sumber : Monografi Kelurahan Karangbesuki 2008)

(Gambar 4.2 Peta Tata guna lahan lampiran)

#### **4.1.3 Topografi**

Kelurahan Sumbersari secara topografis berada pada wilayah dengan ketinggian 440 meter dari permukaan laut. Kelurahan Karangbesuki secara topografis berada pada wilayah dengan ketinggian 460 meter dari permukaan laut. Sebagian besar Kelurahan Sumbersari memiliki kemiringan pola menurun ke arah selatan dan timur, sebagai akibat dari posisi geografinya dimana terdapat Kali Kuthuk di sepanjang Jl. Terusan Sigura-gura sehingga sebagian morfologi tanah miring ke arah Selatan. Kemiringan ke arah timur disebabkan adanya percabangan Kali Kuthuk di sebelah timur sekaligus merupakan perbatasan dengan Kelurahan Penanggungan. Sedangkan Kelurahan Karangbesuki memiliki kemiringan pola menurun ke arah timur dan selatan, sebagai akibat dari posisi geografinya dimana terdapat Kali Metro di sepanjang jalan candi sehingga sebagian morfologi tanah miring ke arah selatan. Kemiringan ke arah timur disebabkan adanya Kali Kuthuk di sebelah Timur sekaligus merupakan perbatasan dengan Kelurahan Sumbersari.

(Gambar 4.3 Peta Topografi lampiran)

### Georgian Art in America

you'll call 280,000 dogs and begin your bloodbath right now!

Final meeting before the 1st August 2010 deadline for submission of the central funding grant

Überprüfung der Ausführungen des Modells und Umfrageergebnisse zum Einkauf

Country	Geographic Area	Population	Share of Global Population
China	East Asia	1400 million	29%
India	South Asia	1300 million	26%
United States	North America	328 million	6%
Brazil	Latin America	208 million	4%
Germany	Europe	83 million	2%
United Kingdom	Europe	66 million	1%
Japan	East Asia	126 million	2%
Russia	Central Europe and Russia	144 million	3%
Australia	Oceania	25 million	0.5%
Canada	North America	37 million	0.7%
South Africa	Sub-Saharan Africa	57 million	1%
Iran	Middle East	82 million	1.6%
Spain	Europe	46 million	0.9%
Italy	Europe	58 million	1.1%
Ukraine	Central Europe and Russia	45 million	0.9%
Poland	Central Europe and Russia	38 million	0.7%
Netherlands	Europe	17 million	0.3%
Greece	Europe	10 million	0.2%
Portugal	Europe	10 million	0.2%
Belgium	Europe	11 million	0.2%
Switzerland	Europe	8 million	0.1%
Denmark	Europe	5 million	0.1%
Norway	Europe	5 million	0.1%
Iceland	Europe	3 million	0.06%
Malta	Europe	0.4 million	0.01%

and the world's first A-frame residential building.

(estimated market value will start £4 million)

Digitized by srujanika@gmail.com

asquid distribution along abiotic gradients across biogeographic realms

„Innenstadt“ verlor nicht gegen „Weststadt“ oder „Nordwest“ zugehörige

(numerical integration with E.4 method)

#### **4.1.4 Daerah Pengaliran Sungai**

Wilayah Kelurahan Sumbersari dan Kelurahan Karangbesuki dilalui sungai-sungai kecil, antara lain Sungai Kuthuk dan Sungai Metro yang mengalir dari arah Utara ke Selatan melalui wilayah Kelurahan Sumbersari dan Kelurahan Karangbesuki bagian Selatan. Selain itu Sungai Kuthuk yang mengalir dari arah Utara melalui perbatasan antara Kelurahan Sumbersari dan Kelurahan Karangbesuki. Sungai Metro yang mengalir dari arah Barat ke Timur kemudian ke arah Selatan dan bermuara di Sungai Kuthuk / Sungai Sukun. Berdasarkan daerah tangkapan air hujan, daerah aliran sungai yang ada di Kelurahan Sumbersari dan Kelurahan Karangbesuki terdiri dari dua DPS yaitu DPS Sukun dan DPS Metro yang melayani Kelurahan Sumbersari dan Kelurahan Karangbesuki.

#### **4.1.5 Iklim**

Kelurahan Sumbersari dan Kelurahan Karangbesuki memiliki iklim tropis sebagaimana lainnya dengan daerah lainnya yang ada di Kota Malang. Untuk Kelurahan Sumbersari suhu udara rata-rata setahun adalah  $25^{\circ}\text{C}$  -  $32^{\circ}\text{C}$  sedangkan Kelurahan Karangbesuki  $22^{\circ}\text{C}$  -  $32^{\circ}\text{C}$ .

Curah hujan rata – rata tahunan Untuk Kelurahan Sumbersari mencapai 1.833 mm dan Kelurahan Karangbesuki mencapai 180 mm.

### **4.2 Data Hidrologi**

#### **4.2.1 Data curah hujan**

Dalam studi ini data curah hujan yang dipergunakan adalah data curah hujan dari tiga stasiun yaitu Stasiun Universitas Brawijaya, Stasiun Sukun dan Stasiun Ciliwung. Data curah hujan tersebut diambil selama 10 tahun, dari tahun 1999 sampai dengan tahun 2008. Data curah hujan tersebut digunakan untuk mengetahui debit limpahan air hujan. Data curah hujan masing – masing stasiun selama 10 tahun dapat dilihat pada tabel berikut ini:

• **ПРИМЕРЫ ПРИМЕНЕНИЯ**  
• **ПРИМЕРЫ ПРИМЕНЕНИЯ**

#### REFERENCES AND NOTES

Tabel 4.3 Stasiun Universitas Brawijaya

No.	TAHUN	Jan	Feb	Mar	Apr	Mei	Jun	Jul	Agt	Sep	Okt	Nop	Des	JML		
														CH	HH	HM
1	1999	432	225	335	210	37	64	48	9	23	187	386	345	2301		
2	2000	27	24	25	18	11	5	2	1	2	16	21	18	170		
2	2000	14	26	13	17	23	23	25	9	5	23	20	15	26		
2	2000	277	285	285	212	205	54	3	3	84	221	332	171	2132		
3	2001	79	55	53	48	54	40	3	3	23	45	57	92	92		
3	2001	409	190	321	78	95	169	26	-	10	201	195	220	1914		
4	2002	21	21	23	14	4	15	4	-	2	8	17	20	149		
4	2002	58	35	59	21	40	55	21	-	9	57	40	44	59		
4	2002	417	421	266	217	-	-	-	-	-	100	-	-	1421		
5	2003	278	109	306	108	56	3	1	-	101	18	159	262	1401		
5	2003	19	10	16	9	4	2	1	-	3	6	21	20	111		
6	2004	88	32	70	36	28	2	1	-	57	13	30	84	88		
6	2004	92	98	67	64	-	-	-	-	-	100	-	-	100		
7	2005	278	109	306	108	56	3	1	-	101	18	159	262	1401		
7	2005	22	21	20	3	13	3	1	-	3	2	18	23	129		
7	2005	51	60	200	32	21	7	10	-	20	21	70	57	200		
8	2006	103	131	233	105	14	75	9	58	-	64	176	331	1299		
8	2006	14	15	22	13	2	7	4	3	-	7	9	26	122		
8	2006	21	24	33	32	8	45	4	30	-	25	71	51	71		
9	2007	335	403	219	173	182	15	-	4	-	86	379	1798			
9	2007	20	18	17	15	10	2	-	2	-	8	22	114			
9	2007	61	40	50	61	40	14	-	3	-	40	85	85			
10	2008	87	274	359	397	53	55	7	-	18	78	242	270	1840		
10	2008	8	19	20	18	6	7	2	-	1	26	19	22	148		
10	2008	53	42	70	42	33	24	5	-	18	27	42	45	70		
10	2008	75	78	56	29	31	6	-	9	3	22	155	235	699		
10	2008	18	24	20	12	6	3	-	5	1	10	19	16	134		
10	2008	6	6	6	20	4	-	2	3	6	6	56	73	73		

(Sumber: Kantor Badan Meteorologi dan Geofisika, Karangploso)

enfriénd antropología nómada. La libertad

погодненій місцевості та земельної ділянки може викликати

Tabel 4.4 Stasiun Sukun

No.	TAHUN	Jan	Feb	Mrt	Apr	Mei	Jun	Jul	Agt	Sep	Okt	Nop	Des	J M L	
1	1999	CH	349	252	280	166	14	22	60	5	58	101	538	330	2175
	HH	14	14	14	8	3	2	2	1	2	9	21	12	102	
	HM	70	60	43	39	7	17	42	5	32	40	108	72	108	
2	2000	CH	259	209	190	231	128	91	-	7	91	342	525	108	2181
	HH	15	11	13	11	8	3	-	1	4	10	15	6	97	
	HM	45	73	67	57	55	50	-	7	40	70	100	40	100	
3	2001	CH	538	220	332	188	77	222	65	-	99	456	236	165	2598
	HH	17	13	12	7	2	10	6	-	3	12	7	6	95	
	HM	80	36	86	42	39	65	23	-	75	112	70	50	112	
4	2002	CH	362	374	504	323	124	-	-	-	-	247	713	2647	
	HH	16	17	16	13	6	-	-	-	-	-	9	20	97	
	HM	55	48	105	58	50	-	-	-	-	-	65	98	105	
5	2003	CH	355	312	283	106	81	45	-	-	-	17	375	742	2316
	HH	12	11	17	9	7	1	-	-	-	-	2	13	20	92
	HM	120	114	50	59	36	45	-	-	-	-	13	89	107	120
6	2004	CH	581	618	800	105	59	1	12	-	59	21	548	541	3345
	HH	17	18	21	5	9	1	1	-	4	2	15	20	113	
	HM	76	106	120	44	24	1	12	-	31	14	77	87	120	
7	2005	CH	374	398	457	179	6	118	22	10	32	132	309	564	2601
	HH	13	13	18	11	1	8	4	1	5	11	10	26	121	
	HM	63	92	133	36	6	37	16	10	24	35	176	119	176	
8	2006	CH	644	364	460	234	160	22	-	-	-	-	103	467	2454
	HH	21	16	16	11	11	2	-	-	-	-	4	17	98	
	HM	130	86	108	50	39	13	-	-	-	-	70	111	130	
9	2007	CH	113	392	385	455	41	75	5	-	-	-	1	15	20
	HH	7	18	16	18	4	5	1	-	-	-	20	82	152	
	HM	31	48	83	74	26	35	5	-	-	-	40	263	307	
10	2008	CH	329	295	590	93	62	51	-	-	-	1	6	13	92
	HH	12	13	22	5	4	2	-	-	-	-	40	82	85	
	HM	101	84	130	43	27	41	-	-	-	-	-	-	130	

(Sumber: Kantor Badan Meteorologi dan Geofisika, Karangplosos)

the first time, and the author's name is given in the title.

Tabel 4.5 Stasiun Ciliwung

No.	TAHUN	CH	Jan	Feb	Mrt	Apr	Mei	Jun	Jtl	Agt	Sep	Okt	Nop	Des	JML
			HH												
1	1999	481	170	307	175	38	46	53	25	0	192	341	399	2227	
		HH	16	10	13	7	2	4	3	1	0	8	17	17	98
2	2000	213	292	187	300	114	33	-	45	57	263	346	68	125	125
		CH	10	15	13	11	5	3	-	2	3	12	13	7	94
3	2001	430	114	364	119	75	141	35	-	43	31	57	83	28	83
		CH	13	9	11	8	3	9	3	-	-	13	11	2	82
4	2002	365	259	304	185	41	-	-	-	-	23	76	402	1655	
		CH	9	19	15	15	4	-	-	-	-	1	11	16	90
5	2003	300	273	348	76	89	31	-	-	-	9	358	360	1844	
		CH	16	20	12	4	4	2	-	-	-	1	15	15	89
6	2004	151	517	550	23	169	5	-	-	-	18	447	328	2208	
		CH	19	21	19	3	7	2	-	-	-	3	15	19	108
7	2005	99	97	167	15	94	3	-	-	-	10	77	59	167	
		CH	12	7	14	10	3	5	1	1	5	4	8	22	92
8	2006	434	441	402	207	248	3	-	-	-	-	68	314	2117	
		CH	22	18	17	7	11	1	-	-	-	6	20	102	
9	2007	67	104	79	75	40	3	-	-	-	-	26	40	104	
		CH	37	316	514	394	92	41	5	20	-	10	130	352	1911
10	2008	23	85	118	60	80	20	5	20	-	10	43	80	118	
		CH	12	21	21	8	5	1	-	-	2	4	13	13	100
		HH	90	48	95	31	35	10	-	-	27	6	27	50	95

(Sumber: Kantor Badan Meteorologi dan Geofisika, Karangploso)

Keterangan:

CH : Jumlah curah hujan dalam 1 bulan (mm)

HH : Jumlah hari hujan dalam 1 bulan (hari)

HM : Curah hujan tertinggi dalam bulan tersebut

174 : Censo polaco (censu Póñiżnego) opublikowany

Bill : You may now leave (you)

អាសយដ្ឋាន

(Онлайн-уроки, видео-рекомендации по изучению языка)

#### **4.2.2 Jumlah penduduk**

Penduduk merupakan salah satu faktor penting yang digunakan dalam melakukan perhitungan intensitas hujan. Dengan diketahuinya jumlah penduduk yang akan dilayani dan proyeksi penduduk beberapa tahun ke depan maka perencanaan tersebut akan lebih mudah diperhitungkan. Data jumlah penduduk Kelurahan Sumbersari dan Kelurahan Karangbesuki tahun 2004 – 2008 dapat dilihat pada Tabel 4.6 dan 4.7 dan Data fasilitas dapat dilihat pada Tabel 4.8 dan 4.9.

**Tabel 4.6 Jumlah penduduk Kelurahan Sumbersari tahun 2004 – 2008**

No	Tahun	Jumlah penduduk (jiwa)
1	2004	13.224
2	2005	13.359
3	2006	13.535
4	2007	13.791
5	2008	14.146

(Sumber : Kelurahan Sumbersari dalam angka 2004 - 2008)

Jumlah Kepala keluarga (KK) untuk Kelurahan Sumbersari adalah 2.967

(Monografi Kelurahan Sumbersari Semester II tahun 2008, Halaman 16)

**Tabel 4.7 Jumlah penduduk Kelurahan Karangbesuki tahun 2004 – 2008**

No	Tahun	Jumlah penduduk (jiwa)
1	2004	16.362
2	2005	16.573
3	2006	16.927
4	2007	17.374
5	2008	17.893

(Sumber : Kelurahan Karangbesuki dalam angka 2004 - 2008)

Jumlah Kepala Keluarga (KK) untuk Kelurahan Karangbesuki adalah 6.378

(Monografi Kelurahan Karangbesuki Semester II tahun 2008, Halaman 16)

Tabel 4.8 Jumlah Fasilitas Kelurahan Sumbersari tahun 2008

Pendidikan		Kesehatan		Peribadatan		Industri Usaha/Perkantoran	
Fasilitas	Jumlah	Fasilitas	Jumlah	Fasilitas	Jumlah	Fasilitas	Jumlah
TK	6	Poliklinik	1	Masjid	9	Rumah makan	64
SD	5	Puskesmas Pembantu	1	Mushola	20	Kantor	5
SLTP	2	Apotek	1				
SMU	3						
Perguruan Tinggi	4						
<b>Total</b>	<b>20</b>	<b>Total</b>	<b>3</b>	<b>Total</b>	<b>29</b>	<b>Total</b>	<b>69</b>

Tabel 4.9 Jumlah Fasilitas Kelurahan Karangbesuki tahun 2008

Pendidikan		Kesehatan		Industri Usaha/Perkantoran	
Fasilitas	Jumlah	Fasilitas	Jumlah	Fasilitas	Jumlah
TK	8	Puskesmas Pembantu	1	Rumah makan	54
SD	5			Industri	84
SLTP	-			Kantor	1
SMU	-				
Perguruan Tinggi	4				
<b>Total</b>	<b>17</b>	<b>Total</b>	<b>3</b>	<b>Total</b>	<b>139</b>

#### 4.2.3 Data Pemakaian Air

Jumlah pemakaian air ditentukan berdasarkan literatur yang didapat dengan disesuaikan terhadap kondisi daerah perencanaan. untuk wilayah Kelurahan Sumbersari Kecamatan Lowokwaru dan Kelurahan Karangbesuki

Логік	ІД	Форма	З	Позиція	Свд
Інформація	4				
ІМІ	-				
ІМІ	-			Інформація	1
ІД	2	Використання		Інформація	2
ІМІ	3	Використання	І	Інформація	3
ІІМІ	4	Використання	ІІ	Інформація	4
ІІІМІ	5	Використання	ІІІ	Інформація	5

Journal of Health Politics, Policy and Law, Vol. 35, No. 4, December 2010  
DOI 10.1215/03616878-35-4 © 2010 by The University of Chicago

Год	30	Лето	2	Лето	30	Лето	2
1900							
Баланс	4						
2000	2						
2010	5	Убыток	1				
		Баланс					
20	2	Баланс	1	Баланс	20	Баланс	2
ЛК	8	Баланс	1	Баланс	8	Баланс	8
Баланс	8	Баланс	1	Баланс	8	Баланс	8

Логотип Университета Ульяновска | Ульяновск | Ульяновская область | Россия | +7 (8422) 23-00-00

Kecamatan Sukun. Jumlah pemakaian air bersih penduduk di dua Kelurahan ini sebesar 170 lt/org/hr atau  $1.968 \cdot 10^6 \text{ m}^3/\text{org/dtk}$  (*Dirjen Cipta Karya, 2002*).

#### 4.3 Kondisi Eksisting Drainase

Permasalahan yang mendasar yang sering ditemui di lapangan adalah seperti yang terdapat pada tabel 4.10 berikut:

Tabel 4.10 Penyebab terjadinya genangan air di Kelurahan Sumbersari Kecamatan Lowokwaru dan Kelurahan Karangbesuki Kecamatan Sukun.

No	Nama Jalan	Penyebab Genangan
1.	Jl. Surabaya	• Salurannya terdapat endapan dan sedimen
2.	Jl. Raya Sumbersari	• Tanggul saluran yang lebih tinggi dari jalan.
3.	Jl. Bend. Sigura-gura	• Dimensi saluran terlalu kecil dan terdapat sampah disaluran
4.	Jl. Bend. Wlingi	• Dimensi saluran yang tidak mampu menampung debit limpasan dan buangan.
5.	Jl. Bend. Wonogiri	• Kapasitas saluran yang tidak mencukupi dan terdapat sampah-sampah dan pasir dalam saluran.
6.	Jl. Bend. Sutami	• Terdapat pasir dan material bangunan di dalam saluran
7.	Jl. Jakarta	• Dimensi saluran yang tidak mencukupi • Terdapat sampah-sampah di dalam saluran
8.	Jl. Bend. Sigura-gura	• Tidak jelas arah aliran, ada sedimen, perubahan bentuk saluran
9.	Jl. Raya Tidar	• Terjadi penyumbatan saluran disebabkan oleh sedimen dan sampah tumbuhan
10.	Jl. Raya Candi	• Terdapat pasir dan material bangunan di dalam saluran
11.	Jl. Tinambola	• Terjadi penyumbatan saluran disebabkan oleh sedimen dan sampah tumbuhan

(Sumber : Survei Lapangan)

Konkurrenzunternehmen sowie die Preispolitik der Konkurrenz ist zu untersuchen. Ein weiterer Faktor ist die Preispolitik der eigenen Firma. Der Preis kann durch die Kosten bestimmt werden, die für die Produktion und den Vertrieb benötigt werden. Ein weiterer Faktor ist die Nachfrage nach dem Produkt. Wenn die Nachfrage hoch ist, kann der Preis höher gesetzt werden. Ein weiterer Faktor ist die Wettbewerbssituation. Wenn es viele Konkurrenten gibt, muss der Preis niedriger sein, um die Konkurrenz abzuwehren.

### 3.3 Konkurrenzstrategien

Die Konkurrenzstrategien sind:

- Kostenführerschaft: Die Firma versucht, die Kosten so gering wie möglich zu halten, um einen Preisvorteil über die Konkurrenz zu erlangen.
- Differenzierung: Die Firma versucht, durch Qualitätsmerkmale oder Preisnachteile von anderen Firmen abzuheben.
- Markenpositionierung: Die Firma versucht, durch eine starke Markenpositionierung die eigene Firma von anderen Firmen abzuheben.
- Preispolitik: Die Firma versucht, durch Preisreduzierung die eigene Firma von anderen Firmen abzuheben.

Strategie	Beschreibung	Zielgruppe	Wert
• Kostenführerschaft	Die Firma versucht, die Kosten so gering wie möglich zu halten, um einen Preisvorteil über die Konkurrenz zu erlangen.	R. Kunden	1
• Differenzierung	Die Firma versucht, durch Qualitätsmerkmale oder Preisnachteile von anderen Firmen abzuheben.	R. Konsumenten	2
• Markenpositionierung	Die Firma versucht, durch eine starke Markenpositionierung die eigene Firma von anderen Firmen abzuheben.	R. Besitzer Kleinstgeschäfte	3
• Preispolitik	Die Firma versucht, durch Preisreduzierung die eigene Firma von anderen Firmen abzuheben.	R. Besitz Warenhäuser	4
• Differenzierung	Die Firma versucht, durch Qualitätsmerkmale oder Preisnachteile von anderen Firmen abzuheben.	R. Besitzer Warenhäuser	5
• Markenpositionierung	Die Firma versucht, durch eine starke Markenpositionierung die eigene Firma von anderen Firmen abzuheben.	R. Besitzer Supermärkte	6
• Preispolitik	Die Firma versucht, durch Preisreduzierung die eigene Firma von anderen Firmen abzuheben.	R. Besitzer Supermärkte	7
• Differenzierung	Die Firma versucht, durch Qualitätsmerkmale oder Preisnachteile von anderen Firmen abzuheben.	R. Besitzer Supermärkte	8
• Markenpositionierung	Die Firma versucht, durch eine starke Markenpositionierung die eigene Firma von anderen Firmen abzuheben.	R. Besitzer Supermärkte	9
• Preispolitik	Die Firma versucht, durch Preisreduzierung die eigene Firma von anderen Firmen abzuheben.	R. Besitzer Supermärkte	10
• Differenzierung	Die Firma versucht, durch Qualitätsmerkmale oder Preisnachteile von anderen Firmen abzuheben.	R. Einzelhandel	11

(Quelle: Müller-Vadasy)

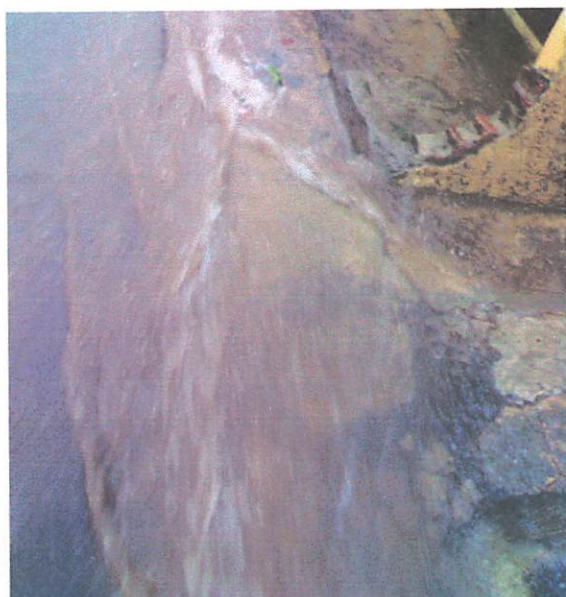
Foto area genangan dapat dilihat pada gambar berikut ini :



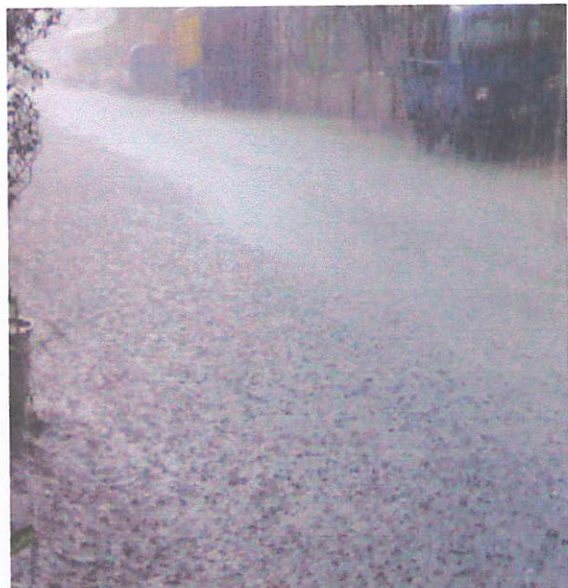
Jl. Bend. Sutami



Jl. Raya Sumbersari



Jl. Tinambola



Jl. Raya Candi

Gambar 4.2 Area genangan pada wilayah Kelurahan Sumbersari Kecamatan Lowokwaru dan Kelurahan Karangbesuki Kecamatan Sukun

(Sumber: Survei lapang tanggal 15 April 2009 pukul 14:25 )

#### 4.4 Data Saluran Drainase

Dalam perencanaan ini data sarana dan prasarana saluran drainase berupa nama, bentuk dan dimensi setiap saluran drainase. Data tersebut digunakan untuk menghitung kapasitas saluran drainase yang telah ada. Saluran drainase eksisting di Kelurahan Sumbersari Kecamatan Lowokwaru dan Kelurahan Karangbesuki Kecamatan Sukun berbentuk persegi dan trapesium. Nama, bentuk maupun dimensi saluran dapat dilihat pada Tabel 4.11 dan 4.12.

Tabel 4.11 Nama, bentuk dan dimensi saluran drainase eksisting Sumbersari

No	Nama saluran	Bentuk saluran	Dimensi saluran		
			b1 (m)	b2 (m)	h (m)
1	Sumbersari kanan (depan Gg I) primer	Segiempat	1,5	1,5	1,3
2	Terusan Sigura-gura barat kiri tersier	Segiempat	0,4	0,4	0,3
3	Sumbersari Gg I kiri sekunder	Segiempat	0,4	0,4	0,3
4	Terusan Sigura-gura barat kiri tersier	Segiempat	0,4	0,4	0,3
5	Sumbersari kanan (depan Gg II) primer	Segiempat	1,5	1,5	1,3
6	Sumbersari Gg II kiri sekunder	Segiempat	0,4	0,4	0,3
7	Terusan Sigura-gura barat kiri tersier	Segiempat	0,4	0,4	0,3
8	Sumbersari Gg III kiri sekunder	Segiempat	0,4	0,4	0,3
9	Sumbersari kanan (depan Gg III) primer	Segiempat	1,5	1,5	1,3
10	Terusan Sigura-gura barat kiri tersier	Segiempat	0,6	0,6	0,3
11	Sumbersari Gg IV kiri sekunder	Segiempat	0,4	0,4	0,3
12	Sumbersari Gg III kanan sekunder	Segiempat	0,4	0,4	0,3
13	Sumbersari Gg IV kiri sekunder	Segiempat	0,52	0,52	0,55
14	Terusan Sigura-gura barat kiri tersier	Segiempat	0,6	0,6	0,3
15	Sumbersari Gg IV kanan sekunder	Segiempat	0,4	0,4	0,3
16	Terusan Sigura-gura barat kiri sekunder	Segiempat	0,6	0,6	0,3
17	Bendungan Sigura-gura IV kiri primer	Segiempat	0,4	0,4	0,3
18	Sumbersari Gg IV kanan primer	Segiempat	0,4	0,4	0,3
19	Sumbersari kanan (depan Gg IV) primer	Segiempat	0,52	0,52	0,55
20	Bendungan Sigura-gura III kiri sekunder	Segiempat	0,4	0,4	0,3
21	Bendungan Sigura-gura III kiri tersier	Segiempat	0,4	0,4	0,3
22	Bendungan Sigura-gura kanan sekunder	Segiempat	0,55	0,55	0,45

23	Bendungan Sigura-gura kanan tersier	Segiempat	0,55	0,55	0,45
24	Terusan Sigura-gura kiri tersier	Segiempat	0,6	0,6	0,3
25	Bendungan Sigura-gura kanan	Trapesium	0,45	0,50	0,51
26	Bendungan Sigura-gura V kanan sekunder	Segiempat	0,4	0,4	0,3
27	Bendungan Sigura-gura V kiri sekunder	Segiempat	0,4	0,4	0,3
28	Bendungan Sigura-gura kanan	Trapesium	0,45	0,50	0,51
29	Gg Bendungan Batu jahe kiri sekunder	Segiempat	0,3	0,3	0,28
30	Terusan Bendungan Sigura-gura kanan primer	Segiempat	0,5	0,5	0,45
31	Gg Bendungan Sengguruh Kiri sekunder	Segiempat	0,5	0,5	0,45
32	Gg Bendungan Bening sekunder	Segiempat	0,3	0,3	0,28
33	Gg Bendungan Bening kiri sekunder	Segiempat	0,15	0,15	0,25
34	Gg Bendungan Jatiluhur kanan sekunder	Segiempat	0,39	0,39	0,45
35	Gg Bendungan Jatiluhur kiri sekunder	Segiempat	0,15	0,15	0,37
36	Bendungan Riam kanan tersier	Segiempat	0,15	0,15	0,25
37	Bendungan Tangga kiri sekunder	Segiempat	0,15	0,15	0,37
38	Bendungan Tangga kiri primer	Segiempat	0,39	0,39	0,45
39	Bendungan Kedung Ombo kanan sekunder	Segiempat	0,15	0,15	0,25
40	Bendungan Kedung Ombo kiri sekunder	Segiempat	0,15	0,15	0,37
41	Bendungan Darma kiri primer	Segiempat	0,39	0,39	0,45
42	Bendungan Sempor kiri primer	Segiempat	0,39	0,39	0,45
43	Bendungan Riam kanan (kiri)	Segiempat	0,15	0,15	0,25
44	Bendungan Wlingi kiri primer	Segiempat	0,39	0,39	0,45
45	Bendungan Riam Kanan (kiri)	Segiempat	0,15	0,15	0,25
46	Bendungan Wlingi kanan primer	Segiempat	0,15	0,15	0,37
47	Bendungan Wonorejo kanan sekunder	Segiempat	0,39	0,39	0,45
48	Bendungan Wonogiri kiri primer	Segiempat	0,39	0,39	0,45
49	Bendungan Wonorejo kiri sekunder	Segiempat	0,15	0,15	0,37
50	Bendungan Wlingi kanan primer	Segiempat	0,15	0,15	0,37
51	Bendungan Sutami kanan	Segiempat	0,3	0,3	0,4
52	Bendungan Wonogiri kiri primer	Segiempat	0,39	0,39	0,45
53	Bendungan Wonorejo kiri primer	Segiempat	0,5	0,5	0,45
54	Benungan Wonogiri kanan sekunder	Segiempat	0,27	0,27	0,32
55	Bendungan Sutami kanan	Segiempat	0,3	0,3	0,4
56	Bendungan Jatigede kiri sekunder	Segiempat	0,27	0,27	0,32
57	Bendungan Sutami kiri	Trapesium	0,26	0,39	0,65
58	Sumbersari Gg V kanan sekunder	Segiempat	0,22	0,22	0,56
59	Gombong kanan primer	Segiempat	0,45	0,45	0,5

31.0	52.0	22.0	passiva	Hannganggaen Sibut-sbut panen laeche	45.
1.0	5.0	0.0	passiva	Larutan sibut-sbut panen laeche	46.
16.0	67.0	23.0	passiva	Bonsu/bonus Sibut-sbut panen	47.
2.0	1.0	1.0	relevansi	Bangsuguan Sibut-sbut panen	48.
3.0	4.0	1.0	relevansi	Bangsuguan Sibut-sbut panen	49.
5.0	4.0	1.0	relevansi	Bangsuguan Sibut-sbut panen	50.
6.0	4.0	1.0	relevansi	Bangsuguan Sibut-sbut panen	51.
12.0	66.0	23.0	relevansi	Bangsuguan Sibut-sbut panen	52.
31.0	5.0	0.0	relevansi	Gp bandungan Gp msp Tm	53.
24.0	1.0	5.0	relevansi	Fasilitator bandungan Sibut-sbut	54.
31.0	1.0	2.0	relevansi	Gp pendudukan Kt	55.
32.0	1.0	2.0	relevansi	Gp pendudukan gaji kspn	56.
21.0	51.0	23.0	relevansi	Gp pendudukan bandung tgl sekarang	57.
22.0	67.0	23.0	relevansi	Gp pendudukan pengguna panen	58.
33.0	21.0	51.0	relevansi	Gp pendudukan pengguna panen	59.
32.0	21.0	51.0	relevansi	Hannganggaen Kt bandung tgl sekarang	60.
21.0	21.0	21.0	relevansi	Hannganggaen Kt bandung tgl sekarang	61.
31.0	96.0	0.0	relevansi	Hannganggaen Kt bandung tgl sekarang	62.
32.0	51.0	21.0	relevansi	Hannganggaen Kt bandung tgl sekarang	63.
33.0	21.0	21.0	relevansi	Hannganggaen Kt bandung tgl sekarang	64.
34.0	21.0	21.0	relevansi	Hannganggaen Kt bandung tgl sekarang	65.
35.0	21.0	21.0	relevansi	Hannganggaen Kt bandung tgl sekarang	66.
36.0	21.0	21.0	relevansi	Hannganggaen Kt bandung tgl sekarang	67.
37.0	21.0	21.0	relevansi	Hannganggaen Kt bandung tgl sekarang	68.
38.0	21.0	21.0	relevansi	Hannganggaen Kt bandung tgl sekarang	69.
39.0	21.0	21.0	relevansi	Hannganggaen Kt bandung tgl sekarang	70.
40.0	21.0	21.0	relevansi	Hannganggaen Kt bandung tgl sekarang	71.
41.0	21.0	21.0	relevansi	Hannganggaen Kt bandung tgl sekarang	72.
42.0	21.0	21.0	relevansi	Hannganggaen Kt bandung tgl sekarang	73.
43.0	21.0	21.0	relevansi	Hannganggaen Kt bandung tgl sekarang	74.
44.0	21.0	21.0	relevansi	Hannganggaen Kt bandung tgl sekarang	75.
45.0	21.0	21.0	relevansi	Hannganggaen Kt bandung tgl sekarang	76.
46.0	21.0	21.0	relevansi	Hannganggaen Kt bandung tgl sekarang	77.
47.0	21.0	21.0	relevansi	Hannganggaen Kt bandung tgl sekarang	78.
48.0	21.0	21.0	relevansi	Hannganggaen Kt bandung tgl sekarang	79.
49.0	21.0	21.0	relevansi	Hannganggaen Kt bandung tgl sekarang	80.
50.0	21.0	21.0	relevansi	Hannganggaen Kt bandung tgl sekarang	81.
51.0	21.0	21.0	relevansi	Hannganggaen Kt bandung tgl sekarang	82.
52.0	21.0	21.0	relevansi	Hannganggaen Kt bandung tgl sekarang	83.
53.0	21.0	21.0	relevansi	Hannganggaen Kt bandung tgl sekarang	84.
54.0	21.0	21.0	relevansi	Hannganggaen Kt bandung tgl sekarang	85.
55.0	21.0	21.0	relevansi	Hannganggaen Kt bandung tgl sekarang	86.
56.0	21.0	21.0	relevansi	Hannganggaen Kt bandung tgl sekarang	87.
57.0	21.0	21.0	relevansi	Hannganggaen Kt bandung tgl sekarang	88.
58.0	21.0	21.0	relevansi	Hannganggaen Kt bandung tgl sekarang	89.
59.0	21.0	21.0	relevansi	Hannganggaen Kt bandung tgl sekarang	90.

60	Veteran dalam kiri primer	Segiempat	0,45	0,45	0,5
66	Gombong kiri primer	Segiempat	0,45	0,45	0,5
67	Bogor kanan	Segiempat	0,6	0,6	0,85
68	Sumbersari Gg VII kanan	Segiempat	0,4	0,4	0,6
69	Ambarawa kanan primer	Segiempat	0,4	0,4	0,6
70	Terusan Ambarawa kanan	Segiempat	0,4	0,4	0,6
71	Terusan Ambarawa kanan	Segiempat	0,4	0,4	0,6
72	Gg Surabaya dalam kanan	Segiempat	0,4	0,4	0,6
73	Surabaya kiri primer	Segiempat	0,5	0,5	0,3
74	Surakarta kiri primer	Segiempat	0,4	0,4	0,6
75	Salatiga kiri primer	Segiempat	0,6	0,6	0,55
76	Salatiga kanan primer	Trapesium	0,3	0,6	0,55
77	Magelang kanan primer	Trapesium	0,3	0,6	0,55
78	Semarang kanan primer	Segiempat	0,22	0,22	0,55
79	Surabaya kiri primer	Trapesium	0,27	0,50	0,43
80	Blitar kanan sekunder	Segiempat	0,22	0,22	0,55
81	Surabaya kiri primer	Trapesium	0,27	0,50	0,43
82	Surabaya kiri	Trapesium	0,27	0,50	0,43
83	Surabaya dalam kanan sekunder	Trapesium	0,3	0,6	0,55

(Sumber : Dinas Kimprawil Kota Malang dan survei lapangan)

Tabel 4.12 Nama, bentuk dan dimensi saluran drainase eksisting Karangbesuki

No	Nama saluran	Bentuk saluran	Dimensi saluran		
			b1 (m)	b2 (m)	h (m)
1	Cemara Tidar kiri sekunder	Segiempat	0,25	0,25	0,3
2	Cemara Tidar kanan sekunder	Segiempat	0,23	0,23	0,26
3	Raya Candi kanan tersier	Segiempat	0,25	0,25	0,18
4	Raya Candi kanan sekunder	Segiempat	0,35	0,35	0,4
5	Raya Candi kanan primer	Segiempat	0,48	0,48	0,3
6	Candi 5D kiri tersier	Segiempat	0,25	0,25	0,18
7	Candi kanan tersier	Segiempat	0,25	0,25	0,35
8	Candi kiri tersier	Segiempat	0,14	0,14	0,35
9	Candi 5D kiri tersier	Segiempat	0,25	0,25	0,18
10	Candi 5D kanan tersier	Segiempat	0,25	0,25	0,18
11	Raya Candi kiri primer	Segiempat	0,4	0,4	0,3
12	Raya Candi 5C kiri primer	Segiempat	0,35	0,35	0,4
13	Candi 5D kiri sekunder	Segiempat	0,25	0,25	0,18
14	Raya Candi kanan primer	Segiempat	0,48	0,48	0,3
15	Raya Candi kanan	Segiempat	0,48	0,48	0,3
16	Raya Candi kiri primer	Segiempat	0,4	0,4	0,3
17	Raya Candi kiri	Segiempat	0,4	0,4	0,3

18	Candi 5C kiri sekunder	Segiempat	0,35	0,35	0,4
19	Candi 5C kiri	Segiempat	0,35	0,35	0,4
20	Candi 5D kanan tersier	Segiempat	0,14	0,14	0,35
21	Candi 5D kanan	Segiempat	0,14	0,14	0,35
22	Candi 5D kanan	Segiempat	0,14	0,14	0,35
23	Candi 5C kiri sekunder	Segiempat	0,35	0,35	0,4
24	Candi 5B kiri tersier	Segiempat	0,19	0,19	0,23
25	Candi 5B kiri	Segiempat	0,19	0,19	0,23
26	Candi 5B kiri	Segiempat	0,19	0,19	0,23
27	Candi kanan sekunder	Segiempat	0,3	0,3	0,4
28	Candi 5B kanan sekunder	Segiempat	0,17	0,17	0,25
29	Candi 5A kiri sekunder	Segiempat	0,25	0,25	0,35
30	Candi 5A kiri	Segiempat	0,25	0,25	0,35
31	Candi kanan sekunder	Segiempat	0,3	0,3	0,4
32	Candi 5A kanan	Segiempat	0,15	0,15	0,25
33	Candi kiri sekunder	Segiempat	0,26	0,26	0,24
34	Candi kiri tersier	Segiempat	0,26	0,26	0,24
35	Bendungan Palasari kiri tersier	Segiempat	0,29	0,29	0,3
36	Bendungan Palasari kanan tersier	Segiempat	0,25	0,25	0,4
37	Sunan Kalijaga kanan tersier	Segiempat	0,15	0,15	0,25
38	Sunan Kalijaga kiri tersier	Segiempat	0,15	0,15	0,25
39	Sunan Kalijaga kiri sekunder	Segiempat	0,3	0,3	0,3
40	Sunan Kalijaga kiri primer	Segiempat	0,4	0,4	0,3
41	Terusan Sigura-gura kanan	Segiempat	0,49	0,49	0,39
42	Terusan Sigura-gura kanan	Segiempat	0,49	0,49	0,39
43	Terusan Sigura-gura kiri	Trapesium	0,6	0,6	0,3
44	Terusan Sigura-gura blok D kiri sekunder	Segiempat	0,25	0,25	0,3
45	Terusan Sigura-gura blok C kanan tersier	Segiempat	0,23	0,23	0,26
46	Terusan Sigura-gura blok A kanan sekunder	Segiempat	0,25	0,25	0,31
47	Terusan Sigura-gura blok B kanan tersier	Segiempat	0,25	0,25	0,24
48	Terusan Sigura-gura blok D kiri sekunder	Segiempat	0,25	0,25	0,3
49	Terusan Sigura-gura blok C kanan	Segiempat	0,23	0,23	0,26
50	Terusan Sigura-gura blok A kanan	Segiempat	0,25	0,25	0,31
51	Terusan Sigura-gura blok B kanan	Segiempat	0,25	0,25	0,24
52	Terusan Sigura-gura blok D kiri	Trapesium	0,25	0,3	0,3
53	Terusan Sigura-gura blok C kanan	Trapesium	0,23	0,27	0,26
54	Terusan Sigura-gura blok F kanan	Trapesium	0,25	0,3	0,3
55	Terusan Sigura-gura blok H kanan	Trapesium	0,39	0,46	0,65
56	Raya Candi 3C kanan sekunder	Segiempat	0,42	0,42	0,3
57	Raya Candi 3D kanan primer	Segiempat	0,27	0,27	0,32



58	Raya Candi 3D kanan sekunder	Segiempat	0,27	0,27	0,32
59	Raya Candi 3A kanan primer	Segiempat	0,28	0,28	0,32
60	Raya Candi 3A kanan	Segiempat	0,28	0,28	0,32
61	Raya Candi 3C kanan tersier	Segiempat	0,42	0,42	0,3
62	Raya Candi 2A kiri tersier	Segiempat	0,25	0,25	0,24
63	Raya Candi 2A kanan tesier	Segiempat	0,25	0,25	0,31
64	Raya Candi 3B kanan primer	Segiempat	0,3	0,3	0,15
65	Raya Candi 3B kanan sekunder	Segiempat	0,2	0,2	0,15
66	Raya Candi 2 kanan primer	Segiempat	0,25	0,25	0,31
67	Raya Candi 3C kiri	Segiempat	0,42	0,42	0,3
68	Raya Candi 3E kanan tersier	Segiempat	0,15	0,15	0,23
69	Raya Candi 3E kanan	Segiempat	0,15	0,15	0,23
70	Raya Candi 3E kiri tersier	Segiempat	0,15	0,15	0,3
71	Raya Candi 3A kiri sekunder	Segiempat	0,28	0,28	0,3
72	Raya Candi 2 kanan tersier	Segiempat	0,19	0,19	0,27
73	Tidar Utara kiri primer	Segiempat	0,3	0,3	0,4
74	Tidar Utara kiri	Segiempat	0,3	0,3	0,4
75	Mandala Wangi kanan sekunder	Segiempat	0,25	0,25	0,3
76	Malino kiri primer	Segiempat	0,4	0,4	0,3
77	Kaluta kiri sekunder	Segiempat	0,25	0,25	0,35
78	Kaluta kanan sekunder	Segiempat	0,14	0,14	0,35
79	Simpang Tidar kiri sekunder	Segiempat	0,2	0,2	0,38
80	Tidar Sakti kanan primer	Segiempat	0,42	0,42	0,56
81	Tidar Sakti kiri primer	Segiempat	0,4	0,4	0,43
82	Simpang Tidar kiri sekunder	Segiempat	0,2	0,2	0,38
83	Tidar Sakti kiri primer	Segiempat	0,4	0,4	0,43
84	Tidar Sakti kanan	Segiempat	0,42	0,42	0,56
85	Simpang Tidar kiri sekunder	Segiempat	0,2	0,2	0,38
86	Simpang Tidar kiri	Segiempat	0,2	0,2	0,38
87	Simpang Tidar kiri	Segiempat	0,2	0,2	0,38
88	Tidar Sakti kanan primer	Segiempat	0,42	0,42	0,56
89	Tidar kiri	Segiempat	0,4	0,4	0,43
90	Latimojong Bawah primer	Segiempat	0,15	0,15	0,35
91	Meratus sekunder	Segiempat	0,2	0,2	0,38
92	Tidar kiri	Segiempat	0,4	0,4	0,43
93	Lauser kanan	Segiempat	0,42	0,42	0,56
94	Tidar Selatan kiri	Segiempat	0,4	0,4	0,32
95	Latimojong Bawah kiri sekunder	Segiempat	0,15	0,15	0,35
96	Lombo Batang kanan sekunder	Segiempat	0,19	0,19	0,23
97	Jayagiri kiri	Segiempat	0,42	0,42	0,56
98	Taman Agung kiri primer	Segiempat	0,26	0,26	0,24
99	Singgalang primer	Segiempat	0,49	0,49	0,39
100	Kinbalu sekunder	Segiempat	0,2	0,2	0,38

101	Tambora tersier	Segiempat	0,25	0,25	0,35
102	Soputan tersier	Segiempat	0,25	0,25	0,35
103	Soputan kiri tersier	Segiempat	0,25	0,25	0,35
104	Kaluta kiri tersier	Segiempat	0,14	0,14	0,35
105	Lokon kanan tersier	Segiempat	0,36	0,36	0,37
106	Soputan kiri tersier	Segiempat	0,26	0,26	0,24
107	Simpang Tambora kiri primer	Segiempat	0,42	0,42	0,3
108	Tambora kiri primer	Segiempat	0,42	0,42	0,3
109	Simpang Tinambola kanan primer	Segiempat	0,42	0,42	0,32
110	Simpang Tambora kiri primer	Segiempat	0,42	0,42	0,3
111	Simpang Tinambola kiri primer	Segiempat	0,42	0,42	0,32
112	Soputan kanan tersier	Segiempat	0,22	0,22	0,38
113	Terusan Tinambola kanan sekunder	Segiempat	0,2	0,2	0,38
114	Simpang Tinambola kanan primer	Segiempat	0,42	0,42	0,32
115	Lokon kiri tersier	Segiempat	0,3	0,3	0,3
116	Tambora kiri primer	Segiempat	0,42	0,42	0,3
117	Simpang Tinambola kiri primer	Segiempat	0,42	0,42	0,32
118	Tinambola kiri tersier	Segiempat	0,5	0,5	0,3
119	Klabat kanan	Segiempat	0,4	0,4	0,3
120	Klabat kiri tersier	Segiempat	0,26	0,26	0,24
121	Lokon kanan tersier	Segiempat	0,3	0,3	0,3

(Sumber : Dinas Kimpraswil Kota Malang dan survei lapangan, tahun 2009)

## **BAB V**

### **ANALISIS DATA**

#### **5.1 Analisis Hidrologi**

##### **5.1.1 Curah hujan maksimum rata - rata**

Dalam studi ini data curah hujan yang dipergunakan adalah data curah hujan dari tiga stasiun yaitu Stasiun Universitas Brawijaya, Stasiun Ciliwung, dan Stasiun Sukun. Data curah hujan tersebut diambil selama 10 tahun, dari tahun 1999 sampai dengan tahun 2008. Data curah hujan yang diperoleh dari stasiun hujan di atas, dapat dihitung hujan maksimum harian rata – rata. Perhitungan hujan maksimum harian rata – rata. dapat dilihat pada Tabel berikut:

**Tabel 5.1 Curah Hujan Maksimum Stasiun Universitas Brawijaya**

No	Bulan	Tinggi Curah Hujan (mm)									
		1999	2000	2001	2002	2003	2004	2005	2006	2007	2008
1	Januari	14	79	58	92	88	51	21	61	53	18
2	Februari	26	55	35	98	32	60	24	40	42	6
3	Maret	13	53	59	67	70	200	33	50	70	6
4	April	17	48	21	64	36	32	32	61	42	6
5	Mei	23	54	40	-	28	21	8	40	33	20
6	Juni	23	40	55	-	2	7	45	14	24	4
7	Juli	25	3	21	-	1	10	4	-	5	-
8	Agustus	9	3	-	-	-	-	30	3	-	2
9	September	5	23	9	-	57	20	-	-	18	3
10	Oktober	23	45	57	100	13	21	25	-	27	6
11	November	20	57	40	-	30	70	71	40	42	56
12	Desember	15	92	44	-	84	57	51	85	45	73

(Kantor Badan Meteorologi dan Geofisika Karangploso)

1045

JTAO 2014:16

spottedbill skylark 12

Digitized by srujanika@gmail.com

deruo sisib distabe rukkongenib gary nafod deruo sisib loi ibue malefik

Agarwali D. ambieni S. leptocephali amboinensis) ambieni. Atingunungan agit tribu saipan tribu „nordic“ di sebelah timur lautnya. Nama ini adalah nama yang diberikan oleh tribu dekatnya yang masih dikenal dengan nama C. 3900 m dari anggaran impianesse €994 milai atau ~ 1000 milai makassar. Nama yang diberikan juga oleh astor ibu saipan uniasse Ibadah abeg turulih terabu astor ~ 1000 milai makassar. Nama yang diberikan

1871503

en el zwart gesierig en licht goudkleurig met een lichtbruine laag. De huid is glad en niet tevreden.

(Gesamt-Bauzeit: 1990-1992)

**Tabel 5.2 Curah Hujan Maksimum Stasiun Ciliwung**

No	Bulan	Tinggi Curah Hujan (mm)									
		1999	2000	2001	2002	2003	2004	2005	2006	2007	2008
1	Januari	99	43	81	94	95	99	75	67	23	90
2	Februari	31	65	33	63	45	97	57	104	85	48
3	Maret	80	35	97	96	58	167	59	79	118	95
4	April	62	63	35	40	35	15	51	75	60	31
5	Mei	19	35	66	18	58	94	49	40	80	35
6	Juni	35	24	30	-	29	3	104	3	20	10
7	Juli	20	-	18	-	-	-	3	-	5	-
8	Agustus	25	43	-	-	-	-	15	-	20	-
9	September	-	31	-	-	-	-	60	-	-	27
10	Oktober	54	57	60	23	9	10	25	-	10	6
11	November	55	83	60	16	75	77	103	26	43	27
12	Desember	125	28	28	70	118	59	63	40	80	50

(Kantor Badan Meteorologi dan Geofisika Karangploso)

**Tabel 5.3 Curah Hujan Maksimum Stasiun Sukun**

No	Bulan	Tinggi Curah Hujan (mm)									
		1999	2000	2001	2002	2003	2004	2005	2006	2007	2008
1	Januari	70	45	80	55	120	76	63	130	31	101
2	Februari	60	73	36	48	114	106	92	86	48	84
3	Maret	43	67	86	105	50	120	133	108	83	130
4	April	39	57	42	58	59	44	36	50	74	43
5	Mei	7	55	39	50	36	24	6	39	26	27
6	Juni	17	50	65	-	45	1	37	13	35	41
7	Juli	42	-	23	-	-	12	16	-	5	-
8	Agustus	5	7	-	-	-	-	10	-	-	-
9	September	32	40	75	-	-	31	24	-	-	40
10	Oktober	40	70	112	-	13	14	35	-	20	82
11	November	108	100	70	65	89	77	176	70	82	85
12	Desember	72	40	50	98	107	87	119	111	152	85

(Kantor Badan Meteorologi dan Geofisika Karangploso)

Hasil tabel diatas dapat dipilih besarnya curah hujan harian maksimum tiap tahun, maka diperoleh hasil seperti tabel 5.4 dibawah ini.

Tabel 5.4 Hujan harian maksimum tahunan di tiga Stasiun

No	Tahun pengamatan	Stasiun Universitas Brawijaya	Stasiun Ciliwung	Stasiun Sukun	Curah hujan maksimum rata – rata (mm)
1	1999	26	125	108	86,333
2	2000	92	83	100	91,667
3	2001	59	97	112	89,333
4	2002	100	96	105	100,333
5	2003	88	118	120	108,667
6	2004	200	167	120	162,333
7	2005	71	104	176	117,000
8	2006	85	104	130	106,333
9	2007	70	118	152	113,333
10	2008	73	95	130	99,333

(Data BMG Karangploso dan hasil perhitungan)

### 5.1.2 Perhitungan Curah Hujan Rancangan

Berdasarkan hujan maksimum harian rata – rata tahunan di atas, maka dapat dihitung besar curah hujan rancangan dengan menggunakan metode log pearson type III seperti diperlihatkan pada tabel 5.5 berikut ini :

(Документы о продаже земельного участка)

considered as the main factor influencing the development of the disease. The results of the present study support this hypothesis.

Tabel 5.5 Perhitungan curah hujan rencana dengan distribusi log person type III

Tahun	$X_i$ (mm)	$\log X_i$ (mm)	$\log(X_i - \bar{X})$	$\log(X_i - \bar{X})^2$	$\log(X_i - \bar{X})^3$
1999	86,333	1,93618	-0,08782	0,007712352	-0,000677298
2000	91,667	1,96221	-0,06179	0,003818004	-0,000235914
2001	89,333	1,95101	-0,07299	0,00532754	-0,000388857
2002	100,333	2,00144	-0,02256	0,000508953	-0,000011481
2003	108,667	2,03610	0,0121	0,00014641	0,000001771
2004	162,333	2,21041	0,18641	0,034748688	0,006477502
2005	117,000	2,06819	0,04419	0,001952756	0,000086292
2006	106,333	2,02667	0,00267	0,000007128	0,000000019
2007	113,333	2,05436	0,03036	0,000921729	0,000027983
2008	99,333	1,99709	-0,02691	0,000724148	0,000019486
Jumlah	1074,665	20,24366	0,00366	0,055867708	-0,005299503

(Hasil Perhitungan)

Berdasarkan hasil perhitungan di atas dengan menggunakan metode log person type III, diperoleh sebagai berikut :

$$\begin{aligned} \log \bar{X} &= \frac{\sum_{i=1}^n \log X_i}{n} \\ &= \frac{20,24366}{10} \\ &= 2,024 \end{aligned}$$

$$\begin{aligned} S &= \left( \frac{\sum_{i=1}^n (\log X_i - \log \bar{X})^2}{n-1} \right)^{0,5} \\ &= \left( \frac{0,055867708}{10-1} \right)^{0,5} \\ &= (0,006207523)^{0,5} \\ &= 0,0787878 \end{aligned}$$

$$\begin{aligned}
 Cs &= \frac{n \sum_{i=1}^n (\log X_i - \log \bar{X})^3}{(n-1)(n-2)(S)^3} \\
 &= \frac{10(-0,005299503)}{(10-1)(10-2)(0,0787878)^3} \\
 &= \frac{-0,05299503}{0,035213518} \\
 &= -1,50496
 \end{aligned}$$

Pada perhitungan hujan rencana ini menggunakan periode ulang 5 tahun, 10 tahun dan 25 tahun, sehingga diperoleh hasil sebagai berikut :

### 1. Periode 5 tahun

$$Cs = -1,50496; K_{5 \text{ tahun}} = 0,824$$

$$\begin{aligned}
 \log X_{5 \text{ tahun}} &= \log \bar{X} + K.S \\
 &= 2,024 + (0,824 \times 0,0787878) \\
 &= 2,024 + 0,064921147 \\
 &= 2,088921147 \\
 X_{5 \text{ tahun}} &= 122,722 \text{ mm}
 \end{aligned}$$

### 2. Periode 10 tahun

$$Cs = -1,50496; K_{10 \text{ tahun}} = 1,016$$

$$\begin{aligned}
 \log X_{10 \text{ tahun}} &= \log \bar{X} + K.S \\
 &= 2,024 + (1,016 \times 0,0787878) \\
 &= 2,024 + 0,080048404 \\
 &= 2,104048405 \\
 X_{10 \text{ tahun}} &= 127,072 \text{ mm}
 \end{aligned}$$

### 3. Periode 25 tahun

$$Cs = -1,50496; K_{25 \text{ tahun}} = 1,153$$

$$\begin{aligned}
 \log X_{25 \text{ tahun}} &= \log \bar{X} + K.S \\
 &= 2,024 + (1,153 \times 0,0787878) \\
 &= 2,024 + 0,090842333 \\
 &= 2,114842333
 \end{aligned}$$

$$X_{25 \text{ tahun}} = 130,269 \text{ mm}$$

### 5.1.3 Uji Kesesuaian Distribusi

#### a. Uji kesesuaian distribusi dengan Smirnov Kolmogorov

Uji kesesuaian distribusi dilakukan untuk mengetahui kebenaran dari hipotesa yang diambil dari distribusi yang sesuai. Untuk menentukan kecocokan dan frekuensi data terhadap fungsi distribusi peluang yang diperkirakan dapat menggambarkan distribusi frekuensi tersebut dan melakukan pengujian parameter menggunakan uji Smirnov-Kolmogorov pada Probabilitas Log Person Type III.

Untuk melakukan uji ini, data curah hujan harian maksimum rata – rata tiap tahun disusun dari besar kekecil. Untuk perhitungannya dapat dilihat pada tabel 5.6 berikut ini.

Tabel 5.6 Tahapan plotting data probabilitas log person type III

No	$X_i$ (mm)	$P_e = \frac{m}{n+1} \times 100$	$P_t$	$\Delta  P_e - P_t $
1	162,333	9,091	1	8,09
2	117,000	18,182	16	2,18
3	113,333	27,273	25	2,27
4	108,667	36,364	32	4,36
5	106,333	45,455	37	8,46
6	100,333	54,545	43	11,55
7	99,333	63,636	52	11,64
8	91,667	72,727	68	4,73
9	89,333	81,818	83	1,18
10	86,333	90,909	95	-4,09

Sumber : Hasil Perhitungan

$$\text{Banyak data (n)} = 10$$

$$\text{Taraf sifnifikan } (\alpha) = 5 \%$$

$$\Delta_{\text{maks}} = 11,64 \%$$

Dengan  $n = 10$  dan  $\alpha = 0,05$  maka diperoleh harga  $\Delta Cr = 0,41$

$$\Delta_{\text{maks}} = 0,1164 < \Delta Cr = 0,41$$

## Beschrijving van een gedicht

Vonogramm der rechten Augenlinsenlinse mit einem 100-fachem Vergrößerungsfaktor.

risks associated with the use of antibiotics in agriculture. The following section provides a brief overview of the antibiotic resistance problem in agriculture.

Using good applications  
that - just like us - can make mistakes

Węże wodne gołoszą duchowe i duch gromadzące się wokół nich.

Year	Revenue	Profit Margin (%)	Net Profit	EPS	Dividend
2018	100.0	10.0	10.0	1.00	0.50
2019	120.0	12.0	14.4	1.20	0.60
2020	150.0	15.0	22.5	1.50	0.75
2021	180.0	18.0	32.4	1.80	0.90
2022	220.0	22.0	48.4	2.20	1.10
2023	260.0	26.0	67.6	2.60	1.30
2024	300.0	30.0	90.0	3.00	1.50
2025	350.0	35.0	117.5	3.50	1.75
2026	400.0	40.0	144.0	4.00	2.00
2027	450.0	45.0	172.5	4.50	2.25
2028	500.0	50.0	200.0	5.00	2.50
2029	550.0	55.0	227.5	5.50	2.75
2030	600.0	60.0	255.0	6.00	3.00

BIBLIOGRAPHY OF RECENT PUBLICATIONS

6) = (ii) atch asyndi

392  $\approx$  (3)  $\text{methylisobutylT}$

$$\beta^0(0,1) =$$

$14.0 \pm 1.5$  Å signal (below) is also  $20.0 \pm 2.0$  ppb OI =  $\mu$  oxygen (1)

$\text{P}(A \cap B) = \text{P}(A) \cdot \text{P}(B|A)$

Maka pada uji kesesuaian distribusi frekuensi log person type III dengan menggunakan metode smirnov-kolmogorov dapat disimpulkan diterima.

**b. Uji kesesuaian distribusi dengan Chi Square**

Curah hujan rata-rata maksimum dapat dikelompokkan dalam kelas-kelas sebagai berikut :

$$\begin{aligned} K &= 1 + 3,322 \cdot \log n \\ &= 1 + 3,322 \cdot \log 10 \\ &= 1 + 3,322 \cdot 1 \\ &= 5 \text{ kelas} \end{aligned}$$

Pembagian data pengamatan dibagi menjadi 5 sub-bagian, interval peluang  $P = 0,20$ . Besarnya peluang untuk tiap sub-group adalah :

$$\begin{aligned} \text{Sub-group 1} &= P \leq 0,20 \\ \text{Sub-group 2} &= P \leq 0,40 \\ \text{Sub-group 3} &= P \leq 0,60 \\ \text{Sub-group 4} &= P \leq 0,80 \\ \text{Sub-group 5} &= P > 0,80 \end{aligned}$$

Dimana diketahui  $C_s = -1,50496$

- $P = 0,2 ; K = 0,824$

$$\begin{aligned} \text{Log } X &= \text{Log } \bar{X} + S.K \\ &= 2,024 + 0,0787878 \cdot 0,824 \\ &= 2,088921147 \end{aligned}$$

$$X = 122,72 \text{ mm}$$

- $P = 0,4 ; K = 0,283$

$$\begin{aligned} \text{Log } X &= \text{Log } \bar{X} + S.K \\ &= 2,024 + 0,0787878 \cdot 0,283 \\ &= 2,046296947 \end{aligned}$$

$$X = 111,25 \text{ mm}$$

- $P = 0,6 ; K = -0,278$

$$\begin{aligned}
 \text{Log } X &= \text{Log } \bar{X} + S.K \\
 &= 2,024 + 0,0787878 \cdot (-0,278) \\
 &= 2,002096992
 \end{aligned}$$

$$X = 100,48 \text{ mm}$$

-  $P = 0,8 ; K = -0,823$

$$\begin{aligned}
 \text{Log } X &= \text{Log } \bar{X} + S.K \\
 &= 2,024 + 0,0787878 \cdot (-0,823) \\
 &= 1,959157641
 \end{aligned}$$

$$X = 91,02 \text{ mm}$$

Untuk mencari nilai yang diharapkan ( $EF = \text{Expected Frequency}$ ) digunakan rumus :

$$\begin{aligned}
 EF &= \frac{\text{banyaknya data}(n)}{\text{jumlah kelas}(k)} \\
 &= \frac{10}{5} = 2
 \end{aligned}$$

Nilai yang diambil ( $OF = \text{Observed Frequency}$ ) dilihat pada batas kelas atau besarnya curah hujan yang berada didalam batas kelas. Hasil perhitungannya dapat dilihat pada tabel 5.7 berikut ini :

**Tabel 5.7**  
**Perhitungan Uji Chi Square (Metode Log- Pearson Type III)**

No	Kelas (mm)	EF	OF	$(EF-OF)^2$
1.	< 91,02	2	2	0
2.	91,02 – 100,48	2	1	1
3.	100,48 – 111,25	2	2	0
4.	111,25 – 122,72	2	4	4
5.	> 122,72	2	1	1
Jumlah		10		6

Sumber : hasil perhitungan

$$\begin{aligned}
 \text{Derajat bebas (dk)} &= k - m - 1 \\
 &= 5 - 2 - 1 = 2
 \end{aligned}$$

$$\text{Chi square (X}^2\text{)} = \frac{(EF-OF)^2}{EF} = \frac{6}{2} = 3$$

Untuk  $X^2 = 3 < X^2$  standar dari tabel = 5,991, maka distribusi frekuensi Log Pearson Type III dapat diterima.

Dalam pembahasan pemilihan metode distribusi ini, maka dapat disimpulkan metode pemilihan distribusi yang dapat dipakai adalah metode distribusi E.J. Gumbel. Hal ini berdasarkan dari perhitungan uji Smirnov Kolmogorov dan Chi Square metode pemilihan ini dapat diterima.

## 5.2 Perhitungan debit banjir rencana (Q<sub>r</sub>)

### 5.2.1 Perhitungan waktu konsentrasi (T<sub>c</sub>)

Untuk menghitung waktu konsentrasi disini menggunakan rumus Empiris dari Kirpich yaitu:  $T_c = \frac{0,0195}{60} \times \left[ \frac{L}{\sqrt{S}} \right]^{0,77}$

Contoh perhitungan pada saluran 1A:

Diketahui: - Panjang saluran = 218 m

- Kemiringan saluran (S) = 0,012386

$$T_c = \frac{0,0195}{60} \times \left[ \frac{L}{\sqrt{S}} \right]^{0,77}$$

$$T_c = \frac{0,0195}{60} \times \left[ \frac{218}{\sqrt{0,012386}} \right]^{0,77}$$

$$T_c = 0,111357 \text{ jam}$$

$$\begin{aligned} \text{Mencari kecepatan aliran (v)} &= 20 \left[ \frac{S}{L} \right]^{0,6} \\ &= 20 \left[ \frac{0,012386}{218} \right]^{0,6} = 0,056717 \text{ m/dtk} \end{aligned}$$

Untuk hasil selengkapnya dapat dilihat pada tabel 5.21.

### 5.2.2 Intensitas Curah hujan

Berdasarkan hasil perhitungan waktu konsentrasi diatas maka perhitungan besarnya Intensitas hujan rancangan dengan rumus Mononobe sebagai berikut:

год. Наиболее яркими из них, 199,8% имеют характеристики  $\Delta Y \geq 2$  и  $\Delta Y_{\text{diff}} \geq 1$ .  
 Аналитика показывает, что в группе с наибольшим  
 числом единиц измерения обнаружено большинство  
 случаев отсутствия изображения генератора на изображении  
 головной части изображения тела. Решение проблемы  
 возможно лишь при условии выполнения изображения

(35)  $\Delta Y \geq 2$  для изображения

(36)  $\Delta Y_{\text{diff}} \geq 1$  для изображения

автоматизированного изображения головной части

$$\left[ \begin{array}{c} 1 \\ 1 \\ 1 \end{array} \right] \frac{\partial \theta(0,0)}{\partial Y_{\text{diff}}} = 0 \quad \text{или} \quad \theta(0,0) = 0$$

(37) изображения головной части

$\theta(0,0) = \theta_{\text{diff}}$  - значение угла

$\theta(0,0) = (2)$  изображения

$$\left[ \begin{array}{c} 1 \\ 1 \\ 1 \end{array} \right] \frac{\partial \theta(0,0)}{\partial Y} = 0 \quad \text{или}$$

$$\left[ \begin{array}{c} 0 \\ 1 \\ 1 \end{array} \right] \frac{\partial \theta(0,0)}{\partial Y_{\text{diff}}} = 0 \quad \text{или}$$

$\theta(0,0) = 0$

$$\left[ \begin{array}{c} 1 \\ 1 \\ 1 \end{array} \right] \theta(0,0) = 0 \quad \text{или} \quad \theta(0,0) = 0$$

$$\text{Из (37) } \theta(0,0) = \left[ \begin{array}{c} 1 \\ 1 \\ 1 \end{array} \right] \theta(0,0)$$

15. В ладах изображения головной части

изображения головной части

однако единиц измерения генератора на изображении головной части изображения головной части изображения головной части изображения головной части

$$I = \frac{R}{24} \left( \frac{24}{T_c} \right)^{\frac{2}{3}}$$

Contoh perhitungan pada saluran 1A:

Diketahui: - Curah hujan rancangan = 122,722 mm  
- Waktu konsentrasi = 0,111357 jam

$$I = \frac{R}{24} \left( \frac{24}{T_c} \right)^{\frac{2}{3}}$$

$$I = \frac{122,722}{24} \left( \frac{24}{0,111357} \right)^{\frac{2}{3}}$$

$$I = 184,14 \text{ mm/jam}$$

Untuk hasil selengkapnya dapat dilihat pada tabel 5.21.

### 5.2.3 Perhitungan debit air hujan (Qa)

Debit air hujan didasarkan pada limpasan air hujan yang terjadi dan tingkat aliran puncak dengan variable amatan yang diorientasikan pada intensitas hujan selama waktu konsentrasi dan luas daerah pengaliran. Rumus yang digunakan untuk menentukan debit air hujan adalah :

$$Q_a = 0,278 \cdot C \cdot I \cdot A$$

Contoh perhitungan untuk menghitung debit air hujan (Qa) untuk saluran 1A:

Diketahui :

- Luas saluran 1A = 0,05172 Km<sup>2</sup>
- Intensitas hujan = 184,14 mm/jam

Untuk perhitungan awal perlu diketahui nilai koefisien pengaliran (C) seperti pada tabel 2.2 pada *catchment area* setiap saluran, dimana nilai c ini dipengaruhi oleh tata guna lahan pada setiap *catchment area*.

Contoh perhitungan nilai C pada blok A :

**Tabel 5.8.**  
**Contoh Perhitungan nilai C pada saluran 1A**

Blok	Penggunaan Lahan	Harga C
Saluran 1A	Perumahan	0,70
	Jalan	0,95

*Sumber : Hasil Analisa*

Setelah diperoleh nilai koefisien pengaliran, maka besarnya debit air hujan pada saluran 1A dapat dicari dengan rumus rasional :

$$\begin{aligned}
 Q_{a1} &= 0,278 \cdot C_{\text{perumahan}} \cdot I \cdot A \\
 &= 0,278 \cdot 0,70 \cdot 184,14 \cdot 0,05172 \\
 &= 1,853316 \text{ m}^3/\text{jam} \cdot \text{km}^2 \approx 0,000515 \text{ m}^3/\text{dtk.km}^2 \\
 Q_{a2} &= 0,278 \cdot C_{\text{jalan}} \cdot I \cdot A \\
 &= 0,278 \cdot 0,95 \cdot 184,14 \cdot 0,05172 \\
 &= 2,515215 \text{ m}^3/\text{jam} \cdot \text{km}^2 \approx 0,000699 \text{ m}^3/\text{dtk.km}^2
 \end{aligned}$$

Untuk hasil selengkapnya dapat dilihat pada tabel 5.21.

### 5.3 Air Limbah Domestik

Wilayah studi yang mempunyai sistem pembuangan air kotor dengan sistem gabungan dimana air kotor rumah tangga dan limpasan air hujan dialirkan melalui saluran yang sama. Dengan berpedoman pada perkiraan jumlah kebutuhan air bersih rata – rata penduduk kota Malang sebesar 170 liter/hari/jiwa atau sama dengan 0,001968 liter/detik/jiwa (Dirjen Cipta Karya,2002). Sebelum menghitung debit air buangan, terlebih dahulu dilakukan proyeksi penduduk yang digunakan untuk memperkirakan jumlah penduduk untuk masa yang akan datang. Perkiraan jumlah penduduk ini digunakan sebagai dasar untuk perhitungan debit air buangan.

#### 5.3.1 Pemilihan Metode Proyeksi

Proyeksi penduduk pada sistem penyaluran air buangan dimaksudkan agar sistem ini dapat digunakan untuk waktu yang cukup lama.

Dalam pembahasan ini sistem perencanaannya untuk 25 tahun. Beberapa faktor yang mempengaruhi proyeksi adalah:

1. Jumlah populasi dalam suatu daerah
2. Kecepatan pertambahan penduduk
3. Kurun waktu populasi

Jumlah penduduk selama 5 tahun di Kelurahan Sumbersari dan Karangbesuki dapat dilihat pada tabel 5.9 dan 5.10

Tabel 5.9 Jumlah Penduduk Kelurahan Sumbersari Tahun 2004-2008

Tahun	Jumlah Penduduk (jiwa)	Pertumbuhan Penduduk (jiwa)
2004	13.224	-
2005	13.359	135
2006	13.535	176
2007	13.791	256
2008	14.146	355

(Data Monografi Kelurahan Sumbersari)

Tabel 5.10 Jumlah Penduduk Kelurahan Karangbesuki Tahun 2004-2008

Tahun	Jumlah Penduduk (jiwa)	Pertumbuhan Penduduk (jiwa)
2004	16.362	-
2005	16.573	211
2006	16.927	354
2007	17.374	447
2008	17.893	519

(Data Monografi Kelurahan Karangbesuki)

Untuk menentukan metode proyeksi yang paling tepat dalam melakukan proyeksi penduduk, maka perlu dilakukan uji korelasi dari metode yang ada. Dari uji korelasi tersebut, nilai  $r$  yang mendekati 1 (satu) merupakan korelasi yang digunakan.

нуждались в поддержке со стороны государства. Важно отметить, что в то время в Европе не было аналогичных организаций, которые бы занимались подобным видом деятельности. Поэтому возникла необходимость создания специальной организации, которая бы занималась поддержкой и развитием науки и культуры. Для этого было создано Академию наук Российской империи.

04.2. sub 0.2. ledet abaq miflik røgeb blæsningerne  
8000-4000 med et højstrelatet nedsænkning af dybden af mindst 0.2 ledet

Individuum Nummer (xxii)	Individuum Nummer (xxiii)	Endzeit
-	188-181	1900
851	982-81	1900
851	212-11	1900
859	108-21	1900
859	84-1-11	1900

3000-3400 m, zuidelijk en oostelijk van de Tijlhoek en de Zuidelijke Heuvelrug, deel van de Zuidelijke Kalkstreek.

नाम	संख्या	मुद्रा
प्रधानमंत्री	१०५६१	५०००
एम्पी	१०५६२	५०००
प्रियंका	१०५६३	५०००
राहुल	१०५६४	५०००

Rumus yang digunakan :

$$r = \frac{n(\sum xy) - (\sum y)(\sum x)}{\sqrt{[n(\sum y^2) - (\sum y)^2][n(\sum x^2) - (\sum x)^2]}}$$

Dimana :

$y$  (Aritmatik) : pertumbuhan penduduk

$y$  (Geometrik) : jumlah penduduk

$y$  (Last Square) : jumlah penduduk

$x$  : tahun ke-n

$n$  : jumlah tahun

### a) Uji Korelasi Kelurahan Sumbersari

#### 1) Metode Aritmatik

Tabel 5.11 Perhitungan menggunakan metode aritmatik

$x$	$y$	$xy$	$x^2$	$y^2$
1	135	135	1	18.225
2	176	352	4	30.976
3	256	768	9	65.536
4	355	1420	16	126.025
10	922	2.675	30	240.762

$$\begin{aligned}
 r &= \frac{n(\sum xy) - (\sum y)(\sum x)}{\sqrt{[n(\sum y^2) - (\sum y)^2][n(\sum x^2) - (\sum x)^2]}} \\
 &= \frac{4(2.675) - (922)(10)}{\sqrt{[4(240.762) - (922^2)][4(30) - (10^2)]}} \\
 &= \frac{1.480}{14.445.720} \\
 &= 0,000102452
 \end{aligned}$$

## 2) Metode Geometrik

Tabel 5.12 Perhitungan menggunakan metode Geometrik

$x$	$y$	$x.y$	$x^2$	$y^2$
1	9,49	9,49	1	90,0601
2	9,50	19	4	90,25
3	9,51	28,53	9	90,4401
4	9,53	38,12	16	90,8209
5	9,56	47,8	25	91,3936
15	47,59	142,94	55	452,9647

$$\begin{aligned}
 r &= \frac{n(\sum xy) - (\sum y)(\sum x)}{\sqrt{[n(\sum y^2) - (\sum y)^2][n(\sum x^2) - (\sum x)^2]}} \\
 &= \frac{5(142,94) - (47,59)(15)}{\sqrt{[5(452,9647) - (47,59^2)][5(55) - (15^2)]}} \\
 &= \frac{0,85}{90592,94} \\
 &= 0,000009382
 \end{aligned}$$

## 3) Metode Last Square

Tabel 5.13 Perhitungan menggunakan metode Last Square

$x$	$y$	$x.y$	$x^2$	$y^2$
1	13.224	13.224	1	174.874.176
2	13.359	26.718	4	178.462.881
3	13.535	40.605	9	183.196.225
4	13.791	55.164	16	190.191.681
5	14.146	70.730	25	200.109.316
15	68.055	206.441	55	926.834.279

$$\begin{aligned}
 r &= \frac{n(\sum xy) - (\sum y)(\sum x)}{\sqrt{[n(\sum y^2) - (\sum y)^2][n(\sum x^2) - (\sum x)^2]}} \\
 &= \frac{5(206.441) - (68.055)(15)}{\sqrt{[5(926.834.279) - (68.055^2)][5(55) - (15^2)]}} \\
 &= \frac{11.380}{1,853668558 \times 10^{11}} \\
 &= 0,000000061
 \end{aligned}$$

Berdasarkan hasil perhitungan diatas didapat bahwa nilai r yang mendekati 1 adalah metode Aritmatik sehingga dalam perhitungan proyeksi penduduk Kelurahan Sumbersari akan menggunakan metode ini.

### **b) Uji Korelasi Kelurahan Karangbesuki**

#### 1) Metode Aritmatik

Tabel 5.14 Perhitungan menggunakan metode aritmatik

x	y	x.y	x <sup>2</sup>	y <sup>2</sup>
1	211	211	1	44.521
2	354	708	4	125.316
3	447	1.341	9	199.809
4	519	2.076	16	269.361
10	1.531	4.336	30	639.007

$$\begin{aligned}
 r &= \frac{n(\sum xy) - (\sum y)(\sum x)}{\sqrt{[n(\sum y^2) - (\sum y)^2][n(\sum x^2) - (\sum x)^2]}} \\
 &= \frac{4(4.336) - (1.531)(10)}{\sqrt{[4(639.007) - (1.531^2)][4(30) - (10^2)]}} \\
 &= \frac{2.034}{38.340.420} \\
 &= 0,000053051
 \end{aligned}$$

#### 2) Metode Geometrik

Tabel 5.15 Perhitungan menggunakan metode Geometrik

x	y	x.y	x <sup>2</sup>	y <sup>2</sup>
1	9,70	9,70	1	94,09
2	9,72	19,44	4	94,4784
3	9,74	29,22	9	94,8676
4	9,76	39,04	16	95,2576
5	9,79	48,95	25	95,8441
15	48,71	146,35	55	474,5377

$$\begin{aligned}
 r &= \frac{n(\sum xy) - (\sum y)(\sum x)}{\sqrt{[n(\sum y^2) - (\sum y)^2][n(\sum x^2) - (\sum x)^2]}}
 \end{aligned}$$

gesucht ist ein eindimensionales Intervall, das die Werte von  $x$  umfasst, für die die Gleichung  $f(x) = 0$  gilt. Um dies zu tun, kann man die Werte von  $f(x)$  für verschiedene Werte von  $x$  berechnen und dann nach dem Zeichen der Werte von  $f(x)$  schließen.

### Algorithmus für das Intervallhalbierenverfahren

Die Schritte sind:

1. Wählen eines Intervalls  $[a, b]$ , das die Nullstelle enthalten soll.

2. Berechnen des Mittelpunkts  $c = \frac{a+b}{2}$ .

$a$	$b$	$c$	$f(a)$	$f(b)$	$f(c)$
-1.00	1.00	0.00	-1.00	1.00	0.00
-0.50	0.50	0.00	-0.50	0.50	0.00
-0.25	0.25	0.00	-0.25	0.25	0.00
-0.125	0.125	0.00	-0.125	0.125	0.00
-0.0625	0.0625	0.00	-0.0625	0.0625	0.00
-0.03125	0.03125	0.00	-0.03125	0.03125	0.00
-0.015625	0.015625	0.00	-0.015625	0.015625	0.00
-0.0078125	0.0078125	0.00	-0.0078125	0.0078125	0.00
-0.00390625	0.00390625	0.00	-0.00390625	0.00390625	0.00
-0.001953125	0.001953125	0.00	-0.001953125	0.001953125	0.00
-0.0009765625	0.0009765625	0.00	-0.0009765625	0.0009765625	0.00
-0.00048828125	0.00048828125	0.00	-0.00048828125	0.00048828125	0.00
-0.000244140625	0.000244140625	0.00	-0.000244140625	0.000244140625	0.00
-0.0001220703125	0.0001220703125	0.00	-0.0001220703125	0.0001220703125	0.00
-0.00006103515625	0.00006103515625	0.00	-0.00006103515625	0.00006103515625	0.00
-0.000030517578125	0.000030517578125	0.00	-0.000030517578125	0.000030517578125	0.00
-0.0000152587890625	0.0000152587890625	0.00	-0.0000152587890625	0.0000152587890625	0.00
-0.00000762939453125	0.00000762939453125	0.00	-0.00000762939453125	0.00000762939453125	0.00
-0.000003814697265625	0.000003814697265625	0.00	-0.000003814697265625	0.000003814697265625	0.00
-0.0000019073486328125	0.0000019073486328125	0.00	-0.0000019073486328125	0.0000019073486328125	0.00
-0.00000095367431640625	0.00000095367431640625	0.00	-0.00000095367431640625	0.00000095367431640625	0.00
-0.000000476837158203125	0.000000476837158203125	0.00	-0.000000476837158203125	0.000000476837158203125	0.00
-0.0000002384185791015625	0.0000002384185791015625	0.00	-0.0000002384185791015625	0.0000002384185791015625	0.00
-0.00000012020928955078125	0.00000012020928955078125	0.00	-0.00000012020928955078125	0.00000012020928955078125	0.00
-0.000000060104644775390625	0.000000060104644775390625	0.00	-0.000000060104644775390625	0.000000060104644775390625	0.00
-0.0000000300523223876953125	0.0000000300523223876953125	0.00	-0.0000000300523223876953125	0.0000000300523223876953125	0.00
-0.00000001502616119384765625	0.00000001502616119384765625	0.00	-0.00000001502616119384765625	0.00000001502616119384765625	0.00
-0.000000007513080596923828125	0.000000007513080596923828125	0.00	-0.000000007513080596923828125	0.000000007513080596923828125	0.00
-0.0000000037565402984619140625	0.0000000037565402984619140625	0.00	-0.0000000037565402984619140625	0.0000000037565402984619140625	0.00
-0.00000000187827014923095703125	0.00000000187827014923095703125	0.00	-0.00000000187827014923095703125	0.00000000187827014923095703125	0.00
-0.000000000939135074615478515625	0.000000000939135074615478515625	0.00	-0.000000000939135074615478515625	0.000000000939135074615478515625	0.00
-0.0000000004695675373077392578125	0.0000000004695675373077392578125	0.00	-0.0000000004695675373077392578125	0.0000000004695675373077392578125	0.00
-0.00000000023478376865386962890625	0.00000000023478376865386962890625	0.00	-0.00000000023478376865386962890625	0.00000000023478376865386962890625	0.00
-0.0000000001173918843269348140625	0.0000000001173918843269348140625	0.00	-0.0000000001173918843269348140625	0.0000000001173918843269348140625	0.00
-0.00000000005869594216346740703125	0.00000000005869594216346740703125	0.00	-0.00000000005869594216346740703125	0.00000000005869594216346740703125	0.00
-0.000000000029347971081733703515625	0.000000000029347971081733703515625	0.00	-0.000000000029347971081733703515625	0.000000000029347971081733703515625	0.00
-0.0000000000146739855408668517578125	0.0000000000146739855408668517578125	0.00	-0.0000000000146739855408668517578125	0.0000000000146739855408668517578125	0.00
-0.000000000007336992770433425878125	0.000000000007336992770433425878125	0.00	-0.000000000007336992770433425878125	0.000000000007336992770433425878125	0.00
-0.0000000000036684963852167129375	0.0000000000036684963852167129375	0.00	-0.0000000000036684963852167129375	0.0000000000036684963852167129375	0.00
-0.0000000000018342481926083564875	0.0000000000018342481926083564875	0.00	-0.0000000000018342481926083564875	0.0000000000018342481926083564875	0.00
-0.00000000000091712409630417824375	0.00000000000091712409630417824375	0.00	-0.00000000000091712409630417824375	0.00000000000091712409630417824375	0.00
-0.000000000000458562048152089121875	0.000000000000458562048152089121875	0.00	-0.000000000000458562048152089121875	0.000000000000458562048152089121875	0.00
-0.0000000000002292810240760445609375	0.0000000000002292810240760445609375	0.00	-0.0000000000002292810240760445609375	0.0000000000002292810240760445609375	0.00
-0.00000000000011464051203802228046875	0.00000000000011464051203802228046875	0.00	-0.00000000000011464051203802228046875	0.00000000000011464051203802228046875	0.00
-0.000000000000057320256019011140234375	0.000000000000057320256019011140234375	0.00	-0.000000000000057320256019011140234375	0.000000000000057320256019011140234375	0.00
-0.0000000000000286601280095055701171875	0.0000000000000286601280095055701171875	0.00	-0.0000000000000286601280095055701171875	0.0000000000000286601280095055701171875	0.00
-0.00000000000001433006400475278505859375	0.00000000000001433006400475278505859375	0.00	-0.00000000000001433006400475278505859375	0.00000000000001433006400475278505859375	0.00
-0.000000000000007165032002376392529296875	0.000000000000007165032002376392529296875	0.00	-0.000000000000007165032002376392529296875	0.000000000000007165032002376392529296875	0.00
-0.0000000000000035825160011881962646484375	0.0000000000000035825160011881962646484375	0.00	-0.0000000000000035825160011881962646484375	0.0000000000000035825160011881962646484375	0.00
-0.00000000000000179125800059409813232421875	0.00000000000000179125800059409813232421875	0.00	-0.00000000000000179125800059409813232421875	0.00000000000000179125800059409813232421875	0.00
-0.000000000000000895629000297049966162109375	0.000000000000000895629000297049966162109375	0.00	-0.000000000000000895629000297049966162109375	0.000000000000000895629000297049966162109375	0.00
-0.0000000000000004478145001485249830810546875	0.0000000000000004478145001485249830810546875	0.00	-0.0000000000000004478145001485249830810546875	0.0000000000000004478145001485249830810546875	0.00
-0.00000000000000022390725007426249154052734375	0.00000000000000022390725007426249154052734375	0.00	-0.00000000000000022390725007426249154052734375	0.00000000000000022390725007426249154052734375	0.00
-0.000000000000000111953625037131245770263676875	0.000000000000000111953625037131245770263676875	0.00	-0.000000000000000111953625037131245770263676875	0.000000000000000111953625037131245770263676875	0.00
-0.0000000000000000559768125185656228885318364375	0.0000000000000000559768125185656228885318364375	0.00	-0.0000000000000000559768125185656228885318364375	0.0000000000000000559768125185656228885318364375	0.00
-0.00000000000000002798840625928281144426591821875	0.00000000000000002798840625928281144426591821875	0.00	-0.00000000000000002798840625928281144426591821875	0.00000000000000002798840625928281144426591821875	0.00
-0.000000000000000013994203124641405722132959109375	0.000000000000000013994203124641405722132959109375	0.00	-0.000000000000000013994203124641405722132959109375	0.000000000000000013994203124641405722132959109375	0.00
-0.0000000000000000069971015623207028611149295546875	0.0000000000000000069971015623207028611149295546875	0.00	-0.0000000000000000069971015623207028611149295546875	0.0000000000000000069971015623207028611149295546875	0.00
-0.00000000000000000349855078116035143055747778546875	0.00000000000000000349855078116035143055747778546875	0.00	-0.00000000000000000349855078116035143055747778546875	0.00000000000000000349855078116035143055747778546875	0.00
-0.00000000000000000174927539058017571527873889265625	0.00000000000000000174927539058017571527873889265625	0.00	-0.00000000000000000174927539058017571527873889265625	0.00000000000000000174927539058017571527873889265625	0.00
-0.00000000000000000087463769529008785763936944453125	0.00000000000000000087463769529008785763936944453125	0.00	-0.00000000000000000087463769529008785763936944453125	0.00000000000000000087463769529008785763936944453125	0.00
-0.000000000000000000437318847645043928819684722265625	0.000000000000000000437318847645043928819684722265625	0.00	-0.000000000000000000437318847645043928819684722265625	0.000000000000000000437318847645043928819684722265625	0.00
-0.0000000000000000002186594238225219644098423611328125	0.0000000000000000002186594238225219644098423611328125	0.00	-0.0000000000000000002186594238225219644098423611328125	0.0000000000000000002186594238225219644098423611328125	0.00
-0.00000000000000000010932971191126098220492183056640625	0.00000000000000000010932971191126098220492183056640625	0.00	-0.00000000000000000010932971191126098220492183056640625	0.00000000000000000010932971191126098220492183056640625	0.00
-0.000000000000000000054664855955613049102470915283203125	0.000000000000000000054664855955613049102470915283203125	0.00	-0.000000000000000000054664855955613049102470915283203125	0.000000000000000000054664855955613049102470915283203125	0.00
-0.0000000000000000000273324279778065245512354576416015625	0.0000000000000000000273324279778065245512354576416015625	0.00	-0.0000000000000000000273324279778065245512354576416015625	0.0000000000000000000273324279778065245512354576416015625	0.00
-0.0000000000000000000136662139889032622756177288208003125	0.0000000000000000000136662139889032622756177288208003125	0.00	-0.000000000000000000013666213988903262275617728820		

$$\begin{aligned}
 &= \frac{5(146,35) - (48,71)(15)}{\sqrt{[5(474,5377) - (48,71)^2][5(55) - (15^2)]}} \\
 &= \frac{1,1}{94907,54} \\
 &= 0,00001159
 \end{aligned}$$

### 3) Metode Last Square

Tabel 5.16 Perhitungan menggunakan metode Last Square

$x$	$y$	$x.y$	$x^2$	$y^2$
1	16.362	16.362	1	267.715.044
2	16.573	33.146	4	274.664.329
3	16.927	50.781	9	286.523.329
4	17.374	69.496	16	301.855.876
5	17.893	89.465	25	320.159.449
15	85.129	259.250	55	1.450.918.027

$$\begin{aligned}
 r &= \frac{n(\sum xy) - (\sum y)(\sum x)}{\sqrt{[n(\sum y^2) - (\sum y)^2][n(\sum x^2) - (\sum x)^2]}} \\
 &= \frac{5(259.250) - (85.129)(15)}{\sqrt{[5(1.450.918.027) - (85.129)^2][5(55) - (15^2)]}} \\
 &= \frac{19.315}{2,901836054 \times 10^{11}} \\
 &= 0,000000066
 \end{aligned}$$

Berdasarkan hasil perhitungan diatas didapat bahwa nilai  $r$  yang mendekati 1 adalah metode Aritmatik sehingga dalam perhitungan proyeksi penduduk Kelurahan Karangbesuki akan menggunakan metode ini.

#### 5.4 Proyeksi Jumlah Penduduk

Dalam perhitungan proyeksi tersebut menggunakan metode aritmatik dengan rumus sebagai berikut :

$$P_n = P_0 + K_a(t_n - t_0)$$

dimana :

P<sub>n</sub> : Jumlah penduduk pada tahun proyeksi

P<sub>0</sub> : Jumlah penduduk tahun awal proyeksi

t<sub>n</sub> : Tahun proyeksi

t<sub>0</sub> : Tahun awal proyeksi

K<sub>a</sub> : Konstanta aritmatik

$$K_a = \frac{P_n - P_{n-1}}{t_n - t_{n-1}}$$

dimana :

P<sub>n</sub> : Jumlah penduduk tahun sekarang

P<sub>n-1</sub> : Jumlah penduduk tahun sebelumnya

t<sub>n</sub> : Tahun sekarang

t<sub>n-1</sub> : Tahun sebelumnya

#### Kelurahan Sumbersari

- Menentukan nilai *ka* untuk masing-masing perubahan tahun
- Untuk tahun 2005 - 2004

$$k_a = \frac{13359 - 13224}{2005 - 2004} = 135$$

- Untuk tahun 2006 - 2005

$$k_a = \frac{13535 - 13359}{2006 - 2005} = 176$$

- Untuk tahun 2007 - 2006

$$k_a = \frac{13791 - 13535}{2007 - 2006} = 256$$

- Untuk tahun 2008 - 2007

$$ka = \frac{14146 - 13791}{2008 - 2007} = 355$$

- Menentukan  $kg$  rata-rata

$$\overline{Ka} = \frac{135 + 176 + 256 + 355}{4}$$

$$= 230,5$$

- Memproyeksikan jumlah penduduk sampai tahun 2033

$$\begin{aligned} P_{2033} &= P_{2008} + \overline{Ka} (2033 - 2008) \\ &= 14.146 \text{ jiwa} + 230,5 (2033 - 2008) \end{aligned}$$

$$P_{2033} = 19.909 \text{ jiwa}$$

Penentuan debit air buangan berdasarkan perhitungan jumlah rumah yang ada dalam blok area pelayanan yang diproyeksikan selama 25 tahun serta memperhatikan pengembangan area tersebut. Berdasarkan jumlah penduduk tahun 2008 sebesar 14.146 dengan jumlah keluarga sebanyak 2.967 KK (*lihat di BAB IV Halaman 36*) maka dapat dihitung jumlah orang per KK adalah :

$$= \frac{14.146 \text{ jiwa}}{2.967 \text{ KK}} = 4,77 \approx 5 \text{ jiwa/KK}$$

Berdasarkan asumsi proyeksi jumlah penduduk diasumsikan sebesar 5 jiwa untuk 1 KK dengan kebutuhan air ( $K_{ab}$ ) rata - rata sebesar 170 liter/hari/jiwa.

Dengan mengetahui jumlah penduduk tahun 2033 sebesar 19.909 jiwa, maka dapat dihitung persentase (%) kenaikan jumlah KK dalam 25 tahun proyeksi perencanaan dengan cara sebagai berikut :

$$\begin{aligned} \text{Kenaikan jumlah penduduk} &= 19.909 - 14.146 \\ &= 5.763 \text{ jiwa} \end{aligned}$$

$$\text{Kenaikan jumlah KK} = \frac{5.763 \text{ jiwa}}{5} = 1152,6 \approx 1153 \text{ KK}$$

$$\begin{aligned} \% \text{ kenaikan jumlah KK} &= \frac{1153}{2967} \times 100\% \\ &= 38,86 \% \end{aligned}$$

Jadi persentase kenaikan KK tiap area sebesar 38,86 %.

### Kelurahan Karangbesuki

➤ Menentukan nilai  $ka$  untuk masing-masing perubahan tahun

- Untuk tahun 2005 - 2004

$$ka = \frac{16573 - 16362}{2005 - 2004} = 211$$

- Untuk tahun 2006 – 2005

$$ka = \frac{16927 - 16573}{2006 - 2005} = 354$$

- Untuk tahun 2007 – 2006

$$ka = \frac{17374 - 16927}{2007 - 2006} = 447$$

- Untuk tahun 2008 - 2007

$$ka = \frac{17893 - 17374}{2008 - 2007} = 519$$

➤ Menentukan  $kg$  rata-rata

$$\overline{Ka} = \frac{211 + 354 + 447 + 519}{4}$$

$$= 382,8$$

➤ Memproyeksikan jumlah penduduk sampai tahun 2033

$$\begin{aligned} P_{2033} &= P_{2008} + \overline{Ka} (2033 - 2008) \\ &= 17.893 \text{ jiwa} + 382,8 (2033 - 2008) \end{aligned}$$

$$P_{2033} = 27.463 \text{ jiwa}$$

Penentuan debit air buangan berdasarkan perhitungan jumlah rumah yang ada dalam blok area pelayanan yang diproyeksikan selama 25 tahun serta memperhatikan pengembangan area tersebut. Berdasarkan jumlah penduduk tahun 2008 sebesar 17.893 dengan jumlah keluarga sebanyak 6.378 KK (*lihat di BAB IV Halaman 36*) maka dapat dihitung jumlah orang per KK adalah :

33-08-86 received from John XXIII an offering envelope that

## *Lauderdales* and *Levi*

podla napadlých programů jazyku Java je tedy nejdoporučenější.

4000 - 6000 kg/m<sup>3</sup> densité

$$H_1 = \frac{S_{\text{SOI}} - E_{\text{SOI}}}{E_{\text{SOI}} - P_{\text{SOI}}} \approx 0.1$$

2000-0605 medha kashyap

$$\text{phi} = \frac{\text{FCF0} - \text{FCF01}}{\text{P0} + \text{C0}} = 0.1$$

2000E = 2000E (modest change)

$$T_{\text{eff}} = \frac{F_{\text{SPH}} \cdot A_{\text{TEF}}}{A_{\text{SPH}} \cdot F_{\text{TEF}}} = 100$$

2000-2005 median family

~~1971-0001~~

#### Stress and the language

$$213 + 554 + 322 + 112 = 1000$$

353

FFWC and its licensees and partners do not necessarily endorse the products or services offered by our partners.

1800-1850: 176. 1800-1850: 176

DOI: 10.1017/S0008026610002519

2011 EDITION - Page 37

Asuncion, 10 de Junio de 2002  
Enviado por el Oficina del Ministro de Relaciones Exteriores

$$= \frac{17.893 \text{ jiwa}}{6.378 \text{ KK}} = 2,81 \approx 3 \text{ jiwa/KK}$$

Berdasarkan asumsi proyeksi jumlah penduduk diasumsikan sebesar 3 jiwa untuk 1 KK dengan kebutuhan air ( $K_{ab}$ ) rata - rata sebesar 170 liter/hari/jiwa.

Dengan mengetahui jumlah penduduk tahun 2033 sebesar 27.463 jiwa, maka dapat dihitung persentase ( % ) kenaikan jumlah KK dalam 25 tahun proyeksi perencanaan dengan cara sebagai berikut :

$$\text{Kenaikan jumlah penduduk} = 27.463 - 17.893$$

$$= 9.570 \text{ jiwa}$$

$$\text{Kenaikan jumlah KK} = \frac{9.570 \text{ jiwa}}{3} = 3190 \text{ KK}$$

$$\% \text{ kenaikan jumlah KK} = \frac{3190}{6378} \times 100\%$$

$$= 50,02 \%$$

Jadi persentase kenaikan KK tiap area sebesar 50,02 %.

## 5.5 Proyeksi Fasilitas

Proyeksi fasilitas digunakan untuk memperkirakan fasilitas periode perencanaan yaitu 25 tahun kedepan. Proyeksi ini menggunakan pendekatan nilai perbandingan jumlah penduduk tahun proyeksi dengan tahun sekarang yang diasumsikan ekivalen dengan perbandingan jumlah fasilitas tahun proyeksi dengan jumlah fasilitas tahun sekarang (*Data fasilitas di lihat di Tabel 4.8 dan 4.9, BAB IV halaman 37*).

$$\text{Rumus: } \frac{X}{Z} = \frac{\sum P_n}{\sum P_o}$$

### a) Kelurahan Sumbersari

Contoh perhitungan proyeksi fasilitas pada fasilitas pendidikan:

$$\frac{X}{Z} = \frac{\sum P_n}{\sum P_o}$$

$$\frac{X}{20} = \frac{19909}{14146}$$

30 1919

卷二

Ein europäischer Rückgrat aus dem 19. Jahrhundert bestand aus:

33) *Georgianos* *Georgianos*

$$\text{NUMBER} = \frac{\sum_{i=1}^n x_i}{\sum_{i=1}^n y_i}$$

Types of Sums of Two Squares

poorly soluble in water and has a low solubility product ( $K_{sp}$ ) of  $10^{-10.7}$ .

272 *Geophagus brasiliensis*

यापि विजयवासी यजमान पूर्व नहीं एवं विजयवासी यजमान

• 2003

39 percent of all children under age 18 are poor.

$$\text{Kontingenční faktor } K = \frac{3}{\partial \text{ZAO} / \partial \text{Q}} = 3180 \text{ KK}$$

W. G. BROWN

បានឯករាជ្យបច្ចេកទេសនៃជាតិខ្មែរ នូវការណា ដើម្បីរាយការណ៍របស់ខ្លួន។

нужно забыть прошлые беседы ( « ) сократовскую логикой и вспомнить прошлые

Гендерен социализацији је већа утицајност најактивнијег члана семејства, али и најактивнијим чланом семејства је и његова мајка.

$$X = 28 \text{ buah}$$

Untuk selanjutnya hasil proyeksi fasilitas tersebut dapat diketahui pada tabel 5.17

**Tabel 5.17.**  
**Hasil Proyeksi Fasilitas**

No	Fasilitas	Tahun	
		2008	2033
1.	Pendidikan	20	28
2.	Kesehatan	3	4
3.	Peribadatan	29	41
4.	Industri usaha / Perkantoran	69	97
<b>Total</b>		<b>121</b>	<b>170</b>

Sumber : Hasil Perhitungan

**a) Kelurahan Karangbesuki**

Contoh perhitungan proyeksi fasilitas pada fasilitas pendidikan:

$$\frac{X}{Z} = \frac{\sum P_n}{\sum P_o}$$

$$\frac{X}{17} = \frac{27463}{17893}$$

$$X = 26 \text{ buah}$$

Untuk selanjutnya hasil proyeksi fasilitas tersebut dapat diketahui pada tabel 5.18

**Tabel 5.18.**  
**Hasil Proyeksi Fasilitas**

No	Fasilitas	Tahun	
		2008	2033
1.	Pendidikan	17	26
2.	Kesehatan	1	2
3.	Industri usaha/ Perkantoran	139	213
<b>Total</b>		<b>157</b>	<b>241</b>

Sumber : Hasil Perhitungan

Berdasarkan data yang terdapat pada tabel 5.17 dan 5.18 kemudian dilakukan perhitungan prakiraan pemakaian air bersih untuk fasilitas dengan asumsi didasarkan literatur (*M. Anis, Ahmad dan E. Joe, 1977*) sebagai berikut :

- Pendidikan : 800 l/hari tiap unit

- Kesehatan : 250 l/ hari
- Peribadatan : 1000 l/hari tiap unit
- Perkantoran : 21 l/hari tiap pekerja dengan rata-rata jumlah 20 orang

**Tabel 5.19.**  
**Perhitungan Prakiraan Pemakaian Air Bersih Untuk Fasilitas Tahun 2033**  
**di Kelurahan Sumbersari**

No	Fasilitas	Tahun 2033	Pemakaian Air Bersih (l / hari)
1.	Pendidikan	28	22.400
2.	Kesehatan	4	1.000
3.	Peribadatan	41	41.000
4.	Industri / Perkantoran	97	2.037
<b>Total</b>		<b>170</b>	<b>66.437</b>

Sumber : Hasil Perhitungan

**Tabel 5.20.**  
**Perhitungan Prakiraan Pemakaian Air Bersih Untuk Fasilitas Tahun 2033**  
**di Kelurahan Karangbesuki**

No	Fasilitas	Tahun 2033	Pemakaian Air Bersih (l / hari)
1.	Pendidikan	26	20.800
2.	Kesehatan	2	500
3.	Industri / Perkantoran	213	4.473
<b>Total</b>		<b>241</b>	<b>25.773</b>

Sumber : Hasil Perhitungan

### 5.5.1 .Debit Air Buangan

#### a. Debit Air Buangan Rumah Tangga

Kelurahan Sumbersari dan Kelurahan Karangbesuki sebagai daerah studi didominasi oleh perumahan dan hunian sementara seperti penginapan dan kosan, oleh karena itu sistem pembuangan air kotornya bersifat tunggal. Jadi langsung dibuang pada saluran didepan maupun disamping rumah. Kebutuhan air bersih rata-rata sebesar 170 lt/jiwa/hari, maka besarnya debit air kotor yang dibuang dapat dihitung dengan rumus :

$$Q_d = \frac{Pn \cdot 80\% \cdot Q_{keb}}{A}$$

## 60 - FEDERAL

କେବଳ ପ୍ରାଚୀନତାର ଅବଶ୍ୟକ ଲାଭରେ

антическое значение (120). Важнейшим методом работы в античной философии было изучение языка как средства выражения мысли и выражения мысли как средства выражения языка. Поэтому античные философы не только занимались изучением языка, но и занимались изучением мысли, ее структуры, ее форм, ее законов.

the desired higher hydrocarbon content and the desired C<sub>5</sub> content.

## STATE DEPARTMENT, RAYMOND

Category	Count	Total
1. 1000000 - 10000000	843	32143
2. 10000000+	2	6532
3. 100000000+	1	180
4. 1000000000+	39	30360
Total	874	63613

CH 37577-9700 2001-08-01

1. 1. 2022-12-31  
2. 1. 2023-01-01

#### ST. MARY'S TERRITORY PROBLEMS

1. *W. C. L. 1901*

- **Geplante** : 35 - neue polit. Bezirke mit gleicher Zahl, aber leichter je nach Größe
  - **Geplante** : 1000. Punktgruppe
  - **Geplante** : 1920. Punktgruppe

Diketahui :

- $P_n = 19909$  jiwa
- $Q_{keb} = 170 \text{ lt/jiwa/hari} \approx 0,001968 \text{ lt/dtk/jiwa}$
- $A = 142,8 \text{ ha} \approx 1,428 \text{ km}^2$

Maka :

$$\begin{aligned} Q_d &= \frac{P_n \cdot 80\% \cdot Q_{keb}}{A} \\ &= \frac{19909 \cdot 80\% \cdot 0,001968}{1,428} \\ &= 21,950 \text{ lt/dtk/km}^2 \approx 0,021950 \text{ m}^3/\text{dtk.km}^2 \end{aligned}$$

b. Debit Air Buangan Fasilitas

Dari perhitungan prakiraan pemakaian air bersih untuk fasilitas tahun 2033 pada tabel 5.20 diatas maka dapat dihitung debit air buangannya dengan mengacu pada teori bahwa air buangan merupakan 80% dari pemakaian air bersih.

$$Q_d = \frac{P_n \cdot 80\% \cdot Q_{keb}}{A}$$

Diketahui :

- $P_n = 19909$  jiwa
- $Q_{keb} = 66437 \text{ lt/hari} \approx 0,769 \text{ lt/dtk}$
- $A = 142,8 \text{ ha} \approx 1,428 \text{ km}^2$

Maka :

$$\begin{aligned} Q_d &= \frac{P_n \cdot 80\% \cdot Q_{keb}}{A} \\ &= \frac{19909 \cdot 80\% \cdot 0,769}{1,428} \\ &= 8577 \text{ lt/dtk.km}^2 \approx 8,577 \text{ m}^3/\text{dtk.km}^2 \end{aligned}$$

c. Debit Air Buangan Total

Debit air bungan total didapat dari akumulasi debit air buangan rumah tangga dan debit air buangan fasilitas. Maka debit air buangannya :

$$\begin{aligned} Q_d \text{ total} &= Q_d \text{ air buangan rumah tangga} + Q_d \text{ air buangan fasilitas} \\ &= 0,021950 \text{ m}^3/\text{dtk.km}^2 + 8,577 \text{ m}^3/\text{dtk.km}^2 \end{aligned}$$

$$= 8,59895 \text{ m}^3/\text{dtk.km}^2$$

d. Debit Air Buangan Untuk Masing-masing Saluran

Untuk besarnya debit buangan untuk masing-masing saluran dapat dihitung dengan rumus :

$$Qd_{\text{saluran}} = Qd_{\text{total}} \times \text{luas daerah layanan}$$

Sebagai contoh diambil saluran 1A dengan luas sebesar  $0,05172 \text{ km}^2$

$$\begin{aligned} Qd_{\text{saluran}} &= Qd_{\text{total}} \times \text{luas daerah layanan} \\ &= 8,59895 \times 0,05172 \\ &= 0,444738 \text{ m}^3/\text{dtk.km}^2 \end{aligned}$$

Untuk hasil selengkapnya dapat dilihat pada tabel 5.21 dan 5.22.

### 5.5.2 Debit Banjir Rencana Saluran

Debit total yang digunakan untuk merencanakan suatu saluran yang berasal dari limpasan air hujan dan air buangan rumah tangga yang kemudian dijumlahkan untuk mendapatkan debit rencana saluran.

Contoh perhitungan pada saluran 1 :

$$\begin{aligned} Qr &= Qa_1 + Qa_2 + Qd_{\text{saluran}} \\ &= 0,000515 + 0,000699 + 0,444738 \\ &= 0,445952 \text{ m}^3/\text{dtk.km}^2 \end{aligned}$$

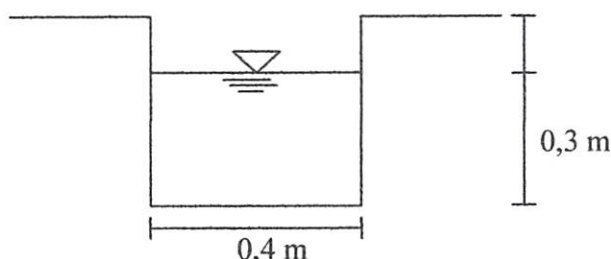
Untuk hasil selengkapnya dapat dilihat pada tabel 5.21 dan 5.22.

## 5.6 Analisis Saluran Drainase

Untuk mengetahui apakah saluran drainase mampu menampung debit rencana atau tidak, maka perlu dibandingkan besarnya debit rencana dan debit eksisting saluran drainase. Debit saluran eksisting dihitung berdasarkan dimensi saluran tersebut.

### 5.6.1 Dimensi saluran drainase eksisting

Bentuk penampang saluran eksisting berupa trapesium, segiempat, dan lingkaran. Berikut diperlihatkan salah satu contoh perhitungan kapasitas saluran drainase eksisting untuk saluran 2A di Jl. Sumbersari Gg I kiri berbentuk segi empat dapat dilihat pada gambar 5.1 berikut ini.



Berdasarkan hasil data yang diperoleh pada saluran 2A di Jl. Sumbersari Gg I kiri sebagai berikut:

Lebar dasar saluran rencana ( $b$ ) = 0,4 m, tinggi muka air rencana ( $h$ ) = 0,3 m, kemiringan dasar saluran ( $S$ ) = 0,003571, koefisien kekasaran manning ( $n$ ) = 0,025 maka :

- Luas penampang basah saluran

$$\begin{aligned} A &= b \times h \\ &= 0,4 \times 0,3 \\ &= 0,12 \text{ m}^2 \end{aligned}$$

- Keliling penampang basah saluran

$$\begin{aligned} P &= b + (2 \times h) \\ &= 0,4 + (2 \times 0,3) \end{aligned}$$

$$= 1,0$$

- Jari – jari hidrolis

$$\begin{aligned} R &= \frac{A}{P} \\ &= \frac{0,12}{1,0} = 0,12 \text{ m} \end{aligned}$$

- Kecepatan aliran

$$\begin{aligned} V &= \frac{1}{n} x R^{\frac{2}{3}} x S^{\frac{1}{2}} \\ &= \frac{1}{0,025} x (0,12)^{\frac{2}{3}} x (0,003571)^{\frac{1}{2}} \\ &= 0,581 \text{ m/dtk} \end{aligned}$$

### 5.6.2 Kapasitas saluran eksisting

Kapasitas saluran eksisting dihitung dengan menggunakan data kecepatan pengaliran dan luas penampang basah saluran, dengan rumus sebagai berikut :

$$Q = V \times A$$

Dengan contoh perhitungan kapasitas saluran drainase eksisting, yaitu saluran 2A di Jl. Sumbersari Gg I kiri, maka :

$$\begin{aligned} Q &= 0,581 \times 0,12 \\ &= 0,070 \text{ m}^3/\text{dtk} \end{aligned}$$

Untuk perhitungan kapasitas saluran drainase eksisting Kelurahan Sumbersari dapat dilihat pada tabel 5.23 sedangkan untuk perhitungan kapasitas saluran drainase eksisting Kelurahan Karangbesuki dapat dilihat pada tabel 5.24

## **BAB VI**

### **EVALUASI DATA**

#### **6.1. Penentuan Debit dan Area Genangan**

Mengevaluasi kapasitas saluran eksisting terhadap debit banjir rencana untuk perencanaan selama 25 tahun. Adapun langkah-langkah untuk menghitung kapasitas saluran adalah :

1. Hitung selisih antara debit maksimum saluran eksisting dengan debit banjir rencana.
2. Apabila dihasilkan nilai selisih positif ( + ) maka saluran eksisting tergenang, sehingga dimensinya harus diperbesar. Dan apabila didapatkan nilai selisih negatif ( - ) maka kapasitas saluran eksisting tidak tergenang.

Untuk contoh perhitungan dipakai saluran eksisting 1 B (Jl. Terusan Sigura-gura barat kiri).

Diketahui :

- Q saluran eksisting ( $Q_s$ ) :  $0,054 \text{ m}^3/\text{dtk}$
- Q banjir rencana ( $Q_r$ ) :  $0,244 \text{ m}^3/\text{dtk}$

Maka :

$$\begin{aligned} Q \text{ selisih kapasitas } (Q_k) &: Q_r - Q_s \\ &: 0,244 - 0,054 \\ &: 0,19 \text{ m}^3/\text{dtk} \text{ (Tergenang)} \end{aligned}$$

Dari perhitungan diatas dapat disimpulkan bahwa kapasitas saluran tersebut tidak mencukupi, sehingga perlu dilakukan normalisasi terhadap saluran tersebut. Untuk hasil selengkapnya dapat dilihat pada tabel 6.1 dan 6.2.

## 6.2 Penentuan variabel-variabel dalam perencanaan

Dalam merencanakan drainase dengan aplikasi SIG harus dilakukan pendigitan peta dan pemberian skala nilai yang berpengaruh sesuai dengan kriteria perencanaan yang terdiri dari 3 parameter yaitu tinggi genangan, luas genangan dan lama genangan

Tabel 6.3 Skor pada setiap variabel data perencanaan drainase

Jenis	Kriteria	Skor	Bobot	Skor total
Tinggi genangan	> 0,30 m	3	50%	1,5
	0,10 - 0,30 m	2		1
	< 0,10 m	1		0,5
Luas genangan	> 10.000 m <sup>2</sup>	3	30%	0,9
	1.000 s/d 10.000 m <sup>2</sup>	2		0,6
	< 1.000 m <sup>2</sup>	1		0,3
Lama genangan	> 20 menit	3	20%	0,6
	10 s/d 20 menit	2		0,4
	< 10 menit	1		0,2

Setelah pemberian nilai telah dilakukan maka tahap selanjutnya adalah mengetahui interval yang akan dipakai dalam perencanaan drainase. Untuk mengetahui nilai intervalnya, nilai tertinggi dari variabel dijumlahkan dan dikurangi dengan jumlah nilai yang terkecil, hasilnya akan dibagi sesuai dengan kelas yang diinginkan. Untuk lebih jelasnya dapat dilihat rumus berikut ini.

Jumlah nilai tertinggi :

$$1,5 + 0,9 + 0,6 = 3$$

Jumlah nilai terendah :

$$0,5 + 0,1 + 0,2 = 1$$

maka intervalnya :  $\frac{3-1}{3} = 0,7$

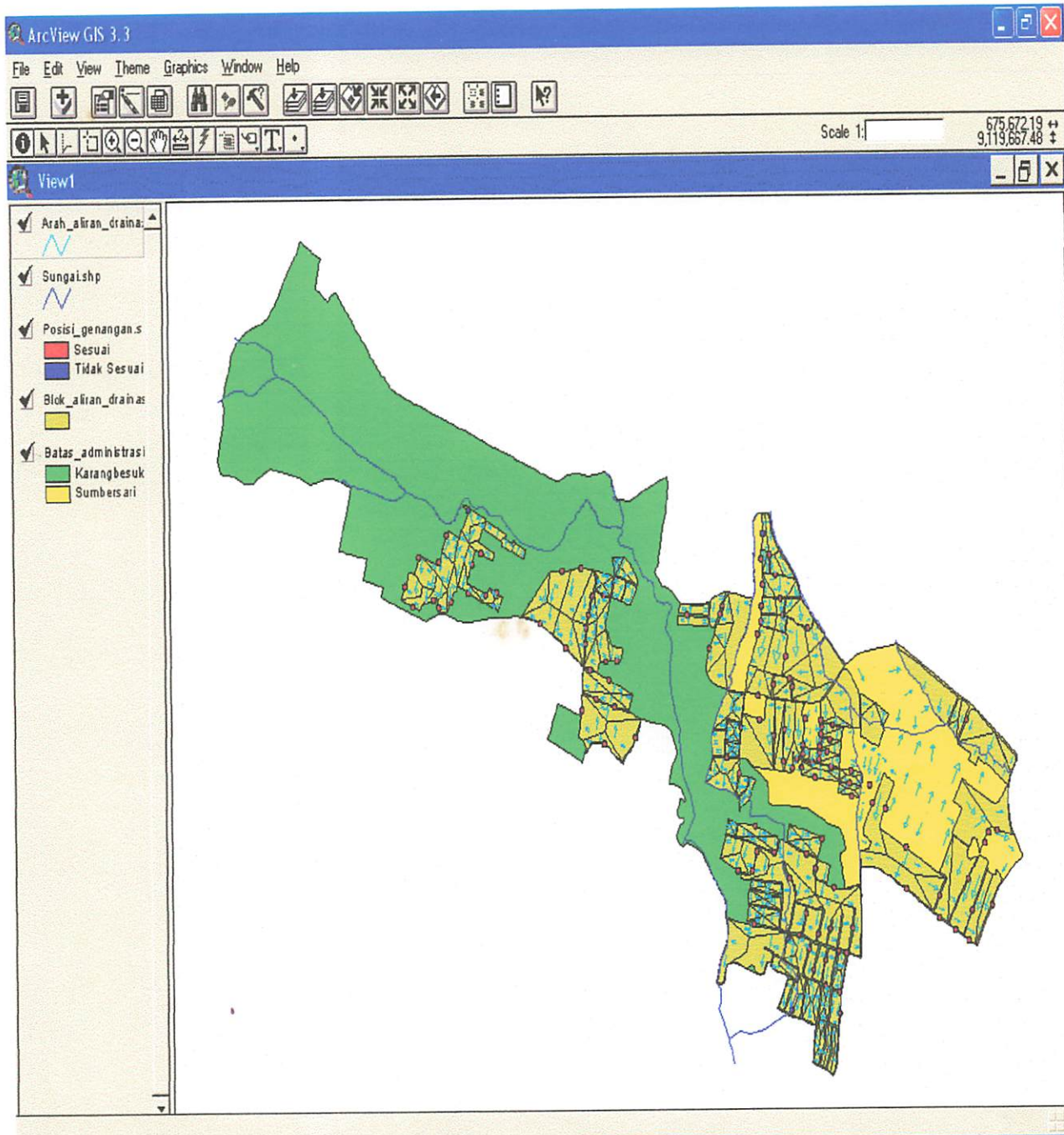
Sehingga akan dapat diperoleh tingkat kesuaian informasi genangan dalam perencanaan drainase sebagai berikut :

S<sub>1</sub> = Sesuai dengan skor 1,8 - 3

S<sub>2</sub> = Tidak sesuai dengan skor 1 – 1,7

Setelah mengetahui jumlah skor yang diperoleh maka secara tidak langsung akan didapatkan informasi genangan yang disesuaikan berdasarkan kriteria tinggi genangan, luas genangan dan lama genangan sehingga dapat dilakukan perencanaan.

**Gambar 6.1 Sistem Informasi titik genangan**



Dari gambar 6.1 dapat dilihat databasenya titik genangan drainase yang sudah disesuaikan berdasarkan 3 kriteria sehingga didapatkan titik genangan yang sesuai dan tidak sesuai dengan kriteria seperti yang dilihat pada 6.2 berikut.

**Gambar 6.2 Tampilan Data Base Titik Genangan Aliran Drainase**

Dari gambar 6.2 dapat dilihat di Kelurahan Sumbersari ada 1 titik yang tidak sesuai 3 kriteria genangan yaitu id genangan 201 dan di Kelurahan Karangbesuki ada 3 titik yang tidak sesuai 3 kriteria genangan yaitu id genangan 158, 165 dan 114 dengan eksisiting tinggi genangan 0,10 m, eksisting luas genangan  $900 \text{ m}^2$  dan eksisitng lama genangan 9 menit dengan nilai skor 1,3 yaitu tidak sesuai untuk perencanaan.

### **6.3 Perencanaan saluran**

Berdasarkan hasil evaluasi pada tabel 6.2 dan 6.3 diketahui ada saluran drainase yang mencukupi dan tidak mencukupi mengalirkan air buangan untuk 25 tahun kedepan. Sehingga dilakukan penanganan untuk saluran yang tidak mencukupi dengan normalisasi saluran seperti :

- a. Memperbesar dimensi saluran.
- b. Pembersihan sedimen dan sampah pada saluran.

Hasil perhitungan kapasitas saluran drainase baru dapat dilihat pada tabel 6.4 dan 6.5 berikut :

**Tabel 6.4.**  
**Perhitungan Kapasitas Saluran Maksimum Setelah memperbesar dimensi terhadap Debit Rencana di Sumbersari**

No	Kode Saluran	Nama Jalan	Kondisi Saluran	L baru (m)	h baru (m)	Qr (m <sup>3</sup> /dtk)	Qs (Dimesi Baru) (m <sup>3</sup> /dtk)	Qk (m <sup>3</sup> /dtk)	Keterangan
1	I3B	Gg Bendungan Bening	Kapasitas salurannya kecil sehingga tidak bisa menampung kiriman air dari badan jalan	1,2	0,6	0,426	0,911	-0,485	Mencukupi
2	I4A	Gg Bendungan Bening kiri	Kapasitas salurannya kecil sehingga tidak bisa menampung kiriman air dari badan jalan	0,9	0,7	0,729	0,806	-0,077	Mencukupi
3	I4C	Bend. Riam kanan	Saluran mengalami penyempitan akibat di sepanjang saluran tertutup rumah warga	0,9	0,5	0,590	0,864	-0,274	Mencukupi
4	I5	Bend. Jatiluhur kiri	Lokasi jalan merupakan elvevasi yang rendah dan kapasitas salurannya kecil sehingga tidak dapat menampung kiriman air dari badan jalan	1,2	0,6	0,164	1,366	-1,202	Mencukupi
5	I6	Bendungan Riam kanan	Saluran mengalami penyempitan akibat di sepanjang saluran tertutup rumah warga	1,1	0,6	0,393	1,565	-1,172	Mencukupi
6	33	Sumbersari Gg VII kanan	Kapasitas salurannya kecil sehingga tidak bisa menampung kiriman air dari badan jalan	0,9	0,8	0,804	0,906	-0,102	Mencukupi
7	34	Ambarawa kanan	Saluran mengalami kerusakan akibat gerusan air	1,2	1,0	1,333	1,355	-0,022	Mencukupi
8	35A	Terusan Ambarawa kanan	Saluran mengalami penyempitan akibat di sepanjang saluran tertutup rumah warga	1,3	0,9	1,537	2,165	-0,628	Mencukupi
9	35B	Terusan Ambarawa kanan	Saluran mengalami penyempitan akibat di sepanjang saluran tertutup rumah warga	1,5	1,4	1,279	1,805	-0,526	Mencukupi

Sumber : Hasil Perhitungan dan Survei lapangan

**Tabel 6.5.**  
**Kapasitas Saluran Maksimum setelah pembersihan sedimen terhadap Debit Rencana di Sumbersari**

No	Kode Saluran	Nama Jalan	Kondisi Saluran	L baru (m)	h baru (m)	Qr (m <sup>3</sup> /dtk)	Qs (Dimesi Baru) (m <sup>3</sup> /dtk)	Qk (m <sup>3</sup> /dtk)	Keterangan
1	1B	Terusan Sigura-gura barat kiri	Saluran mengalami pendangkalan karena adanya sedimen	0,9	0,5	0,244	0,378	-0,134	Mencukupi
2	2A	Sumbersari Gg I kiri	Inlet saluran tertutup sedimen	1,1	0,6	0,120	0,753	-0,633	Mencukupi
3	2B	Terusan Sigura-gura barat kiri	Terdapat sampah pada saluran	1,1	0,6	0,109	0,753	-0,644	Mencukupi
4	3B	Sumbersari Gg II kiri	Saluran mengalami penyempitan karena terdapat endapan sampah dan sedimen	1,3	0,7	0,228	1,394	-1,166	Mencukupi
5	4A	Terusan Sigura-gura barat kiri	Saluran mengalami pendangkalan karena adanya sedimen	0,9	0,5	0,209	0,351	-0,142	Mencukupi
6	4B	Sumbersari Gg III kiri	Saluran mengalami penyempitan karena adanya tanaman liar yang tumbuh di dalam saluran	0,9	0,6	0,650	0,711	-0,061	Mencukupi
7	5A	Terusan Sigura-gura barat kiri	Saluran mengalami pendangkalan karena adanya sedimen	1,2	0,6	0,325	0,858	-0,533	Mencukupi
8	6B	Sumbersari Gg IV kiri	Dasar saluran dipenuhi sampah dan sedimen	0,9	0,6	0,590	0,760	-0,170	Mencukupi
9	7A	Terusan Sigura-gura barat kiri	Adanya penyumbatan inlet saluran karena adanya sedimen	0,9	0,7	0,252	0,316	-0,064	Mencukupi
10	7B	Sumbersari Gg IV kanan	Kondisi sebagian saluran dipenuhi rumput liar	0,8	0,5	0,223	1,082	-0,859	Mencukupi
11	8A	Terusan Sigura-gura barat kiri	Kondisi saluran banyak sampahnya jadi sewaktu hujan air meluap	0,9	0,5	0,861	1,148	-0,287	Mencukupi
12	8B	Bend. Sigura-gura IV kanan	Dasar saluran dipenuhi sampah dan sedimen	1,0	0,6	0,945	1,162	-0,217	Mencukupi
13	9A	Sumbersari Gg IV kanan	Saluran mengalami pendangkalan karena adanya sedimen	1,2	0,6	1,197	1,368	-0,171	Mencukupi
14	9C	Bend. Sigura-gura III kiri	Saluran mengalami penyempitan karena adanya tanaman liar yang tumbuh di dalam saluran	0,9	0,5	0,682	1,808	-1,126	Mencukupi
15	9E	Bend. Sigura-gura III kiri	Saluran mengalami penyempitan karena	0,6	0,5	0,329	0,618	-0,289	

			adanya tanaman liar yang tumbuh di dalam saluran						Mencukupi
16	10B	Bend. Sigura-gura kanan	Terdapat banyak sedimen pada saluran	0,9	0,6	0,538	0,904	-0,366	Mencukupi
17	11A	Bend. Sigura-gura V kiri	Inlet saluran tertutup sedimen	0,9	0,5	0,280	1,221	-0,941	Mencukupi
18	12A	Gg Bend. Batu jahe kiri	Inlet limpasan air hujan yang menuju limpasan kurang	1,1	0,6	1,269	1,679	-0,410	Mencukupi
19	12B	Terusan Bend. Sigura-gura kanan	Dasar saluran dipenuhi sampah dan sedimen	1,2	0,6	1,181	1,547	-0,366	Mencukupi
20	13A	Gg Bend. Sengguruh kiri	Terdapat sampah pada saluran	1,2	0,6	0,457	0,996	-0,539	Mencukupi
21	17A	Bendungan Tangga kiri	Saluran mengalami pendangkalan karena adanya sedimen	0,8	0,5	0,334	1,038	-0,704	Mencukupi
22	17C	Bendungan Tangga kiri	Saluran mengalami pendangkalan karena adanya sedimen	0,8	0,5	0,201	0,484	-0,283	Mencukupi
23	18	Bend. Kedungombo kanan	Saluran dipenuhi sedimen	0,8	0,5	0,249	0,494	-0,245	Mencukupi
24	19A	Bend. Kedungombo kiri	Sebagian saluran dipenuhi sedimen	0,6	0,5	0,196	0,745	-0,549	Mencukupi
25	19B	Bendungan Darma kiri	Saluran mengalami penyempitan karena adanya tanaman liar yang tumbuh di dalam saluran	0,6	0,5	0,195	0,336	-0,141	Mencukupi
26	21	Bend. Kedungombo kanan	Saluran dipenuhi sedimen	0,8	0,5	0,257	0,485	-0,228	Mencukupi
27	22A	Bend. Kedungombo kiri	Sebagian saluran dipenuhi sedimen	0,6	0,5	0,168	0,413	-0,245	Mencukupi
28	22B	Bendungan Sempor kiri	Saluran tertutup semak dan rumput sehingga pada saat hujan air meluap	0,6	0,5	0,194	0,324	-0,130	Mencukupi
29	23A	Bend. Riam Kanan (kiri)	Terdapat sampah pada saluran	0,6	0,5	0,105	0,498	-0,393	Mencukupi
30	23B	Bend. Kedungombo kanan	Saluran dipenuhi sedimen	0,6	0,5	0,153	0,439	-0,286	Mencukupi
31	24A	Bendungan Kedungombo kiri	Sebagian saluran dipenuhi sedimen	0,6	0,5	0,187	0,405	-0,218	Mencukupi
32	24B	Bendungan Wlingi kiri	Inlet saluran tertutup sedimen	0,6	0,5	0,178	0,329	-0,151	Mencukupi
33	26A	Bend. Riam Kanan (kiri)	Terdapat sampah pada saluran	0,6	0,5	0,102	0,745	-0,643	Mencukupi
34	26B	Bendungan Wlingi kanan	Dasar saluran dipenuhi sampah dan sedimen	0,6	0,5	0,197	0,287	-0,090	Mencukupi
35	26D	Bendungan Wonogiri kiri	Terdapat sampah pada saluran	0,8	0,5	0,298	0,546	-0,248	Mencukupi
36	27B	Bendungan Wlingi kanan	Dasar saluran dipenuhi sampah dan sedimen	0,6	0,5	0,120	0,376	-0,256	Mencukupi
37	28B	Bendungan Wonogiri kanan	Lokasi jalan merupakan elvevasi yang rendah dan terdapat sedimen pada saluran	0,6	0,5	0,098	0,335	-0,237	Mencukupi
38	28D	Bendungan Jatigede kiri	Saluran mengalami penyempitan akibat	0,6	0,5	0,143	0,328	-0,185	

			sedimen						Mencukupi
39	32A	Gombong kiri	Saluran dipenuhi sampah dan sedimen	0,9	0,7	0,823	0,909	-0,086	Mencukupi
40	35C	Gg Surabaya dalam kanan	Inlet limpasan air hujan yang menuju limpasan kurang	1,2	0,8	0,731	1,357	-0,626	Mencukupi
41	35D	Surabaya kiri	Terdapat tumbuhan liar pada dasar saluran	1,5	1,4	1,578	2,212	-0,634	Mencukupi
42	36A	Surakarta kiri	Sebagian saluran dipenuhi dengan sedimen	1,2	1,0	0,936	1,580	-0,644	Mencukupi
43	36B	Salatiga kiri	Terdapat tanaman liar pada saluran	1,2	1,0	1,333	2,009	-0,676	Mencukupi
44	37	Salatiga kanan	Terdapat tanaman liar pada saluran	0,9	0,7	0,902	1,353	-0,451	Mencukupi
45	39A	Semarang kanan	Sebagian saluran dipenuhi dengan sedimen	1,3	0,9	1,516	1,538	-0,022	Mencukupi
46	39B	Surabaya kiri	Terdapat tumbuhan liar pada dasar saluran	0,9	0,7	0,812	1,347	-0,535	Mencukupi
47	40A	Blitar kanan	Terdapat banyak sedimen pada saluran	1,2	0,8	0,736	1,095	-0,359	Mencukupi
48	40B	Surabaya kiri	Terdapat tumbuhan liar pada dasar saluran	0,9	0,7	0,796	1,331	-0,535	Mencukupi
49	41A	Surabaya kiri	Terdapat tumbuhan liar pada dasar saluran	0,9	0,7	0,805	1,390	-0,585	Mencukupi
50	41B	Surabaya dalam kanan	Saluran mengalami penyempitan karena adanya tanaman liar yang tumbuh di dalam saluran	1,2	0,8	0,702	1,072	-0,370	Mencukupi

Sumber : Hasil Perhitungan dan Survei lapangan

**Tabel 6.6.**  
**Kapasitas Saluran Maksimum setelah Memperbesar dimensi terhadap Debit Rencana di Karangbesuki**

No	Kode Saluran	Nama Jalan	Kondisi Saluran	L baru (m)	h baru (m)	Qr (m <sup>3</sup> /dtk)	Qs (Dimesi Baru) (m <sup>3</sup> /dtk)	Qk (m <sup>3</sup> /dtk)	Keterangan
1	23C	Raya Candi 3B kanan	Saluran mengalami penyempitan akibat di sepanjang saluran tertutup rumah warga	0,6	0,5	0,071	0,676	-0,605	Mencukupi
2	23D	Raya Candi 3B kanan	Saluran mengalami penyempitan akibat di sepanjang saluran tertutup rumah warga	0,6	0,5	0,060	0,417	-0,357	Mencukupi
3	39B	Kaluta kiri	Kapasitas salurannya kecil sehingga tidak bisa menampung kiriman air dari badan jalan	0,8	0,5	0,042	0,443	-0,401	Mencukupi
4	42	Lokon kiri	Kapasitas salurannya kecil sehingga tidak bisa menampung kiriman air dari badan jalan	0,8	0,5	0,115	0,424	-0,309	Mencukupi

*Sumber : Hasil Perhitungan Survei lapangan*

**Tabel 6.7.**  
**Kapasitas Saluran Maksimum setelah pembersihan sedimen terhadap Debit Rencana di Karangbesuki**

No	Kode Saluran	Nama Jalan	Kondisi Saluran	L baru (m)	h baru (m)	Qr (m <sup>3</sup> /dtk)	Qs (Dimesi Baru) (m <sup>3</sup> /dtk)	Qk (m <sup>3</sup> /dtk)	Keterangan
1	1A	Bukit Cemara Tidar kanan	Terdapat tanaman liar pada saluran	0,9	0,5	0,105	1,043	-0,938	Mencukupi
2	1F	Bukit Cemara Tidar kanan	Terdapat tanaman liar pada saluran	1,2	0,9	0,106	1,113	-1,007	Mencukupi
3	1H	Bukit Cemara Tidar kanan	Terdapat tanaman liar pada saluran	0,6	0,5	0,064	0,571	-0,507	Mencukupi
4	1I	Bukit Cemara Tidar kiri	Terdapat endapan dan sampah pada saluran	0,9	0,5	0,069	0,745	-0,676	Mencukupi
5	1J	Bukit Cemara Tidar kiri	Terdapat endapan dan sampah pada saluran	0,8	0,5	0,155	0,827	-0,672	Mencukupi
6	1K	Bukit Cemara Tidar kanan	Terdapat tanaman liar pada saluran	0,6	0,5	0,075	0,624	-0,549	Mencukupi
7	1L	Bukit Cemara Tidar kiri	Terdapat endapan dan sampah pada saluran	0,9	0,5	0,080	0,394	-0,314	Mencukupi
8	1M	Bukit Cemara Tidar kiri	Terdapat endapan dan sampah pada saluran	0,9	0,5	0,060	0,591	-0,531	Mencukupi
9	1N	Bukit Cemara Tidar kiri	Terdapat endapan dan sampah pada saluran	0,6	0,5	0,019	0,615	-0,596	Mencukupi
10	1Q	Bukit Cemara Tidar kiri	Terdapat endapan dan sampah pada saluran	0,6	0,5	0,142	0,520	-0,378	Mencukupi
11	1R	Bukit Cemara Tidar kanan	Terdapat tanaman liar pada saluran	0,6	0,5	0,084	0,659	-0,575	Mencukupi
12	1S	Bukit Cemara Tidar kanan	Terdapat tanaman liar pada saluran	0,6	0,5	0,055	0,569	-0,514	Mencukupi
13	1T	Bukit Cemara Tidar kiri	Terdapat endapan dan sampah pada saluran	0,9	0,5	0,115	0,425	-0,310	Mencukupi
14	1U	Bukit Cemara Tidar kanan	Terdapat tanaman liar pada saluran	0,9	0,5	0,099	0,799	-0,700	Mencukupi
15	2B	Raya Candi kanan	Lokasi jalan merupakan elvevasi yang rendah dan terdapat sedimen pada saluran	0,8	0,5	0,213	0,519	-0,306	Mencukupi
16	2C	Raya Candi kanan	Lokasi jalan merupakan elvevasi yang rendah dan terdapat sedimen pada saluran	0,8	0,5	0,285	0,474	-0,189	Mencukupi
17	2D	Candi 5D kiri	Sampah menutupi inlet saluran	0,8	0,5	0,162	0,300	-0,138	Mencukupi
18	2E	Candi kanan	Terdapat sampah pada saluran	0,8	0,5	0,189	0,372	-0,183	Mencukupi

19	2F	Candi kiri	Terdapat sampah pada saluran	0,8	0,5	0,236	0,387	-0,151	Mencukupi
20	2G	Candi 5D kiri	Sampah menutupi inlet saluran	0,8	0,5	0,097	0,454	-0,357	Mencukupi
21	7A	Candi 5D kanan	Terdapat tanaman liar pada saluran	0,8	0,5	0,091	0,454	-0,363	Mencukupi
22	7B	Candi 5D kanan	Terdapat tanaman liar pada saluran	0,8	0,5	0,055	0,380	-0,325	Mencukupi
23	7C	Candi 5D kanan	Terdapat tanaman liar pada saluran	0,6	0,5	0,072	0,572	-0,500	Mencukupi
24	7E	Candi 5B kiri	Terdapatendapan dan sampah pada saluran	0,8	0,5	0,091	0,489	-0,398	Mencukupi
25	7F	Candi 5B kiri	Terdapatendapan dan sampah pada saluran	0,6	0,5	0,103	0,422	-0,319	Mencukupi
26	7G	Candi 5B kiri	Terdapatendapan dan sampah pada saluran	0,8	0,5	0,073	0,233	-0,160	Mencukupi
27	8B	Candi 5B kanan	Terdapat banyak sedimen pada dasar saluran	0,8	0,5	0,110	0,337	-0,227	Mencukupi
28	8D	Candi 5A kiri	Saluran dipenuhi sampah dan sedimen	0,8	0,5	0,100	0,336	-0,236	Mencukupi
29	9A	Candi kanan	Terdapat sampah pada saluran	0,6	0,5	0,259	0,492	-0,233	Mencukupi
30	9B	Candi 5A kanan	Saluran dipenuhi sampah dan sedimen	0,8	0,5	0,174	0,533	-0,359	Mencukupi
31	9C	Candi kiri	Terdapat sampah pada saluran	0,6	0,5	0,302	0,475	-0,173	Mencukupi
32	9D	Candi kiri	Terdapat sampah pada saluran	0,8	0,5	0,104	0,545	-0,441	Mencukupi
33	11	Bendungan Palasari kanan	Saluran tertutup semak dan rumput sehingga pada saat hujan air meluap	0,8	0,5	0,098	0,287	-0,189	Mencukupi
34	12	Sunan Kalijaga kanan	Saluran mengalami pendangkalan karena adanya sedimen	0,8	0,5	0,111	0,394	-0,283	Mencukupi
35	13A	Sunan Kalijaga kiri	Saluran mengalami pendangkalan karena adanya sedimen	0,8	0,5	0,114	0,428	-0,314	Mencukupi
36	13C	Sunan Kalijaga kiri	Saluran mengalami pendangkalan karena adanya sedimen	0,8	0,5	0,079	0,318	-0,239	Mencukupi
37	18B	Terusan Sigura-gura blok C kanan	Saluran mengalami penyempitan karena adanya tanaman liar yang tumbuh di dalam saluran	0,6	0,5	0,089	0,400	-0,311	Mencukupi
38	18C	Terusan Sigura-gura blok F kanan	Saluran mengalami penyempitan karena adanya tanaman liar yang tumbuh di dalam saluran	0,8	0,5	0,066	0,566	-0,500	Mencukupi
39	22B	Raya Candi 3A kanan	Terdapat sampah pada saluran	0,8	0,5	0,072	0,389	-0,317	Mencukupi
40	24	Raya Candi 2 kanan	Tersumbatnya inlet karena adanya sampah dan sedimen	0,8	0,5	0,082	0,266	-0,184	Mencukupi
41	25B	Raya Candi 3E kanan	Terdapat banyak sedimen pada dasar saluran	0,8	0,5	0,115	0,409	-0,294	Mencukupi

42	25C	Raya Candi 3E kanan	Terdapat banyak sedimen pada dasar saluran	0,6	0,5	0,095	0,414	-0,319	Mencukupi
43	26A	Raya Candi 3E kiri	Terdapat banyak sedimen pada dasar saluran	0,9	0,5	0,125	0,228	-0,103	Mencukupi
44	26B	Raya Candi 3A kiri	Terdapat sampah pada saluran	0,9	0,7	0,383	0,438	-0,055	Mencukupi
45	26D	Raya Candi 2 kanan	Tersumbatnya inlet karena adanya sampah dan sedimen	0,8	0,5	0,170	0,256	-0,086	Mencukupi
46	26E	Tidar Utara kiri	Saluran mengalami penyempitan karena adanya tanaman liar yang tumbuh di dalam saluran	0,6	0,5	0,129	0,413	-0,284	Mencukupi
47	26G	Mandala Wangi kanan	Sampah menutupi inlet saluran	0,8	0,5	0,165	0,579	-0,414	Mencukupi
48	26I	Kaluta kiri	Terdapat tanaman liar pada saluran	0,8	0,5	0,162	0,530	-0,368	Mencukupi
49	26J	Kaluta kanan	Terdapat tanaman liar pada saluran	0,8	0,5	0,223	0,413	-0,190	Mencukupi
50	30	Latimojong Bawah	Saluran mengalami penyempitan karena adanya tanaman liar yang tumbuh di dalam saluran	0,8	0,5	0,124	0,410	-0,286	Mencukupi
51	31	Meratus	Inlet limpasan air hujan yang menuju limpasan kurang	0,8	0,5	0,152	0,378	-0,226	Mencukupi
52	32B	Tidar kiri	Saluran mengalami penyempitan karena adanya tanaman liar yang tumbuh di dalam saluran	0,8	0,5	0,135	0,380	-0,245	Mencukupi
53	34A	Tidar Selatan kiri	Sampah menutupi inlet saluran	0,8	0,5	0,062	0,256	-0,194	Mencukupi
54	34B	Latimojong Bawah kiri	Saluran mengalami penyempitan karena adanya tanaman liar yang tumbuh di dalam saluran	0,8	0,5	0,041	0,379	-0,338	Mencukupi
55	34C	Lompo Batang kanan	Saluran dipenuhi sampah dan sedimen	0,8	0,5	0,077	0,344	-0,267	Mencukupi
56	34F	Taman Agung kiri	Saluran dipenuhi sampah dan sedimen	0,8	0,5	0,064	0,201	-0,137	Mencukupi
57	36	Kinbalu	Sampah menutupi inlet saluran	0,8	0,5	0,102	0,438	-0,336	Mencukupi
58	37	Tambora	Terdapat sampah pada saluran	0,8	0,5	0,100	0,444	-0,344	Mencukupi
59	38	Soputan	Saluran tertutup semak dan rumput sehingga pada saat hujan air meluap	0,8	0,5	0,108	0,460	-0,352	Mencukupi
60	41B	Soputan kanan	Saluran tertutup semak dan rumput sehingga pada saat hujan air meluap	0,8	0,5	0,017	0,461	-0,444	Mencukupi

Sumber : Hasil Perhitungan dan Survei lapangan

## **BAB VII**

### **PENUTUP**

#### **7.1 Kesimpulan**

Dari hasil perencanaan drainase di Kelurahan Sumbersari dan Kelurahan Karangbesuki dapat diambil kesimpulan sebagai berikut:

1. Saluran drainase tidak dapat berfungsi dengan baik disebabkan adanya sedimen dan sampah pada saluran maupun penataan tata guna lahan yang tidak memperhatikan sistem drainase yang ada, sehingga terdapat 59 titik genangan di Kelurahan Sumbersari dan 64 titik genangan di Kelurahan Karangbesuki.
2. Berdasarkan evaluasi kondisi dimensi saluran drainase, ada yang mencukupi dan tidak mencukupi, maka dilakukan penanganan untuk saluran yang tidak mencukupi dengan normalisasi saluran yaitu pembersihan sedimen dan sampah pada saluran dan memperbesar dimensi terhadap debit rencana sehingga kapasitas saluran drainase semuanya mencukupi.

#### **7.2 Saran**

1. Jika dilihat dari permasalahan genangan banjir di daerah perencanaan salah satunya adalah karena sedimentasi dan sampah maka hendaknya tidak membuang sampah, bahan – bahan plastik atau bahan bangunan ke dalam saluran drainase yang nantinya dapat menghambat aliran tersebut.
2. Fungsi lahan yang ada untuk penghijauan hendaknya dipertahankan agar kemampuan daya resap tanah akibat limpasan air hujan semakin besar.
3. Perlu dilakukan perhitungan lebih lanjut tentang anggaran biaya.
4. Perlu dilakukan pengecekan secara berkala dan mengeruk atau mengangkat endapan lumpur untuk mempertahankan kapasitas saluran.
5. Hendaknya hasil dari perencanaan dapat dijadikan pertimbangan dalam mengatasi genangan yang terjadi di Kelurahan Sumbersari Kecamatan Lowokwaru dan Kelurahan Karangbesuki Kecamatan Sukun Kota Malang.

## DAFTAR PUSTAKA

- Anonim, 2008. "*Monografi Kelurahan Karangbesuki Kecamatan Sukun Kota Malang semester II (bulan Januari – Juni)*"
- Anonim, 2008. "*Monografi Kelurahan Sumbersari Kecamatan Lowokwaru Kota Malang semester II (bulan Januari – Juni)*"
- Anonim, 2002. "*Pedoman/Petunjuk Teknik Dan Manual Edisi Pertama Desember (Bagian 6 Volume IV, V & VI Air Minum Perkotaan)*". Badan Penelitian Dan Pengembangan, Jakarta.
- Budiyanto, E, 2002. "*Sistem Informasi Geografis Menggunakan Arc View GIS*". Penerbit Andi, Yogyakarta.
- [Http://Digilib.Ampl.go.id/drainase\\_pemukiman\\_kota\\_malang](http://Digilib.Ampl.go.id/drainase_pemukiman_kota_malang) tanggal 04/11/2008 pukul 11.55 WIB.
- [Http://search\\_result.go.id/drainase\\_pemukiman\\_menujurut\\_standar\\_SNI](http://search_result.go.id/drainase_pemukiman_menujurut_standar_SNI) tanggal 11/11/2008 pukul 13.00 WIB.
- Marsono, B. 2000. "*Hidrolika Teknik Penyehatan Dan Lingkungan*".
- Mustofa, A. 2000. "*Kamus Lingkungan Cetakan Pertama*". Penerbit Rineka Cipta. Jakarta.
- Nuarsa, I, 2005. "*Menganalisis Data Spasial Dengan arcview GIS 3.3*". Penerbit Alex Media Komputindo, Jakarta.
- Sosrodarsono, S. 2006. "*Hidrologi Untuk Pengairan Cetakan Kesepuluh*". Penerbit Pradnya Paramita, Jakarta.
- Sugiyono. 2008. "*Metode Penelitian Kuantitatif, Kualitatif Dan R & D*". Penerbit Alfabeta, Bandung.
- Suripin, 2004. "*Sistem Drainase Perkotaan Yang Berkelanjutan*". Penerbit Andi, Yogyakarta.

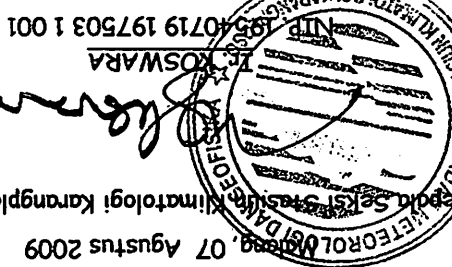
八九九三書屋

**LAMPIRAN I**

**DATA - DATA**

Kependidikan Sosial Klimatologi Karangpulos Malang

WETEROLODI DILANG, 07 Agustus 2009



No.	TAHUN	Jan	Feb	Mar	Apr	Mei	Jun	Jul	Agst	Sep	Okt	Nop	Des	JML
1	1998	CH	229	339	348	0	132	0	0	114	56	79	341	536
2	1999	CH	432	225	335	210	37	64	48	9	23	187	386	345
3	2000	CH	277	285	285	212	205	54	3	3	84	221	332	171
4	2001	CH	409	190	321	78	95	169	26	-	10	201	195	220
5	2002	CH	417	421	266	217	-	-	-	9	57	40	44	59
6	2003	CH	278	109	306	108	56	3	1	-	30	31	402	355
7	2004	CH	385	359	508	39	98	10	10	-	57	13	30	84
8	2005	CH	103	131	233	105	14	75	9	58	-	64	176	331
9	2006	CH	335	405	219	173	182	15	-	4	30	25	71	71
10	2007	CH	87	274	359	397	53	55	7	-	18	78	242	270
11	2008	CH	75	78	56	29	31	6	-	9	3	22	155	235

ELEVASI : 505 m

NOMOR POS : 52 C

NAMA POS : Unipraw (Malang)

## DATA HUJAN

Telp: (0341) 464827/461595, Fax: (0341) 464827; Email: zemzama33@yahoo.com, zemzama33@hotmail.com; Website: staklimkarangpulos.net

Jl. ZENTANA 33 KARANGPULOSO MALANG

STASIUN KLIMATOLOGI KARANGPULOSO  
BANDAN METEOROLOGI KLIMATOLOGI DAN GEOFISIKA





**BADAN METEOROLOGI KLIMATOLOGI DAN GEOFISIKA**  
**STASIUN KLIMATOLOGI KARANGPLOSO**  
**JL. ZENTANA 33 KARANGPLOSO MALANG**

Telp: (0341) 464827, 461595 ; Fax : (0341) 464827 ; Email: zentana33@yahoo.com, zentana33@hotmail.com ; Website: staklimkarangploso.net

**DATA HUJAN**

NAMA POS : Ciliwung ( Malang )

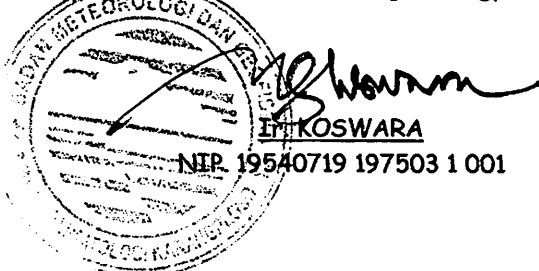
NOMOR POS : 53

ELEVASI : 455 m

No.	TAHUN	CH	Jan	Peb	Mrt	Apr	Mei	Jun	Jul	Agt	Sep	Okt	Nop	Des	J M L	
			HH	11	11	16	13	9	7	5	6	4	7	17	126	
1	1998	CH	HH	47	70	53	35	27	41	15	47	37	45	50	87	2557
			HM	16	10	13	7	2	4	3	1	0	8	17	17	
2	1999	CH	HH	99	31	80	62	19	35	20	25	0	192	341	399	2227
			HM	43	65	35	63	35	24	-	43	31	57	83	125	
3	2000	CH	HH	10	15	13	11	5	3	-	2	3	12	13	7	1918
			HM	43	65	35	63	35	24	-	43	31	57	83	28	
4	2001	CH	HH	13	9	11	8	3	9	3	-	-	389	445	41	2153
			HM	81	33	97	35	66	30	18	-	-	60	60	28	
5	2002	CH	HH	9	19	15	15	4	-	-	-	-	23	76	402	1655
			HM	94	63	96	40	18	-	-	-	-	23	16	70	
6	2003	CH	HH	16	20	12	4	4	2	-	-	-	1	15	15	89
			HM	95	45	58	35	58	29	-	-	-	9	75	118	
7	2004	CH	HH	19	21	19	3	7	2	-	-	-	3	15	19	108
			HM	99	97	167	15	94	3	-	-	-	10	77	59	
8	2005	CH	HH	12	7	14	10	3	5	1	1	5	4	8	22	92
			HM	75	57	59	51	49	104	3	15	60	25	103	63	
9	2006	CH	HH	22	18	17	7	11	1	-	-	-	-	6	20	102
			HM	67	104	79	75	40	3	-	-	-	26	40	104	
10	2007	CH	HH	5	15	20	20	3	4	1	1	-	1	5	19	94
			HM	23	85	118	60	80	20	5	20	-	10	43	80	
11	2008	CH	HH	12	21	21	8	5	1	-	-	31	12	161	310	1775
			HM	90	48	95	31	35	10	-	-	27	6	27	50	

Malang, 07 Agustus 2009

Kepala Seksi Stasiun Klimatologi Karangploso Malang





**BADAN METEOROLOGI KLIMATOLOGI DAN GEOFISIKA**  
**STASIUN KLIMATOLOGI KARANGPLOSO**  
**JL. ZENTANA 33 KARANGPLOSO MALANG**

Telp: (0341) 464827, 461595 ; Fax : (0341) 464827 ; Email: zentana33@yahoo.com, zentana33@hotmail.com ; Website: staklimkarangploso.net

**DATA HUJAN**

NAMA POS : Sukun ( Malang )

NOMOR POS : 30 b

ELEVASI : 575 m

No.	TAHUN	CH	Jan	Peb	Mrt	Apr	Mei	Jun	Jul	Agt	Sep	Okt	Nop	Des	J M L	
			HH	11	11	16	14	9	7	5	6	4	7	13	122	
1	1998	CH	HM	47	70	65	35	27	41	15	47	37	45	50	87	87
			HH	14	14	14	8	3	2	2	1	2	9	21	12	102
2	1999	CH	HM	70	60	43	39	7	17	42	5	32	40	108	72	108
			HH	15	11	13	11	8	3	-	1	4	10	15	6	97
3	2000	CH	HM	45	73	67	57	55	50	-	7	40	70	100	40	100
			HH	259	209	190	231	128	91	-	7	91	342	525	108	2181
4	2001	CH	HM	80	36	86	42	39	65	23	-	75	112	70	50	112
			HH	538	220	332	188	77	222	65	-	99	456	236	165	2598
5	2002	CH	HM	17	13	12	7	2	10	6	-	3	12	7	6	95
			HH	362	374	504	323	124	-	-	-	-	-	247	713	2647
6	2003	CH	HM	55	48	105	58	50	-	-	-	-	-	9	20	97
			HH	355	312	283	106	81	45	-	-	-	-	65	98	105
7	2004	CH	HM	12	11	17	9	7	1	-	-	-	-	13	89	107
			HH	581	618	800	105	59	1	12	-	59	21	548	541	3345
8	2005	CH	HM	76	106	120	44	24	1	12	-	31	14	77	87	120
			HH	374	398	457	179	6	118	22	10	32	132	309	564	2601
9	2006	CH	HM	13	13	18	11	1	8	4	1	5	11	10	26	121
			HH	644	364	460	234	160	22	-	-	-	-	103	467	2454
10	2007	CH	HM	21	16	16	11	11	2	-	-	-	-	4	17	98
			HH	113	392	385	455	41	75	5	-	-	-	20	248	677
11	2008	CH	HM	31	48	83	74	26	35	5	-	-	-	20	82	152
			HH	329	295	590	93	62	51	-	-	40	263	307	290	2320
			HM	101	84	130	43	27	41	-	-	40	82	85	85	130

Malang, 07 Agustus 2009

Kepala Seksi Stasiun Klimatologi Karangploso Malang

Ir. KOSWARA

NIP. 19540719 197503 1 001

**LAMPIRAN II**

**DOKUMENTASI**

ШИАЯРМАД  
ІСАТБЕКИНОД

**KELURAHAN  
SUMBERSARI  
KECAMATAN  
LOWOKWARU**

ИАБРУШЕН  
СУМБЕЙСІ  
НАТАЛІЯН  
ДОЛЖНОВА



**Saluran Drainase Salatiga kiri**



**Saluran Drainase Bendungan Sutami kanan**



**Saluran Drainase Bendungan Bening kiri**



**Saluran Drainase Bogor kanan**



**Saluran Drainase Bendungan Sigura-gura 5 kiri**



**Saluran Drainase Bendungan Kedungombo**



**Saluran Drainase Wonogiri kanan**



**Saluran Drainase Bendungan Tangga Kiri**

initial mission off planning, normal?

EDS again? unstructured surface? normal?



**Saluran Drainase Jatiluhur kanan**



**Saluran Drainase Bendungan Sempor kiri**



**Saluran Drainase Bendungan Wlingi kanan**



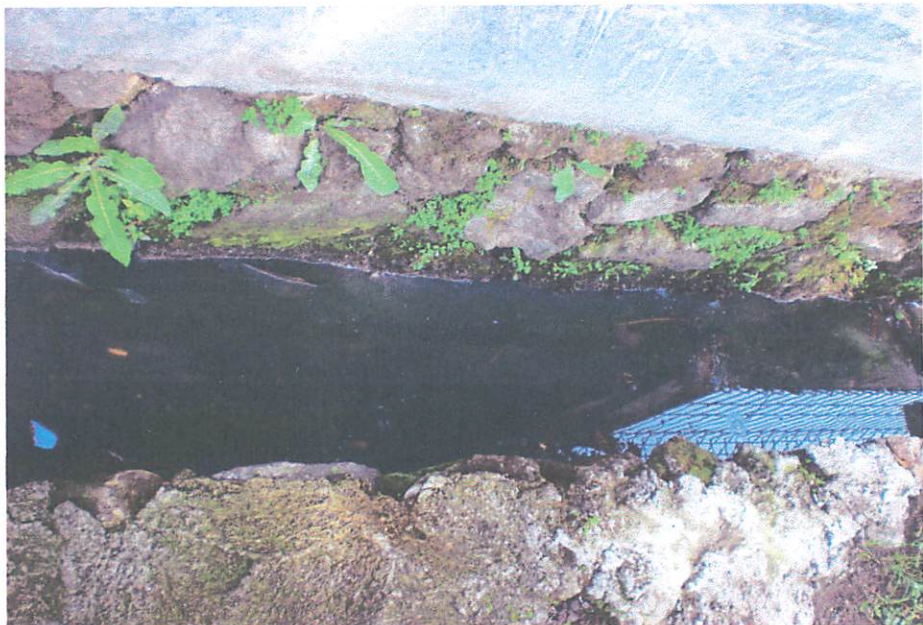
**Saluran Drainase Bendungan Riam kanan**

unrest (gall) magnified section numbers

unrest (gall) magnified section numbers



**Saluran Drainase Wonogiri kanan**



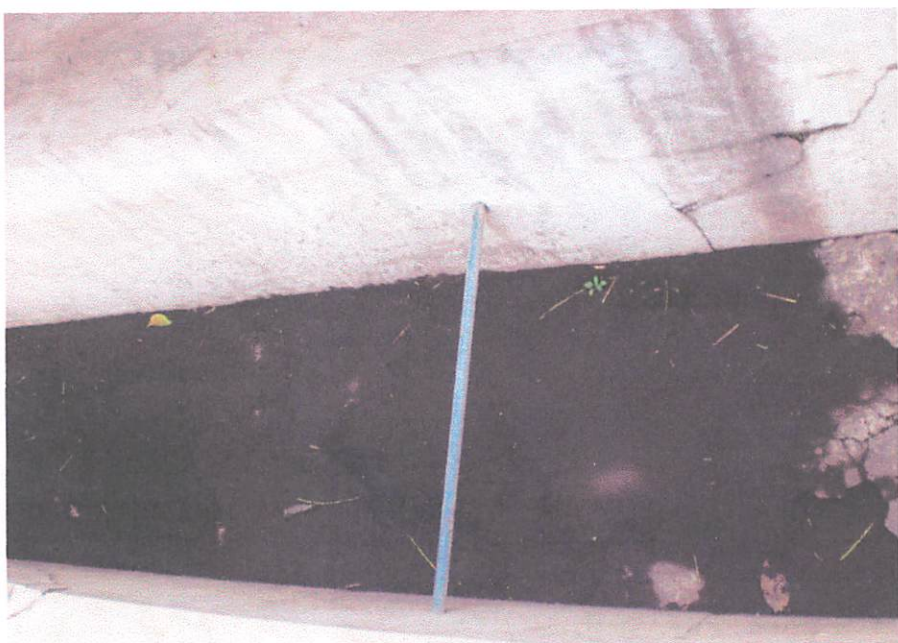
**Saluran Drainase Jatigede kiri**

**KELURAHAN  
KARANGBESUKI  
KECAMATAN SUKUN**

ИАНГУЛЕН  
КАМБЕСИК  
МАТАМОЕН



**Saluran Drainase Tambora kiri**



**Saluran Drainase Taman Agung Kiri**



**Saluran Drainase Raya Candi 2 kanan**



**Saluran Drainase Simpang Tidar kiri**



**Saluran Drainase Tidar Utara kiri**



**Saluran Drainase Raya Candi 3A kiri**



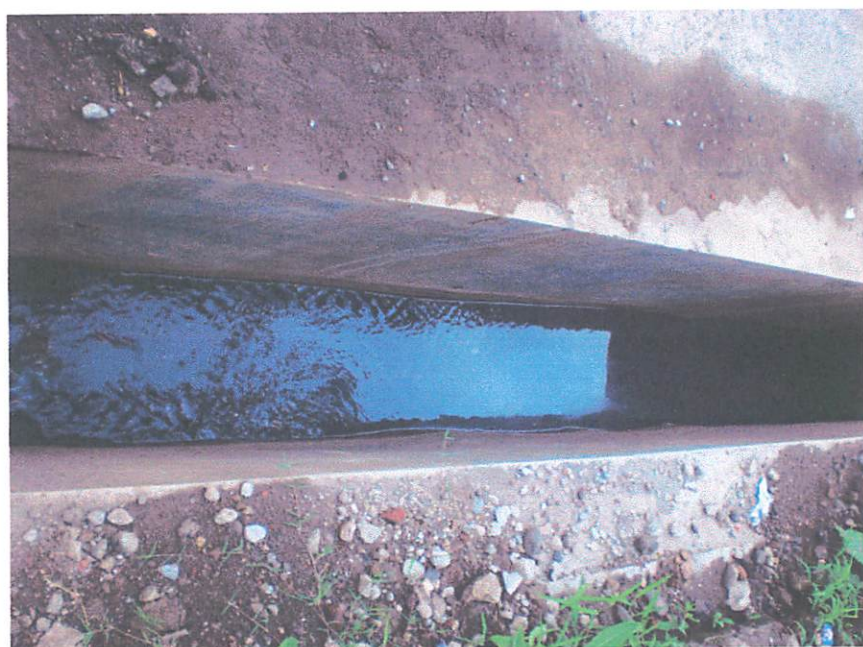
**Saluran Drainase Tidar Sakti kanan**



**Saluran Drainase Bukit Cemara Tidar kanan**



**Saluran Drainase Raya Candi 3E kanan**



**Saluran Drainase Candi 5D kanan**



**Saluran Drainase Candi 3E kiri**



**Saluran Drainase Kaluta kiri**

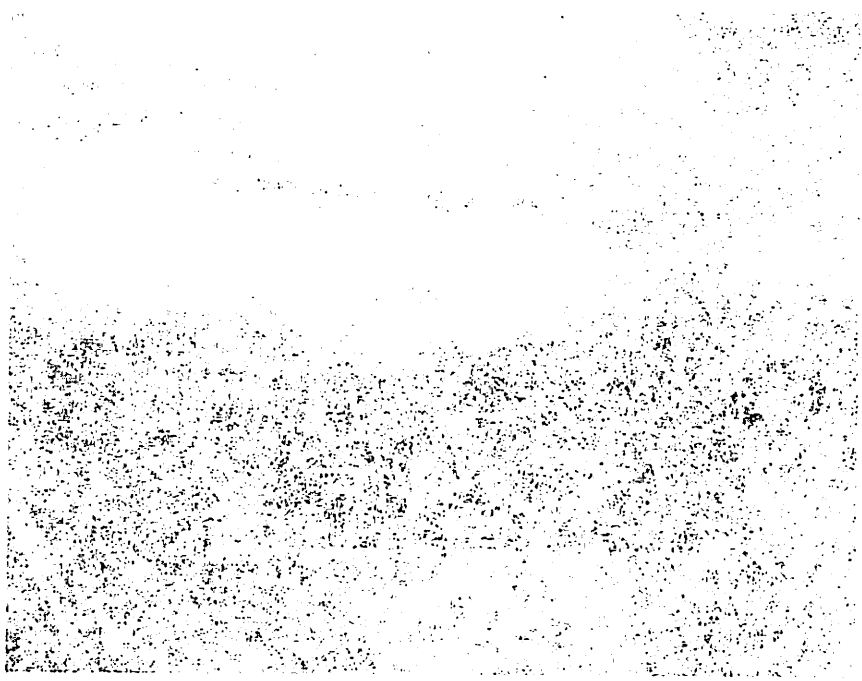


PLATE 16 (B) - CROUCHED POSITION



PLATE 16 (C) - CROUCHED POSITION



**Saluran Drainase Lokon kiri**



**Saluran Drainase Terusan Tinambola kanan**

**LAMPIRAN III**

**PETA - PETA**

ИИ ИАЯПИАЛ

АТЕЧ - АТЕЧ